

สำนักหอสมุด มหาวิทยาลัยบูรพา  
ต.แเสนสุข อ.เมือง จ.ชลบุรี 20131

เลขที่โครงการ 2555A10862039

## รายงานวิจัยฉบับสมบูรณ์

โครงการ การวิเคราะห์หาตำแหน่งบริเวณจำเพาะของ RTX ที่ใช้จับกับตัว  
ตอบรับบนผิวเซลล์เป้าหมายของโปรตีนพิษ Adenylate cyclase-Hemolysin  
เพื่อใช้เป็นตัวรักษาโรคไอกรนที่เกิดจากเชื้อ *Bordetella pertussis*

(Identification of a Specific Receptor-Binding Region in the RTX subdomain  
of Adenylate cyclase-Hemolysin Toxin for Therapeutic Application of  
Whooping Cough caused by *Bordetella pertussis*)

เงินบริการ

14 ม.ค. 2565

หัวหน้าโครงการวิจัย: ดร.นิรมล ธรรมวิริยสติ  
หน่วยงาน: คณะสหเวชศาสตร์ มหาวิทยาลัยบูรพา

29 มี.ค. 2565

395615 b00174213

สนับสนุนโดย สำนักบริหารโครงการวิจัยอุดมศึกษา  
และพัฒนามหาวิทยาลัยวิจัยแห่งชาติ  
สำนักงานคณะกรรมการการอุดมศึกษา

## บทคัดย่อ

โปรตีนพิษ Adenylate cyclase - hemolysin (CyaA) เป็นโปรตีนพิษขนาดใหญ่ ~170 kDa หลังจากเชื้อ *Bordetella pertussis* เป็นปัจจัยหนึ่งที่ทำให้เชื้อมีความรุนแรงก่อให้เกิดพยาธิสภาพและกระตุ้นการตอบสนองของระบบภูมิคุ้มกัน โปรตีนพิษ CyaA เป็นหนึ่งในสมาชิกของ Repeat in ToXin (RTX) family เนื่องจากมีลักษณะของการเรียงลำดับกรดอะมิโนซ้ำกัน 9 ตัว คือ Gly-Gly-X-Gly-X-Asp-Asp-X-Leu (Glycine - Aspartate rich nonapeptide repeat regions) ทางด้าน C terminus ซึ่งบริเวณนี้เป็นส่วนที่จับกับ  $\text{Ca}^{2+}$  และทำให้เกิดการจัดเรียงโครงสร้างของโปรตีน อีกทั้งยังเกี่ยวข้องกับการจับกับเซลล์เป้าหมาย จากการวิจัยก่อนหน้านี้พบว่า โปรตีนพิษ HlyA จากเชื้อแบคทีเรีย *Escherichia coli* อีกหนึ่งในสมาชิกของ RTX family มีบริเวณของเปปไทด์ลำดับกรดอะมิโนที่ 914-936 ที่เกี่ยวข้องในการจับกับ Glycophorin receptor บนผิวเม็ดเลือดแดงของสัตว์เลี้ยงลูกด้วยนม ซึ่งตรงกับ conserved region ลำดับกรดอะมิโนที่ 1621-1627 ของ CyaA ทางด้าน C-terminus ดังนั้นงานวิจัยชิ้นนี้จึงตัดชิ้นส่วนเปปไทด์ทางด้าน C-terminal region ลำดับกรดอะมิโนที่ 1601-1706 ของ CyaA-RTX subdomain ด้วยการสร้าง truncate cyaA-RTX gene fragment จากโคลนตันแบบ pCyaA-RTX ด้วยวิธี Polymerase Chain reaction และ Cloning จากนั้นนำโปรตีนที่ได้มาทดสอบความสามารถในการจับกับเซลล์เป้าหมาย ได้แก่ เซลล์เม็ดเลือดขาวคน และเซลล์เม็ดเลือดแดงแกะ ซึ่งผลการทดลองแสดงให้เห็นว่า เมื่อตัดด้าน C-terminal ของ RTX subdomain ออก ประสิทธิภาพในการจับกับเซลล์เป้าหมายทั้งเม็ดเลือดขาวคนและเม็ดเลือดแดงแกะลดลงอย่างเห็นได้ชัด ซึ่งชี้ให้เห็นว่า C-terminal region ของ CyaA toxin ในตำแหน่งกรดอะมิโนที่ 1601-1706 มีความสำคัญต่อการจับกับกลุ่มเซลล์เป้าหมาย ซึ่งการออกแบบเปปไทด์ในช่วงลำดับกรดอะมิโนดังกล่าวของโปรตีนพิษนี้ อาจนำไปสู่การพัฒนา peptide vaccine เพื่อป้องกันหรือรักษาโรคไอกกรณ์ที่ติดเชื้อจาก *B. pertussis* ที่มี CyaA toxin เป็นปัจจัยหลักในการก่อโรคในอนาคต และสามารถนำความรู้ที่ได้มาไปศึกษาลำดับกรดอะมิโนที่คล้ายคลึงกันกับโปรตีนพิษชนิดอื่นๆในกลุ่มของ RTX toxin ต่อไปได้ เช่นเดียวกัน

## Abstract

Adenylate cyclase-hemolysin toxin (CyaA) is one of the major virulence factors secreted from *Bordetella pertussis*, the etiologic agent of whooping cough. It is classified into the RTX (Repeat-in-ToXin) family due to its tandem repeated nonapeptides Gly-Gly-X-Gly-X-Asp-Asp-X-Leu (Glycine - Aspartate rich nonapeptide repeat regions), which are the putative calcium-binding sites and toxin-receptor interactions. Previously *Escherichia coli*-hemolysin (HlyA), a prototype RTX family, has shown that the HlyA region of residues 914–936 can interact the glycophorin receptor in mammalian red blood cells which corresponding to the conserve region of residues 1621–1627 of CyaA. Here, a truncated clone of CyaA-RTX fragment deleting the C-terminal region of residues 1601–1706 was investigated by Polymerase Chain reaction and Cloning. The deletion mutant was tested for toxin binding activities against human white blood cells and sheep erythrocytes. The results were shown that lacking the residues 1601–1706 of RTX subdomain toxin was decrease the binding capacity to the target cells. It has been indicated that C-terminal region of CyaA toxin, corresponding to amino acids 1601–1706 major determinant in the specific binding to the target cells. The fact that a peptide containing amino acids 1601–1706 may challenge for a therapeutic application of peptide which has *B. pertussis* pathogenic role. Moreover, homologous sequences exist in other RTX toxins; thus, the results in study can probably be extended to those toxins as well.

## สารบัญ (ต่อ)

	หน้า
3.6.6 การทดสอบความสามารถในการจับตัวรับนิวเชลล์	21
3.6.7 Western blot analysis	22
4. ผลการทดลอง	23
4.1 ผลการสกัดและวิเคราะห์พลาสมิด pCyaA-RTX และ pET17b vector	23
4.2 ผลการสร้างยีน cyaA-RTX ที่ขาดส่วน C-terminal region โดยวิธี PCR	24
4.3 ผลการสร้าง pCyaA-RTX $\Delta$ 1602-1706	25
4.4 ผลการตรวจสอบ Recombinant clones ด้วยวิธี restriction enzyme analysis	27
4.5 ผลการตรวจสอบ Recombinant clones โดยวิธี DNA sequencing	28
4.6 ผลการแสดงออกของโปรตีน truncated CyaA-RTX	29
4.7 ผลการแสดงรูปแบบของโปรตีนพิช truncated CyaA-RTX	31
4.8 ผลการทดสอบความสามารถในการจับกับกลุ่มเชลล์เป้าหมาย	32
5. อภิปรายผล	40
5.1 การสร้าง Recombinant clones ของโปรตีนพิช pCyaA-RTX $\Delta$ 1602-1706	40
5.2 คุณลักษณะของโปรตีนพิช Truncate CyaA-RTX	41
5.3 การทดสอบความสามารถในการจับ (Toxin binding) ของโปรตีน WT CyaA-RTX กับ Truncate CyaA-RTX ต่อเชลล์เม็ดเลือดแดงและเม็ดเลือดขาวคน	42
6. สรุปผลการทดลอง และข้อเสนอแนะ	43
6.1 สรุปผลการทดลอง	43
6.2 ข้อเสนอแนะ	43
7. ผลผลิต	44
บรรณานุกรม	45
ภาคผนวก	49
ประวัตินักวิจัย	53
ผลงานวิจัยที่เผยแพร่	55
รายงานการเงิน	

## สารบัญภาพ

ภาพที่	หน้า
1-1 แสดง Virulence factors ของเชื้อ <i>Bordetella pertussis</i>	4
1-2 แสดงอัตราการเกิดโรคไอกรนในปี 2555	7
1-3 แสดงโครงสร้างของโปรตีนพิษ Adenylate cyclase – hemolysin	9
1-4 แสดงสมมติฐานกลไกในการจับกับแคลเซียมด้านหลัง RTX ของโปรตีนพิษ CyaA	9
1-5 แสดง Sequencing alignment ของ conserve region ระหว่าง Repeat domain และ C-end ของ RTX toxin	10
3-1 แสดงลักษณะของ pET17b vector และตำแหน่งของ restriction enzyme	17
4-1 แสดงผลการวิเคราะห์พลาสมิດ pCyaA-RTX และ pET17b vector	23
4-2 ตรวจสอบ PCR products ที่ได้ เมื่อใช้ Ta gradient ที่ 50-60 °C	24
4-3 แสดง Purified ~2600 PCR products ที่ได้จากปฏิกริยาลูกโซ่โพลิเมอเรส เมื่อใช้ Ta ที่ 52 °C	25
4-4 แสดงพลาสมิດ glyophosphatidylinositol pCyaA-RTX ที่ตัดตำแหน่งทาง C-terminus	26
4-5 แสดงโคโนนีที่เจริญบน LA + 100 µg/ml Amp plate ในการคัดเลือก recombinant clone	26
4-6 แสดงแคนบ DNA ที่ได้จากการตรวจสอบ recombinant DNA โดยวิธี Restriction enzyme analysis	27
4-7 แสดงการตรวจสอบลำดับเบสของยีน cyaA-RTXΔ1602-1706	28
4-8 แสดง SDS-PAGE ของโปรตีน CyaA-RTX-wild type และ truncate CyaA-RTX	29
4-9 แสดงผลการทำนายหนักโมเลกุลของโปรตีนพิษ CyaA-RTX <sub>751-1602</sub>	30
4-10 แสดง SDS-PAGE ของลักษณะรูปแบบโปรตีน truncate CyaA-RTX ที่ได้	31
4-11A แสดง SDS-PAGE ต่อความสามารถของโปรตีน WT CyaA-RTX ในการจับกับเซลล์เม็ดเลือดแดงแกะ	32
4-11B แสดง Western blot analysis ของแคนบโปรตีน WT CyaA-RTX ต่อความสามารถในการจับกับเซลล์เม็ดเลือดแดงแกะ จาก Corresponding gel	33

## สารบัญภาพ (ต่อ)

ภาพที่	หน้า
4-12A แสดง SDS-PAGE ต่อความสามารถของโปรตีน WT CyaA-RTX ในการจับกับเซลล์เม็ดเลือดขาวคน	34
4-12B แสดง Western blot analysis ของแแกบโปรตีน WT CyaA-RTX ต่อความสามารถในการจับกับเซลล์เม็ดเลือดขาวคน จาก Corresponding gel	35
4-13A แสดง SDS-PAGE ต่อความสามารถของโปรตีน Truncate CyaA-RTX ในการจับกับเซลล์เม็ดเลือดแดงแกะ	36
4-13B แสดง Western blot analysis ของแแกบโปรตีน Truncate CyaA-RTX ต่อความสามารถในการจับกับเซลล์เม็ดเลือดแดงแกะ จาก Corresponding gel	35
4-14A แสดง SDS-PAGE ต่อความสามารถของโปรตีน Truncate CyaA-RTX ในการจับกับเซลล์เม็ดเลือดขาวคน	38
4-14B แสดง Western blot analysis ของแแกบโปรตีน Truncate CyaA-RTX ต่อความสามารถในการจับกับเซลล์เม็ดเลือดขาวคน จาก Corresponding gel	39

## สารบัญตาราง

ตารางที่	หน้า
3-1 แสดงลำดับเบสทั้งหมดของ Primer ที่ใช้ในการทำ PCR	18

## สารบัญคำย่อ

AC	Adenylate cyclase domain
ATP	Adenosine triphosphate
Amp	Ampicillin
<i>B. pertussis</i>	<i>Bordetella pertussis</i>
bp	Base pair (s)
cAMP	Cyclic adenosine monophosphate
CyaA	Adenylate cyclase-hemolysin toxin
CyaA-PF	Pore-forming domain of adenylate cyclase-hemolysin toxin
CyaC	Acyltransferase
DNA	Deoxyribonucleic acid
DTT	1,4-Dithiothreitol
<i>E. coli</i>	<i>Escherichia coli</i>
EtOH	ethanol
<i>et al.</i>	And others
g	Gram (s)
HCl	Hydrochloride
Hly	Hemolysin
IPTG	Isopropyl- $\beta$ -D-thiogalactopyranoside
kb	Kilobase (s)
kDa	Kilodalton (s)
L	Liter (s)
LB	Luria-Bertani medium
mm	Millimeter (s)
mg	Milligram (s)

## สารบัญคำย่อ (ต่อ)

ml	Milliliter (s)
mM	Millimolar (s)
M	Molar (s)
nm	Nanometer (s)
ng	Nanogram (s)
OD	Optical density (-ies)
PAGE	Polyacrylamide gel electrophoresis
PF	Pore-forming fragment
PTX	Pertussis toxin
RNA	ribonucleic acid
RNase	Ribonuclease
RTX	Repeat-in-ToXin
SDS-PAGE	Sodium dodecyl sulphate-polyacrylamide gel electrophoresis
Tris	Tris (hydroxymethyl)-aminomethane
UV	Ultraviolet
V	Volt (s)
µm	Micrometer (s)
µg	Microgram (s)
µl	Microliter (s)
µM	Micromolar (s)
°C	Degrees Celsius
%	Percent

## กิตติกรรมประกาศ (Acknowledgement)

โครงการวิจัยทางวิทยาศาสตร์การแพทย์ฉบับนี้สำเร็จได้ด้วยดี เนื่องด้วยได้รับความกรุณาและ  
ความช่วยเหลืออย่างสูงจากท่าน รศ. ดร.ชนันท์ อังคุณสมบัติ ที่ให้คำปรึกษาแนะนำ ควบคุม<sup>1</sup>  
โครงการวิจัย รวมถึงการแก้ไขปัญหาและข้อกพร่องต่างๆ ที่เกิดขึ้นในระหว่างทำโครงการวิจัย อีกทั้งให้  
การสนับสนุนช่วยเหลือในทุกด้าน ทำให้ผู้ทำวิจัยสามารถวางแผนในการทำงานได้อย่างเป็นระบบ  
สามารถตัดสินใจแก้ไขปัญหาที่เกิดขึ้นได้อย่างถูกต้องมีประสิทธิภาพ และสามารถนำความรู้  
ความสามารถที่ได้จากการวิจัยนี้ไปใช้ให้เกิดประโยชน์ในอนาคตได้อีกด้วย จึงขอขอบพระคุณอย่าง  
สูงมา ณ โอกาสนี้

ขอขอบพระคุณคณะกรรมการโครงการฯ อ.ดร.สันติฯ สิงห์สนัน พล ฯ และ อ.สุธีชา จันทะ ที่กรุณามา<sup>2</sup>  
เจาะเลือดและช่วยเหลือในการทำวิจัยชิ้นนี้

งานวิจัยชิ้นนี้จะสำเร็จไม่ได้เลย หากมิได้รับทุนสนับสนุนทุนการวิจัยจาก สำนักสำนักบริหาร  
โครงการวิจัยอุดมศึกษาและพัฒนามหาวิทยาลัยวิจัยแห่งชาติ สำนักงานคณะกรรมการการอุดมศึกษา<sup>3</sup>  
ขอขอบพระคุณเป็นอย่างยิ่ง

นิรมล ธรรมวิริยสุ

31 กรกฎาคม 2556

## บทที่ 1

### บทนำ

#### 1.1 ความเป็นมาและความสำคัญ

โรคไอกรน (Whooping cough หรือ Pertussis) เป็นโรคที่เกิดจากการติดเชื้อของระบบทางเดินหายใจ ที่มีลักษณะไอซ่อนๆ ติดกัน จนหายใจไม่ทัน และเมื่อหายใจเข้าลึกๆ เป็นเสียง วูป (Whoop) สลับกับการไอเป็นชุดๆ จึงเรียกโรคนี้ว่า “โรคไอกรน” โดยมีสาเหตุจากเชื้อแบคทีเรีย *Bordetella pertussis* (*B. pertussis*) โรคชนิดนี้ดิตต่อ กันได้ง่ายจากไอจารดกันโดยตรง ผู้สัมผัสโรคที่ไม่มีภูมิคุ้มกันจะติดเชื้อและเกิดโรคเกื้อบุพ��ราย (1) โรคนี้เป็นหนึ่งในสาเหตุหลักของการตายในเด็ก “Baby killer” ส่วนใหญ่ติดเชื้อมาจากผู้ใหญ่ในครอบครัว ที่มีการติดเชื้อแต่ไม่มีอาการ (carrier) หรือมีอาการไม่มาก โดยทั่วไปแล้ว โรคนี้เป็นได้ทุกอายุถ้าไม่มีภูมิคุ้มกัน มีผู้ป่วยประมาณ 45 ล้านคนต่อปี และมีผู้ป่วยเสียชีวิตจากโรคนี้ประมาณ 400,000 คนต่อปี (1) ปัจจุบันการให้วัคซีนป้องกันโรคไอกรนในเด็กแนะนำให้ใช้วัคซีนชนิด Acellular pertussis vaccine จากส่วนของโปรตีน Filamentous hemagglutinin, Pertactin และ Fimbriae แทนที่ Whole-cell vaccine ซึ่งทำให้มีอาการข้างเคียงน้อยลงมาก(2) อย่างไรก็ตาม มีการรายงานพบว่า วัคซีนที่ใช้ในปัจจุบันไม่สามารถป้องกันการเกิดโรคไอกรนได้อย่างมีประสิทธิภาพ เนื่องจากความผันแปรของลำดับนิวคลีโอไทด์ที่กำหนดการสร้างโปรตีนเหล่านี้จากเชื้อ *B. pertussis* สายพันธุ์ Tohama I (3) ส่งผลให้เกิดอุบัติการณ์การเกิดโรคอุบัติช้ำ (Pertussis Outbreak) และ WHO ได้รายงานจำนวนผู้ป่วยที่เป็นโรคไอกรนทั่วโลกประมาณ 10,454 ราย และเพิ่มจำนวนมากขึ้นในทุกๆ ปี (4)

โปรตีนพิษ Adenylate cyclase - hemolysin (CyaA) ที่หลังจากเชื้อแบคทีเรีย *B. pertussis* เป็นหนึ่งในปัจจัยสำคัญที่ทำให้เชื้อนี้มีความรุนแรง (Virulence factors) อันก่อให้เกิดพยาธิสภาพของโรคและกระตุ้นการตอบสนองของระบบภูมิคุ้มกันในคน (5) รวมทั้งยังไม่พบความผันแปรของลำดับนิวคลีโอไทด์ที่กำหนดในการสร้างโปรตีนพิษ CyaA เมื่อเปรียบเทียบกับสายพันธุ์อื่นๆ (3) ทำให้โปรตีนชนิดนี้มีความน่าสนใจและเหมาะสมที่จะนำมาศึกษาเพื่อใช้เป็นส่วนประกอบในการผลิตวัคซีน อย่างไรก็ตาม กลไกในการจับกันระหว่างโปรตีนสารพิษกับเซลล์เป้าหมายที่แท้จริงของโปรตีนพิษ CyaA ยังไม่ทราบเป็นที่แน่ชัดหากมีการศึกษาเพิ่มเติมของคุณรูปใหม่ทางโครงสร้าง คุณลักษณะ และหน้าที่ในการออกฤทธิ์ของโปรตีนพิษชนิดนี้อย่างถ่องแท้ จะสามารถนำไปสู่การพัฒนาและปรับปรุง เพื่อการประยุกต์ใช้โปรตีนสารพิษนั้นๆ ในการบำบัดรักษาระบบที่มีประสิทธิภาพและประสิทธิผลที่ยั่งยืนในอนาคต

โปรตีนพิช CyaA จัดอยู่ในกลุ่มของ Repeat in ToXin (RTX) family เนื่องจากมีลักษณะของการเรียงลำดับกรดอะมิโนซ้ำกัน 9 ตัว คือ Gly-Gly-X-Gly-X-Asp-Aps-X-Leu (Glycine-Aspartate rich nonapeptide repeat region) ทางด้าน C-terminal และเป็นส่วนที่จับกับแคลเซียม ซึ่งทำให้มีการเปลี่ยนแปลงโครงสร้างให้อยู่ในรูปของโปรตีนที่ทำงานได้ รวมทั้งเป็นส่วนที่มีความเกี่ยวข้องกับการจับระหว่างโปรตีน CyaA กับตัวรับ CD11b/CD18 integrin receptor บนอิมมูนเซลล์ที่เกี่ยวข้องกับระบบภูมิคุ้มกันในร่างกาย (6) จากงานวิจัยก่อนหน้านี้ของ Pichaya Pojanapotha *et al.*, 2011 ได้ผลิตโปรตีนพิชเฉพาะส่วน RTX subdomain ของ CyaA (CyaA<sub>751-1706</sub>) ที่มีขนาด ~100 kDa โดยท่านายลักษณะโครงสร้างของส่วน Repeat region ที่มีกรดอะมิโนซ้ำกัน 9 ตัว คือ Gly-Gly-X-Gly-X-Asp-X-U-X เป็น Beta-roll structures จำนวน 5 block; block I: Gly<sup>1015</sup> - Lys<sup>1088</sup>, block II: Gly<sup>1138</sup> - Asp<sup>1211</sup>, block III: Gly<sup>124</sup> - Asp<sup>1353</sup>, block IV: Gly<sup>1377</sup> - Asp<sup>1485</sup> และ block V: Gly<sup>1529</sup> - Leu<sup>1591</sup> ที่มีความเกี่ยวข้องในการจับกับแคลเซียม (Calcium-induce Conformation) และเป็นส่วนที่ใช้จับระหว่างโปรตีนพิชกับเซลล์เป้าหมาย (7) และจากการวิจัยก่อนหน้าของ Bleuner M. *et al.*, 2010 พบว่า เมื่อมี calcium เป็นตัวเหนี่ยวนำ RTX ทางด้าน C-terminus จะเห็นได้เมื่อไห้เกิดการเรียงตัว (Folding) แบบ Beta-roll structures (6) และงานวิจัยของ Bauche C. *et al.*, 2006 ชี้ให้เห็นว่า CyaA<sub>1490-1681</sub> fragment ที่มีส่วนของ RTX Block V สามารถตอบสนองต่อแคลเซียมในการเรียงตัวได้ ในขณะที่ Truncate CyaA<sub>1-1449</sub> ที่ขาดทั้ง Block V และ C-terminal signal ไม่สามารถก่อให้เกิดความเป็นพิชต่อเซลล์ทั้ง hemolysis และ cytotoxicity ได้ (7) นอกจากนี้ งานวิจัยก่อนหน้านี้ ยังพบว่า โปรตีนพิช Leukotoxin จากเชื้อแบคทีเรีย *Pasteurella hemolytica* อีกหนึ่งในสมาชิกของ RTX family มีบริเวณของโปรตีนส่วนที่อยู่ระหว่าง repeat domain และ C terminus ลำดับเบสที่ 841-872 เกี่ยวข้องในการจับกับ  $\beta_2$ -integrin receptor ในเซลล์เป้าหมาย (10) และโปรตีนพิช HlyA toxin ที่ลำดับเบส 914-936 เกี่ยวข้องในการจับกับ Glycophorin receptor บนผิวเม็ดเลือดแดงของสัตว์เลี้ยงถูกด้วยนม เช่นเดียวกัน (11) ซึ่งตำแหน่งดังกล่าวตรงกับ conserved region ที่ลำดับเบส 1621-1627 ของ CyaA หลังตำแหน่ง block V ในส่วนของ C-terminal secretion signal

การทดลองนี้จึงต้องยืนยันว่า เฉพาะส่วนของ C-terminal secretion signal ของโปรตีนพิช CyaA มีความสำคัญต่อการจับกับ Receptor บนผิวเซลล์เป้าหมาย ซึ่งได้แก่ เซลล์เม็ดเลือดขาว (Human white blood cells; hWBCs) และเซลล์เม็ดเลือดแดงแกะ (Sheep red blood cells; sRBCs) ซึ่งความรู้ความเข้าใจเชิงโครงสร้างเกี่ยวกับความจำเพาะเจาะจง (Structural Basis of Target Specificity) ของโปรตีนสารพิชที่ได้นี้ จะนำไปสู่การพัฒนาและปรับปรุงในอนาคตเพื่อการประยุกต์ใช้โปรตีนสารพิชในการพัฒนาผลิตภัณฑ์ และการบำบัดรักษาโรคที่เกี่ยวกับภาระในมนุษย์

## 1.2 เอกสารและงานวิจัยที่เกี่ยวข้อง

### 1.2.1 เชื้อ *Bordetella pertussis*

เชื้อ *Bordetella* หรือ *Bordetellae* จัดอยู่ในวงศ์ Alcaligenaceae เป็นเชื้อแกรมลบรูปแท่งสั้นคล้ายรูปกลม (coccobacilli) (13) ติดสีขาวเมื่อย้อมสีแกรมและอาจมีรูปร่างไม่แน่นอน (pleomorphic) ลักษณะที่เห็นจากการย้อมสีแกรมจึงคล้ายเชื้อ *Haemophilus* เชื้อเจริญได้เฉพาะในบรรยายการที่มีกากออกซิเจนเท่านั้น (14) *B. pertussis* จัดเป็นเชื้อเจริญยากและต้องใช้อาหารเพาะเชื้อพิเศษ อาหารสำหรับเพาะเชื้อ *B. pertussis* จำเป็นต้องมีสารจำเพาะ เช่น charcoal เลือด แบงค์ หรือ albumin เพื่อช่วยในการดูดซับสารที่เป็นพิษต่อเซลล์ และปัจจัยบางอย่างในการเจริญ เช่น nicotinamide (13, 14)

เชื้อ *B. pertussis* มีอัตราการเจริญช้า ใช้เวลานาน 3-6 วัน จึงสามารถเห็นโคลนีบนอาหารเพาะเชื้อได้ พนักศัยในคนเท่านั้น และไม่มีสัตว์อื่นเป็นพาหะ เชื้อตายง่ายเมื่อยูไนซิ่งแวดล้อมและไม่ทนต่อความเย็นและความแห้ง (13, 14)

### 1.2.2 กลไกและลักษณะอาการ

ปัจจัยที่ก่อให้เกิดโรคของเชื้อ *B. pertussis* แบ่งออกได้ เป็น 2 กลุ่ม คือ Adhesins และ Toxins (15) ดังภาพที่ 1-1 ในกลุ่มของ Adhesins นั้นเป็นผลผลิตของเชื้อแบคทีเรียที่ช่วยให้เชื้อสามารถยึดจับกับ Respiratory epithelium ของผู้ติดเชื้อได้ ตัวอย่าง เช่น Filamentous Hemagglutinin (FHA), Fimbriae, Agglutinogens และ Pertactin เป็นต้น ส่วนในกลุ่มของ Toxins จะมีทั้งชนิด Exotoxins และ Endotoxins ที่ช่วยทำให้ระบบภูมิคุ้มกันในร่างกายบกพร่อง และง่ายต่อการติดเชื้อ ตัวอย่าง เช่น Pertussis toxin (PTX), Adenylate cyclase -hemolysin toxin (CyaA), Dermonecrotic toxin (DNT), และ Tracheal cytotoxin (TCT) เป็นต้น (13-15)

#### 1) Pertussis toxin

เป็นปัจจัยก่อโรคหลักของเชื้อ โดยมีคุณสมบัติเป็นสารพิษชนิด A-B toxin โดยโครงสร้างประกอบด้วยหน่ออยู่อย่าง 1 หน่วย และหน่วยอยู่อย่าง 5 หน่วย (16) หน่วยอยู่เป็นหน้าที่จับ receptor ของ host ทั้งเซลล์เยื่อบุทางเดินหายใจและเซลล์เม็ดเลือดขาว จากนั้นส่งหน่วย酵เข้าสู่เซลล์ ทำให้ cAMP ภายในเซลล์เพิ่มสูงขึ้น เป็นผลให้เซลล์เยื่อบุทางเดินหายใจมีการหลั่งสารน้ำและเมือกออกสู่ทางเดินหายใจจำนวนมาก กระตุ้นให้ผู้ป่วยเกิดการระคายเคืองและไออย่างรุนแรง (15, 16)

#### 2) Filamentous hemagglutinin (FHA)

หน้าที่สำคัญในการเกาะติด host โดยสามารถจับกับ glycolipid บนผนังเซลล์เยื่อบุทางเดินหายใจหรือ glycoprotein บนผนังเซลล์ neutrophil (17) กระตุ้นให้เกิดการนำเชื้อแบคทีเรียเข้าสู่เซลล์โดยขบวนการ phagocytosis (18)

### 3) Adenylate cyclase - hemolysin (CyaA)

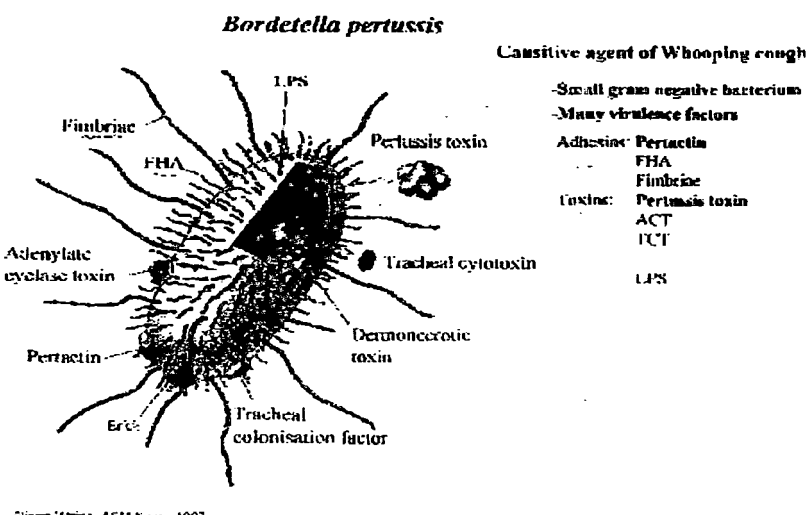
เป็นโปรตีนที่มีคุณสมบัติ 2 ประการที่ไม่ขึ้นต่อ กัน คือ ส่วน Adenyl cyclase (AC) activity เมื่อถูกนำเข้าสู่ เชลล์ host ส่วนของ AC domain ที่ถูกกระตุ้นด้วย calmodulin สามารถออกฤทธิ์เปลี่ยน Adenosine triphosphate (ATP) เป็น cAMP ทำให้มีระดับ cAMP ภายในเซลล์เพิ่มมากขึ้น และมีฤทธิ์การทำงานของระบบภูมิคุ้มกัน โดยยับยั้งเซลล์เม็ดเลือดขาวในการเคลื่อนเข้าหาเชื้อ และการเก็บกินเชื้อ (19) ส่วน Hemolysin domain สามารถทำให้เกิด hemolytic activity ในการสลายเซลล์ เม็ดเลือดแดงและเซลล์อื่น (20)

### 4) Tracheal cytotoxin

เป็นส่วนของโครงสร้าง peptidoglycan ในชั้นผนังเซลล์ของเชื้อที่มีความจำเพาะในการจับกับเซลล์เยื่อบุทางเดินหายใจชนิด ciliated epithelium (21) โดยออกฤทธิ์ยับยั้งการเคลื่อนไหวของ cilia และสามารถทำให้ cilia หลุดออกจากเซลล์ได้ รวมถึงสามารถยับยั้งการสร้าง DNA ทำให้เซลล์ตาย โดยขาดเซลล์และเนื้อเยื่อที่ตายนี้ไม่สามารถถูกกำจัดออกจากทางเดินหายใจได้ เนื่องจากการทำหน้าที่ของ cilia บกพร่อง จึงทำให้เกิดการระคายเคืองภายในระบบทางเดินหายใจและกระตุ้นให้เกิดอาการไออย่างรุนแรงได้ (15, 21)

### 5) Dermonecrotic toxin

เป็นสารพิษชนิดไม่ทนความร้อน มีฤทธิ์กระตุ้นการหดตัวของเส้นเลือด ทำให้เนื้อเยื่อบริเวณนั้นขาดเลือด ต่อมาก็จะเกิดการรุ่วงของสารน้ำ เม็ดเลือดแดง และเม็ดเลือดขาวออกจากเส้นเลือดเข้าสู่เนื้อเยื่อเกิดเป็นจ้ำเลือด (15)



ภาพที่ 1-1 แสดง Virulence factors ของเชื้อ *Bordetella pertussis*

(ที่มา: Alison Weiss, ASM News 1997)

### **1.2.3 ลักษณะทางคลินิกของโรคไอกรน ลักษณะทางคลินิกของโรคไอกรนนั้นแบ่งออกได้เป็น**

**3 ระยะ ดังนี้ (14)**

#### **ระยะที่มีอาการหวัด (Catarhal stage)**

ระยะประมาณ 1-2 สัปดาห์แรกหลังได้รับเชื้อ ผู้ป่วยมักมีอาการไม่รุนแรง อาการคล้ายโรคไข้หวัด หรือคล้ายอาการติดเชื้อไวรัสในทางเดินหายใจส่วนบน เช่น มีไข้ต่ำ อ่อนเพลีย ไอจาม มีน้ำมูก ตาแดง และเบื้องอาหาร ระยะนี้เป็นระยะที่มีการแพร่กระจายเชื้อได้สูง เนื่องจากผู้ป่วยมีเชื้ออยู่ในทางเดินหายใจจำนวนมากที่สุด และผู้ป่วยมักขาดความระดับระวังในการป้องกันการแพร่เชื้อ (13) ในผู้ที่มีภูมิคุ้มกันอยู่บ้างส่วน เช่น เดย์ดีวัคซีนอาจมีอาการในระยะนี้สั้นลงหรืออาการไม่ชัดเจน (22)

#### **ระยะที่ไอรุนแรง (Paroxysmal stage)**

ระยะประมาณสัปดาห์ที่ 2-6 ของการดำเนินโรค อาการไอมีความรุนแรงมากขึ้น เนื่องจากมีการทำลายเซลล์เยื่อบุทางเดินหายใจ และไม่สามารถกำจัดเซลล์ที่ตายและสารเมือกออกได้ จึงเกิดความระคายเคืองอย่างมาก ผู้ป่วยมีอาการไอติดต่อ กันเป็นชุดเรียกว่า staccato cough ตามด้วย การสูดหายใจลึกๆ ผ่านทางเดินหายใจที่บวมและตีบแคบจนมีเสียง “วีด” ที่เรียกว่า whooping cough เนื่องจากอาการไอเกิดขึ้นอย่างเรียบพลันและมีความรุนแรงมากจนผู้ป่วยไม่สามารถหายใจได้ อาการไอมักมีความรุนแรงและชัดเจนในผู้ใหญ่มากกว่าในเด็กเล็ก (23)

นอกจากนี้ยังพบอาการแทรกซ้อนจากการไออย่างรุนแรงได้ เช่น ภาวะขาดออกซิเจน (anoxia) อาการเขียว (cyanosis) เลือดออกที่เยื่อบุตา (subconjunctival hemorrhage) เป็นต้น (13)

#### **ระยะพักฟื้น (Convalescent stage)**

ประมาณสัปดาห์ที่ 4-6 ของโรคและอาจจำดำเนินต่อไปเป็นเวลาหลายสัปดาห์ อาการไอจะค่อยๆ ลดลงและความรุนแรงเริมน้อยลง แต่ผู้ป่วยอาจเกิดโรคแทรกซ้อน เนื่องจากความผิดปกติของระบบทางเดินหายใจ และอาจติดเชื้ออีกหนึ่งชั้นได้ (13)

### **1.2.4 การตรวจวินิจฉัย**

#### **1) การตรวจโดยตรง**

การย้อมสีแกรมมักได้ผลไม่ดีในการตรวจหาเชื้อในสิ่งส่งตรวจ เนื่องจากเชื้อมักมีขนาดเล็ก ติดสียาก และมักมีจำนวนน้อย การตรวจหาเชื้อด้วยตรวจสามารถทำได้ด้วยเทคนิค direct fluorescent antibody (DFA) โดยการย้อมด้วย antibody ที่เคลือบสารสะท้อนแสงชึ้นให้ผลได้รวดเร็ว แต่มีความไวต่ำและอาจทำปฏิกิริยาข้ามกับเชื้อปนเปื้อนอื่นๆ จึงทำให้เกิดผลบวกปลอมได้สูง (24) เทคนิค DFA ได้ถูกพัฒนาขึ้นโดยให้ antibody จำเพาะต่อสาร lipopolysaccharide ของเชื้อ *B. pertussis* ทำให้มีความจำเพาะสูงขึ้น (25)

## 2) การเพาะเชื้อ

ถือเป็นวิธีการมาตรฐานในการวินิจฉัยโรคติดเชื้อ *B. pertussis* ทางห้องปฏิบัติการ เชื้อ *B. pertussis* อยู่ในกลุ่มเชื้อเจริญยาก เนื่องจากถูกยับยั้งการเจริญได้ง่ายโดยสารที่พบในอาหารเพาะเชื้อ ทั่วไปซึ่งอาจเป็นพิษต่อเซลล์ เช่น peptone และ กรดไขมัน อาหารเพาะเชื้อ *B. pertussis* มักต้องมี ส่วนประกอบของ charcoal เลือดเบ้มข้นอย่างน้อย 15-20% และแบงค์ (มันฝรั่ง) เพื่อช่วยในการดูดซับสารพิษต่างๆ (26) เชื้อ *B. pertussis* มีอัตราการเจริญช้า เจริญเฉพาะในบรรยายการที่มีความชื้น มีก๊าซออกซิเจน และมีก๊าซคาร์บอนไดออกไซด์ เบ้มข้น 5-7% อุณหภูมิที่เหมาะสมคือ 35 องศาเซลเซียส โดยโคลนีของเชื้อ *B. pertussis* มีขนาดเล็ก นุ่น และเป็นมันวาว (13)

## 3) การทดสอบคุณสมบัติทางชีวเคมี

เชื้อ *Bordetella* ไม่สามารถถลายสารคาร์บอไฮเดรตได้โดยขบวนการ fermentation (24) ให้ผลบวกในการทดสอบ catalase และ oxidase ยกเว้น *B. parapertussis* และ *B. bronchiseptica* ที่ให้ผลลบในการทดสอบ oxidase (14)

## 4) การทดสอบทางชีวเคมี

การตรวจหาระดับ antibody ที่จำเพาะต่อ Pertussis toxin หรือ antigen ที่เตรียมขึ้นจาก ส่วนประกอบของเซลล์มีประโยชน์ในการวินิจฉัยการติดเชื้อ *B. pertussis* สามารถทำได้หลายวิธี เช่น agglutination enzyme-linked immunosorbent assay (ELISA) และ complement fixation โดยระดับ antibody จะเริ่มสูงขึ้นประมาณสัปดาห์ที่ 3-4 หลังจากเริ่มมีอาการ (25-27)

## 5) การทดสอบระดับโมเลกุล

ปัจจุบันได้มีการพัฒนาเทคนิคระดับโมเลกุลเช่น PCR และ DNA probe เพื่อช่วยในการ ตรวจหาเชื้อ และจำแนกสปีชีส์ของเชื้อ จากทั้งการตรวจสอบสิ่งส่งตรวจโดยตรงและพิสูจน์เชื้อที่ได้จากการ เพาะเชื้อ รวมถึงใช้ตรวจหาียนที่ควบคุมการสร้างปัจจัยก่อโรคและการสืบสานทางระบบทิพยา (13)

## 6) การแพร์รานาดและการป้องกัน

โรคไอกรนเป็นโรคติดต่อสำคัญที่ยังมีอัตราการติดเชื้อและอัตราการตายทั่วโลก เชื้อ *B. pertussis* ไม่พบเชื้อในสิ่งแวดล้อมและไม่พบการก่อโรคในสัตว์ (4) ดังนั้นการแพร์รานาดของเชื้อจะเกิด ระหว่างคนเท่านั้น แหล่งแพร์เชื้อที่สำคัญได้แก่ ผู้ป่วย ในอดีตการติดเชื้อพบได้มากที่สุดในเด็กเล็กอายุ ระหว่าง 1-5 ปี เนื่องจากการกรากคลอคอมก้าได้รับภูมิคุ้มกันจากการด่า หลังจากเริ่มมีการฉีดวัคซีน ให้แก่เด็กเล็กในช่วงประมาณปี ค.ศ.1950 อัตราการเกิดโรคไอกรนในเด็กลดลงมาก (1, 2)

วัคซีนป้องกันโรคโกรนเตรียมมาจากการเชื้อตายทั้งเซลล์ (killed whole-cell vaccine) โดยให้พร้อมกับวัคซีนป้องกันโรคคอตีบและบาดทะยักที่เรียกว่าวัคซีน diphtheria-pertussis-tetanus (DPT) (28) โดยเริ่มฉีดในเด็กอายุประมาณ 2 เดือน จากนั้นฉีดกระตุ้นอีก 2 ครั้ง เมื่ออายุ 1 ปีและ 4-6 ปี วัคซีนมีประสิทธิภาพในการป้องกันโรคโกรนได้ดี แต่พบว่าอาจมีผลข้างเคียงที่รุนแรงคือการเกิดความผิดปกติของสมองหรือระบบประสาทส่วนกลางอย่างถาวร (12) ในปัจจุบันจึงได้มีการพัฒนาเทคนิคในการนำเฉพาะส่วนประกอบของเซลล์ที่มีคุณสมบัติเป็น antigen และสามารถกระตุ้นภูมิคุ้มกันโรคได้แก่ Pertussis toxin, Filamentous, Hemagglutinin, Fimbriae และ Pertactin มาใช้ผลิตวัคซีนชนิดไม่มีเซลล์ (Acellular vaccine) ซึ่งพบว่ามีประสิทธิภาพและมีอัตราการเกิดผลข้างเคียงลดลง (2)

ตารางที่ 1 จำนวนผู้ป่วยและเสียชีวิตด้วยโรคติดต่อที่สำคัญ จากการเฝ้าระวังทางระบาดวิทยา โดยเปรียบเทียบกับช่วงเวลาเดียวกันของปีก่อน ๆ ประเทศไทย ปี พ.ศ. 2555 สัปดาห์ที่ 34

Table 1 Reported Cases of Priority Diseases under Surveillance by Compared to Previous Year, Thailand, 2012,

34<sup>th</sup> Week

Disease	2012				Case* (Current 4 week)	Mean** (2007-2011)	Cumulative 2012			
	Week 31		Week 32				Cases	Deaths		
	Cases	Cases	Cases	Cases			Cases	Deaths		
Cholera	0	0	0	0	0	49	28	0		
Influenza	1393	1164	971	307	3835	9954	25130	30		
Meningococcal Meningitis	0	1	0	0	1	2	7	2		
Measles	90	120	50	17	277	314	3795	0		
Diphtheria	0	0	0	0	0	2	22	3		
Pertussis	0	0	1	0	1	1	10	0		
Pneumonia (Admitted)	3660	3865	3058	1132	11715	13991	112827	789		
Leptospirosis	98	91	47	11	247	510	2134	32		
Hand foot and mouth disease	2016	1367	850	274	4507	698	29101	2		
D.H.F.	1957	1788	1150	242	5137	9817	36587	37		

ที่มา: สำนักงานสาธารณสุขจังหวัด และสำนักอนามัย กรุงเทพมหานคร และ สำนักงਬดวิทยา: รวบรวมข้อมูลในภาพรวมระดับประเทศไทย ข้อมูลเดิมอาจถูกปรับปรุงหลังสัปดาห์ วัดถูกประสงค์เพื่อการป้องกันควบคุมโรค/กับ เป็นหลัก มิใช่เป็นรายงานผลติดเชื้อรุนแรง ฯ สำนักใหญ่เป็นการรายงาน "ผู้ป่วยที่สงสัย (suspect)" ไม่ใช่ "ผู้ป่วยที่ยืนยันว่าเป็นโรคนั้น ๆ (confirm)" ข้อมูลมีการเปลี่ยนแปลงข้อมูลได้ทุกสัปดาห์ จึงไม่ควรนำข้อมูลสัปดาห์ปัจจุบันไปอ้างอิงในเอกสารวิชาการ

\* จำนวนผู้ป่วย 4 สัปดาห์สุดท้าย (4 สัปดาห์ คิดเป็น 1 ช่วง)

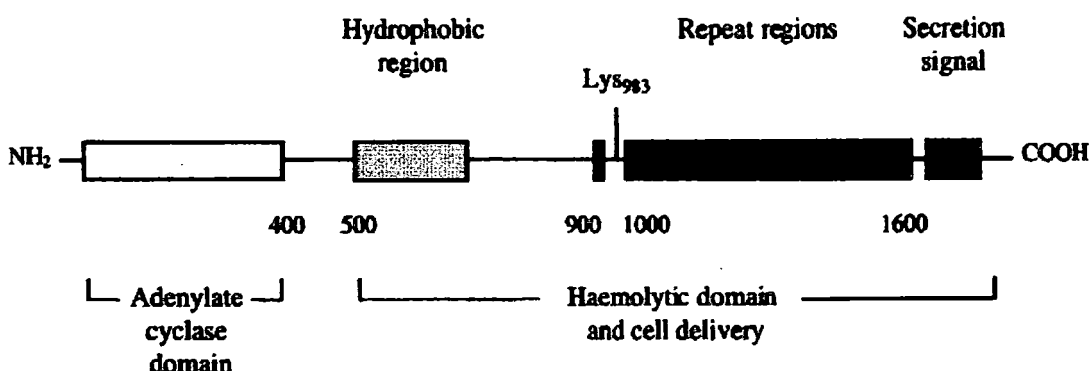
ภาคที่ 1-2 แสดงอัตราการเกิดโรคโกรนในปี 2555

(ที่มา <http://boe-wesr.net/> สืบค้น 11 มกราคม 2556)

## 2.7 โปรตีนพิษ Adenylate cyclase - hemolysin และงานวิจัยที่เกี่ยวข้อง

โปรตีนพิษ CyaA เป็นโปรตีนที่มีขนาดใหญ่ (~170 kDa) ประกอบด้วย Domain สองส่วนในตัวเดียวกัน คือ ส่วนของ Adenylate cyclase domain ที่อยู่ทางด้าน N-terminal ทำหน้าที่เป็นเอนไซม์ Adenylate cyclase (AC) activity โดยเคลื่อนย้าย (translocate) ส่วนของ AC domain ให้เข้าสู่ภายในเซลล์ เมื่อถูกกระตุ้นด้วย Calmodulin ภายในเซลล์แล้ว AC domain จะเปลี่ยน ATP เป็น cAMP จำนวนมาก ส่งผลให้เกิดการยับยั้งการทำงานของเซลล์และก่อให้เกิดการตายแบบ apoptosis ในที่สุด (29) และ ส่วนของ Hemolysin (Hly) domain หรือ Pore-forming (PF) domain ที่ทำให้เกิดการแตกของเซลล์เม็ดเลือดแดงแกะ หรือทำให้เกิดรูร่วบบนผนังหุ้มเซลล์ ซึ่งอยู่ทางด้าน C-terminal ของโปรตีนพิษ ส่วนของ PF domain ของโปรตีนพิษนี้ ยังประกอบด้วยส่วนย่อยอีก 4 ส่วน คือ ส่วนที่ประกอบด้วยกรดอะมิโนที่ไม่มีขั้นจานวนมาก (Hydrophobic region) ส่วนที่มีการเติมหมู่กรดในมัน (Acylation region) ส่วนที่ประกอบด้วยกรดอะมิโน 9 ตัว Gly-Gly-X-Gly-X-Asp-Asp-X-Leu เรียงตัวซ้ำๆ กันจำนวนมาก (Glycine - Aspartate rich nonapeptide repeats) ซึ่งเป็นบริเวณที่จับกับ calcium (30) และส่วนปลายสุดเป็นบริเวณนส่งโปรตีนออกสู่นอกเซลล์ (Secretion signal) (20) แสดงดังภาพที่ 2-3

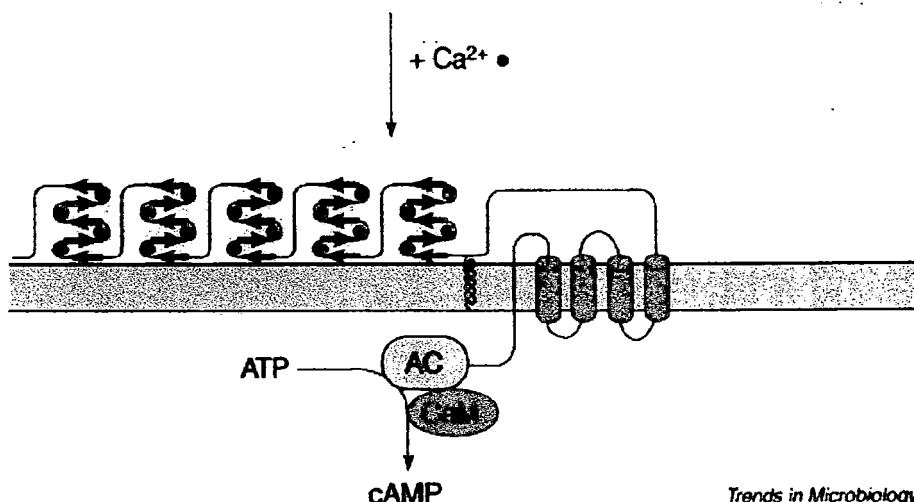
โปรตีนพิษ CyaA แรกเริ่มจะถูกสร้างในรูปของ Prototoxin ที่ยังไม่สามารถทำงานได้ เมื่อเอนไซม์ CyaC-acyltransferase เติมกรด Palmitic acid เข้าไปที่ตำแหน่ง Lys-983 จะกระตุ้นความเป็นพิษของโปรตีนให้ออกฤทธิ์ได้ (31, 32) นอกจากนี้ยังพบว่า Calcium เป็นอีกปัจจัยหนึ่งที่ช่วยในการจัดเรียงโครงสร้างของโปรตีนที่จำเป็นต่อการออกฤทธิ์ของโปรตีนชนิดนี้ (7, 30) มีการรายงานพบว่าโปรตีนพิษ CyaA ชนิดนี้จะมีการจับกับตัวรับ Glycoprotein  $\alpha_m\beta_2$  integrin (เป็นที่รู้จักในนามของ CD11b/CD18 หรือ CR3) บนผิวเซลล์เป้าหมายประเภท Phagocytic cells เช่น Neutrophils และ Macrophages ตรงส่วนของ RTX subdomain ของโปรตีนพิษ CyaA ที่ใช้จับกับ Receptor นั้นเอง (33) ทั้งกระบวนการจับกับ Calcium และกระบวนการเติมหมู่ Palmitoy group ของโปรตีนพิษ CyaA นี้ มีความเกี่ยวข้องสำคัญต่อความสามารถในการจับระหว่างโปรตีนกับตัวรับบนผิวเซลล์ที่มีการแสดงออกของ CD11b/CD18 receptor ในกลุ่มของเซลล์เม็ดเลือดขาวที่เห็นได้ชัดเจนให้เกิดกระบวนการ intoxication หรือความเป็นพิษภายในเซลล์ และสามารถจับเซลล์บางชนิดที่ไม่มี CD11b/CD18 receptor บนผิวเซลล์ เช่น เซลล์เม็ดเลือดแดงแกะ หรือ Liposome ซึ่งสามารถก่อให้เกิดรูร่วบบนผิวเซลล์ หรือทำให้เซลล์แตกได้ (34, 35) โดยที่การเติมหมู่ Palmitoy จะไปเพิ่มแรงยึดจับผิวเซลล์ให้แน่นขึ้นและเป็นตัวหนึ่งที่ช่วยให้เกิดกระบวนการ Protein-protein interactions และ Oligomerization สำหรับการออกฤทธิ์ของโปรตีนพิษนี้ๆ (36) ซึ่งความสามารถในการออกฤทธิ์ของโปรตีนพิษต่อเซลล์เป้าหมายเหล่านี้เป็นการแสดงให้เห็นว่า โปรตีนพิษ CyaA มีกลไกในการแทรกตัว และการจับบนผิวเซลล์ของกลุ่มเซลล์เป้าหมายที่แตกต่างกัน ส่งผลให้เกิดกลไกในการออกฤทธิ์ที่แตกต่างกันอีกด้วย (35)



ภาพที่ 1-3 แสดงโครงสร้างของโปรตีนพิษ Adenylate cyclase – hemolysin

(Smith AM et al., 2001)

จากผลงานวิจัยก่อนหน้านี้ของ Pojanapotha P. et al., 2011 ได้ผลิตโปรตีนพิษเฉพาะส่วน RTX subdomain ของ CyaA ที่มีขนาด  $\sim 100\text{-kDa}$  โดยทำนายลักษณะโครงสร้างของส่วน RTX region เป็น Beta-roll structures ที่มีความเกี่ยวข้องในการจับกับแคลเซียม (Calcium-induce Conformation) แบบ 5 repetitive blocks; block I: Gly<sup>1015</sup> - Lys<sup>1088</sup>, block II: Gly<sup>1138</sup> - Asp<sup>1211</sup>, block III: Gly<sup>124</sup> - Asp<sup>1353</sup>, block IV: Gly<sup>1377</sup> - Asp<sup>1485</sup> และ block V: Gly<sup>1529</sup> - Leu<sup>1591</sup> (7) และเป็นส่วนที่ใช้จับระหว่างโปรตีนพิษกับเซลล์เป้าหมาย เพื่อทำให้เกิดกระบวนการเป็นพิษต่อเซลล์ที่ตอบสนองต่อระบบภูมิคุ้มกันในร่างกาย แสดงดังภาพที่ 1-4

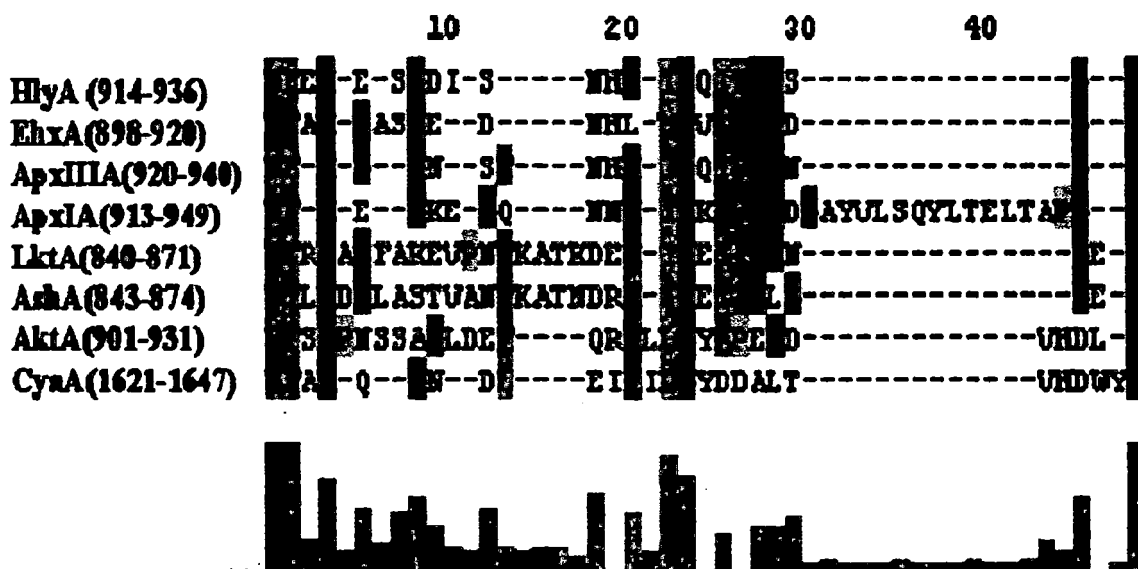


*Trends in Microbiology*

ภาพที่ 1-4 แสดงสมมติฐานกลไกในการจับกับแคลเซียมที่ตำแหน่ง RTX ของโปรตีนพิษ CyaA

(Ladant and Ullmann, 1999)

จากผลงานวิจัยของ Aitziber L. et al., 2003 (11) ได้ทำ Sequence alignment ของโปรตีนพิษชนิดต่างๆในกลุ่มของ RTX toxin บริเวณของโปรตีนส่วนที่อยู่ระหว่าง repeat domain และ C-terminus ภาพที่ 1-5 พบว่า ลำดับเบสที่ 814-872 ของ Leukotoxin (10) มีความคล้ายคลึงกับช่วงลำดับเบสที่ 914-936 ของ HlyA ซึ่งบ่งบอกให้เห็นถึงความสำคัญของช่วงลำดับเบสดังกล่าว และเป็นเหตุผลในการสร้างโคลนโปรตีนพิษ HlyA mutant ที่ตัดลำดับกรดอะมิโนตำแหน่งที่ 914-936 ออก เพื่อใช้เปรียบเทียบประสิทธิภาพในการทำงานระหว่าง HlyA wild-type กับ mutant



ภาพที่ 1-5 แสดง Sequencing alignment ของ conserved region ระหว่าง Repeat domain และ C-end ของ RTX toxin.

*HlyA*, hemolysin from *E. coli*; *EhxA*, enterohemorrhagic hemolysin from *E. coli*; *ApxIIIa*, cytolysin from *A. pleuropneumoniae*; *ApxIa*, hemolysin from *A. pleuropneumoniae*; *LktA*, leukotoxin A from *P. hemolytica*; *AshA*, leukotoxin from *Actinobacillus suis*; *AktA*, Leukotoxin from *A. actinomycetemcomitans*; *CyaA*, adenylate cyclase from *B. pertussis*.

สีที่ใช้ในภาพ: สีน้ำเงิน แสดง hydrophobic residues; สีน้ำเงิน แสดง basic residues; สีชมพู แสดง acid residues; สีส้ม แสดง Gly; สีเหลือง แสดง Pro; สีเขียว แสดง polar non-charged residues.

จากการทดสอบความสามารถในการทำให้เม็ดเลือดแตก (Hemolytic activity) พบว่า ความเข้มข้นของโปรตีนพิษ HlyA mutant ต้องใช้ปริมาณที่มากกว่า wild-type ประมาณ  $10^5$  เท่า จึงสามารถทำให้เม็ดเลือดแตกได้ถึง 50% ของทั้งหมด คือ ใช้ HlyA wild-type ที่ความเข้มข้นเท่ากับ  $4.0 \times 10^{-3}$  nM, Mutant เท่ากับ  $1 \times 10^2$  nM สำหรับเม็ดเลือดแดงม้า และใช้ HlyA wild-type ที่ความเข้มข้นเท่ากับ  $3.0 \times 10^{-2}$  nM, Mutant เท่ากับ  $4.2 \times 10^2$  nM สำหรับเม็ดเลือดแดงคน ผลการทดสอบความสามารถในการจับกับตัวรับอนุภาคซึ่งเป็นอย่างเดียวกันนี้ พบว่า HlyA mutant ไม่สามารถจับกับตัวรับอนุภาค Glycophorin ใน Affinity column เมื่อเปรียบเทียบกับ wild-type ที่ยังคงสามารถทำให้เม็ดเลือดแตกและจับกับ Glycophorin ได้ปกติ

เมื่อทำการสร้างเปปไทด์ในช่วง Trp<sup>914</sup>-Arg<sup>936</sup> และทดสอบความสามารถในการจับของ Peptide ต่อ Glycophorin receptor พบว่า WR peptide สามารถจับกับ Unilamellar vesicles ที่มี Glycophorin เป็นส่วนประกอบ ได้เท่านั้น และเมื่อศึกษาความสามารถในการป้องกันการแตกของเม็ดเลือดแดงโดยใช้เปปไทด์ชนิดนี้ พบว่า เมื่อใส่ WR peptide ลงไปจับกับเม็ดเลือดแดงก่อนที่จะใส่ HlyA toxin สามารถยับยั้งหรือลดอัตราการแตกของเม็ดเลือดแดงได้

งานวิจัยนี้แสดงให้เห็นว่า HlyA mutant ที่ตัดส่วนของกรดอะมิโนลำดับเบสที่ 914 – 936 ออก ส่งผลกระทบต่อความสามารถในการทำให้เม็ดเลือดแตกแตกต่าง และไม่สามารถจับกับตัวรับอนุภาคซึ่งเม็ดเลือดแดง หรือ Glycophorin บน Affinity column ได้ เมื่อทำการสังเคราะห์ WR peptide ในช่วง Trp<sup>914</sup>-Arg<sup>936</sup> โดยที่ทดสอบแล้วว่า ตัวของมันเองไม่สามารถทำให้เม็ดเลือดแตกได้นั้น สามารถจับกับ Glycophorin ที่อยู่บน Unilamellar vesicles ได้อย่างจำเพาะเจาะจง และ WR peptide นี้ยังสามารถจับกับ Glycophorin receptor บนอนุภาคเม็ดเลือดแดง ทำให้ป้องกันการจับของ HlyA toxin ซึ่งส่งผลทำให้ไม่เกิดการแตกของเม็ดเลือดแดง (11)

### 1.3 สมมุติฐานของการทดลอง

การทดลองนี้จึงตั้งอยู่สมมติฐานที่ว่า เปปไทด์ทางด้าน C-terminus ในส่วน RTX subdomain โดยเฉพาะส่วนของ C-terminal secretion signal ของโปรตีนพิช CyaA มีความสำคัญต่อการจับกับ Receptor บนผิวเซลล์เป้าหมาย ซึ่งได้แก่ เซลล์เม็ดเลือดขาว (Human white blood cells; hWBCs) และ เซลล์เม็ดเลือดแดงแกะ (Sheep red blood cells; sRBCs)

### 1.4 ประโยชน์ที่คาดว่าจะได้รับ

1. ได้ศึกษาความสามารถของ RTX ในการจับกับตัวรับบนผิวเซลล์เป้าหมาย ได้แก่ เซลล์เม็ดเลือดขาวคน และเซลล์เม็ดเลือดแดงแกะ
2. ได้ศึกษานบทบาทและความสำคัญของเปปไทด์ทางด้าน C-terminal ในส่วน RTX Subdomain ของโปรตีนพิช CyaA ต่อการจับกับเซลล์เป้าหมาย

### 1.5 ขอบเขตของโครงการวิจัย

ในการศึกษาครั้งนี้ จะใช้พลาสมิดตันแบบ pCyaA-RTX ของ Pichaya Pojanapotha et al., 2011 (7) ที่สามารถสร้างโปรตีนเฉพาะส่วน RTX subdomain ของโปรตีน CyaA (CyaA-RTX) ขนาด ~100 kDa ได้จำนวนมากและอยู่ในรูปละลายน้ำ (soluble form) ที่ทำงานได้ ทำการวิเคราะห์หาตำแหน่งที่เกี่ยวข้องกับการจับกับเซลล์เป้าหมาย ซึ่งได้แก่ เซลล์เม็ดเลือดขาวคน และเซลล์เม็ดเลือดแดง แกะ โดยการจัดเอาร่วนทางด้าน C-terminus (aa 1602-1706) ออกจากโคลนยืนต้นแบบ pCyaA-RTX (pCyaA-RTX Δ1602-1706) เพื่อวิเคราะห์การผลิตของยีน และทดสอบคุณลักษณะในการจับกับกลุ่มเซลล์เป้าหมาย (Toxin Binding) เปรียบเทียบกับโคลนต้นแบบ

## บทที่ 2

### วัตถุประสงค์

จากผลงานวิจัยก่อนหน้านี้ของ Pichaya Pojanapotha et al., 2011 (7) ได้ผลิตโปรตีนพิษเฉพาะส่วน RTX subdomain ของ CyaA ที่มีขนาด ~100-kDa โดยทำนายลักษณะโครงสร้างของส่วน RTX region เป็น Beta-roll structures ที่มีความเกี่ยวข้องในการจับกับแคลเซียม (Calcium-induce Conformation) และเป็นส่วนที่ใช้จับระหว่างโปรตีนพิษกับเซลล์เป้าหมาย เพื่อทำให้เกิดกระบวนการเป็นพิษต่อเซลล์ที่ตอบสนองต่อระบบภูมิคุ้มกันในร่างกาย การวิจัยนี้จึงมีวัตถุประสงค์ดังต่อไปนี้

1. เพื่อศึกษาคุณลักษณะของ RTX ในการจับกับโปรตีนตอบรับผิวเซลล์เป้าหมาย ซึ่งได้แก่ เซลล์เม็ดเลือดขาวคน และเซลล์เม็ดเลือดแดงแกะ
2. เพื่อวิเคราะห์หาตำแหน่งสำคัญของการจับกับตัวรับของผิวเซลล์เป้าหมาย คือ เซลล์เม็ดเลือดขาวคน และเซลล์เม็ดเลือดแดงแกะ
3. เพื่อศึกษาหาแนวทางการในผลิตวัคซีน หรือเพื่อใช้ในการบำบัดรักษาโรคที่เกิดจากโปรตีนสารพิษ CyaA

### บทที่ 3

#### วัสดุ อุปกรณ์ สารเคมี และวิธีการทดลอง

##### การดำเนินงานวิจัย ประกอบด้วย 2 ขั้นตอน ดังนี้

1. การสร้างโคลน pCyaA-RTX Δ1602-1706 ที่ขาดชิ้นส่วนทาง C-terminal region
  - 1.1 สร้างและวิเคราะห์พลาสมิด pCyaA-RTX และ pET-17b vector จาก *E. coli* สายพันธุ์ JM109 ที่ได้รับมาจาก ดร.พิชญา พจนโพธิฯ คณะแพทยศาสตร์ศิริราช และสถาบันชีวิทยาศาสตร์โมเลกุล ตามลำดับ
  - 1.2 สังเคราะห์ยีน cyaA-RTX subdomain ที่ขาดชิ้นส่วนทาง C-terminus ด้วยวิธี PCR
  - 1.3 ตัดต่อยีนที่ได้ลงใน pET-17b vector ตามกระบวนการ DNA cloning
  - 1.4 ตรวจสอบความถูกต้องของ Recombinant clone ที่ได้ โดยวิธี Restriction enzyme analysis และ DNA sequencing
2. การผลิตโปรตีนพิช CyaA-RTX ที่ขาดชิ้นส่วนทาง C-terminal region
  - 2.1 Re-transform เป้า *E. coli* สายพันธุ์ BL21(DE3)pLysS
  - 2.2 เผnier ยาน้ำให้เกิดการแสดงออกของยีน ด้วย IPTG
  - 2.3 ตรวจสอบคุณลักษณะของโปรตีนที่ได้ โดยวิธี SDS-PAGE และ Western blot analysis
3. ทดสอบความสามารถของโปรตีน CyaA-RTX fragment ต่อความสามารถในการจับกับเซลล์ เป้าหมาย ได้แก่ hWBCs และ rRBCs เปรียบเทียบผลที่ได้กับโปรตีนต้นแบบ

##### 3.1 วัสดุและอุปกรณ์

1. กล้องถ่ายรูป
2. ขวดดูแลน (Duran) ขนาด 100, 250, 500 และ 1000 มิลลิลิตร
3. ขวดปูนมผู้ (Erlenmeyer flask) ขนาด 500 และ 1000 มิลลิลิตร
4. เครื่องดูดปล่อยสารอัตโนมัติ (Automatic pipette) ขนาด 0.2-2, 1-10, 2-200 และ 100-1000 ไมโครลิตร
5. เครื่องซั่งสาร
6. เครื่องปั่นเหวี่ยงแบบควบคุมอุณหภูมิ (Centrifuge refrigerated) (Benchtop Refrigerated Centrifuge, PCL holding)
7. เครื่องปรับอุณหภูมิ (Heat box)

8. เครื่องวัด pH (pH meter)
9. เครื่องสเปกโตรโฟโตมิเตอร์ (T90+ Spectrophotometer)
10. เครื่องคนสาร (Hotplate and stirrer)
11. เครื่องกำเนิดแสงอัลตราไวโอเลต (UV transilluminator)
12. เครื่อง Water bath
13. ชุด SDS-PAGE (Mini-PROTEAN Tetra Cell, Bio-Rad Laboratories)
14. เครื่องกำเนิดไฟฟ้า (Powerpac Basic Power Supply, Bio-Rad Laboratories)
15. เครื่อง Blotting cassette (Trans-Blot Cell, Bio-Rad Laboratories)
16. ชุดวิเคราะห์ดีเอ็นเอ (Gel electrophoresis unit)
17. โซนิคเตอร์ (Sonicator) (UP50H ultrasonic process, hieltscher)
18. ตู้บ่มเบี้ยเชือ (Shaking incubator) (New Brunswick scientific, USA)
19. ทิป (Tip) ขนาด 10, 200 และ 1000 ไมโครลิตร
20. ไนโตรเซลลูโลส เมมเบรน (Nitrocellulose membrane)
21. หลอดไมโครเซนทริฟิวจ์ (Microcentrifuge tube) ขนาด 1.5 มิลลิลิตร
22. หลอดเซนทริฟิวจ์ (Centrifuge tube) ขนาด 15 และ 50 มิลลิลิตร

### 3.2 สารเคมี

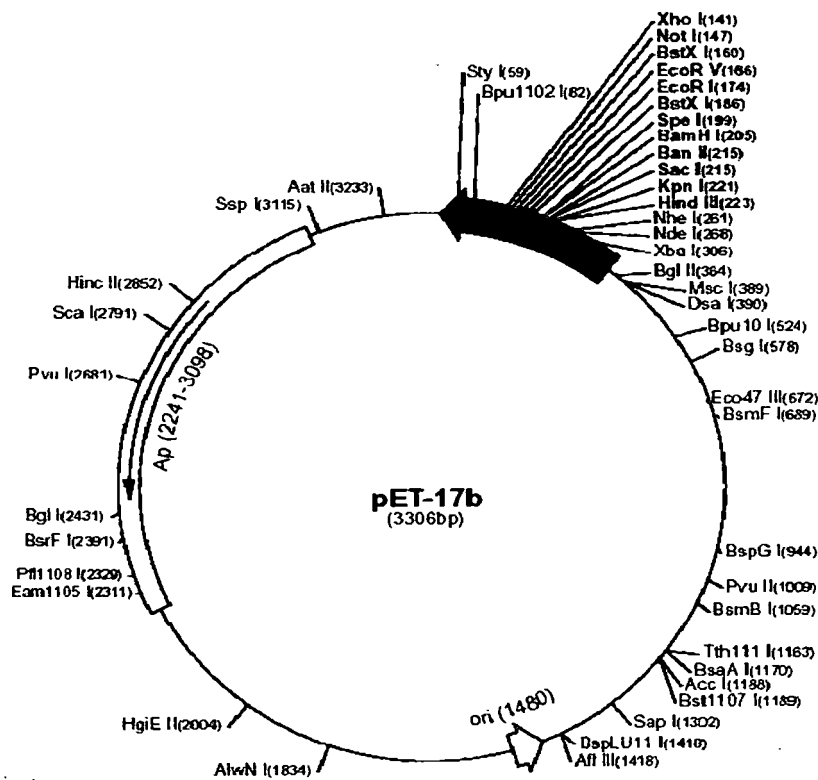
1. เม็ดเลือดแดงแกะได้รับการสนับสนุนจากศูนย์สัตว์ทดลองแห่งชาติ
2. เลือดคนจะได้รับการบริจาคจากนิสิตวิทยาศาสตร์การแพทย์ รุ่นที่ 10 มหาวิทยาลัยบูรพา
3. เอนไซม์ DNA polymerase, T4 DNA Ligase และเอนไซม์ตัดจำเพาะ Restriction enzyme (*BamHI* และ *HindIII*) ซื้อจากบริษัท New England Biolabs/Promega
4. Anti-RTX monoclonal antibody-9D4 ถูกสร้างมาจากการ Listlabs
5. Acetic acid
6. 30% Acrylamide/Bis solution 29:1 (Bio-Rad Laboratories)
7. Ampicillin
8. Ammonium persulfate (APS)
9. Agarose gel (vivantis)
10. Coomassie blue R-250
11. Calcium chloride
12. Di-sodium hydrogen orthophosphate-1,2-hydrate

13. Ethyl alcohol (Absolute, 95%, 70%)
14. Glycerol
15. Glycine
16. 2-hydroxymethyl-2-methyl-1,3-propanediol
17. Isopropyl-D-thiogalactopyranoside (IPTG)
18. Loading dye ที่มี SYBR Gold ผสมอยู่ (10X)
19. Kit สำหรับสกัด DNA จาก agarose gel (GF-1 Gel DNA Recovery KIT , Vivantis)
20. Kit สำหรับสกัดพลาสมิด (GF-1 plasmid extraction kit, Vivantis)
21. 10x Ligation buffer
22. LB media
23. Magnesium chloride
24. Oligonucleotide primers จะถูกสร้างมาจาก Sigma PROLIGO, ประเทศไทย
25. Marker (100 bp marker, *Lamda-HindIII marker, Prestained Protein marker*)
26. Methyl Alcohol
27. Skimmed milk
28. Sodium chloride
29. Sodium hydroxide
30. Sodium dodecyl sulfate (SDS)
31. Tris-HCl
32. Tetramethylethylenediamine (TEMED)
33. Triton-X
34. Tween-20
35. Yeast extract

### 3.3 พลาสมิคที่ใช้ในการทดลอง

#### 3.3.1 pET17b vector

pET17b vector คือ พลาสมิคพาหะที่ใช้ตัดต่อยีน truncated *cyaA-RTX* และเห็นได้ทางการแสดงออกของยีน ซึ่งประกอบด้วย T7 promoter, Origin of replication, Multicloning sites และ Ampicillin resistance ( $\text{Ap}^r$ ) gene (42)



ภาพที่ 3-1 แสดงลักษณะของ pET17b vector และตำแหน่งของ restriction enzyme

(Seed, 1987) (Novagen)

### 3.3.2 pCyaA-RTX plasmid

pCyaA-RTX plasmid คือ พลasmid ที่สามารถผลิตโปรตีนพิษเฉพาะส่วน RTX region ของ CyaA toxin ที่มีขนาดเล็ก ~100-kDa โดยการตัดเอาส่วน hydrophobic region (aa 500-700) ออกจากโคลนยืนต้นแบบ pCyaA-PF โดย pCyaA-RTX plasmid ได้รับมาจาก ดร.พิชญา พจน์โพธารานะและศ.ศาสตร์ศิริราช เพื่อใช้ในการปรับเปลี่ยนแปลงกรรมวิโนหรือตัดซึ้นส่วนของเปปไทด์ที่คาดว่าจะมีความเกี่ยวข้องในการจับกับตัวรับของเชลล์เป้าหมาย

### 3.4 สายพันธุ์แบคทีเรียที่ใช้

*E. coli* สายพันธุ์ JM109 [*endA1*, *recA1*, *gyrA96*, *thi*, *hsdR17(r<sub>k</sub>, m<sub>k</sub><sup>+</sup>)*, *relA1*, *supE44*,  $\Delta$ (*lac-pro AB*), (*F' traD36 proAB lacI'Δ(lacZ)M15*)] ใช้สำหรับกระบวนการสร้างโคลนยืนของDNA (DNA manipulation)

ในขณะที่ *E. coli* สายพันธุ์ BL21(DE3)pLysS [*F*, *ompT*, *hsdS<sub>B</sub>(r<sub>B</sub>, m<sub>B</sub>)*, *dcm*, *gal*,  $\lambda$ (DE3), pLysS, Cm<sup>r</sup>] ใช้สำหรับการแสดงออกของ recombinant plasmids

### 3.5 Oligonucleotide primers ที่ใช้

Primers ที่ออกแบบ ถูกสังเคราะห์โดย Thermo Fisher Scientific Inc. (Fermentas) ซึ่งถูกออกแบบให้เริ่มที่ M<sup>482</sup> (start codon) และสิ้นสุดที่กรดอะมิโน I<sup>1602</sup> หลังจากนั้นเปลี่ยนให้เป็น stop codon (เปลี่ยนลำดับเบส 1 ตำแหน่ง) รวมทั้งกลไกพันธุ์เบส 2 ตำแหน่ง เพื่อให้เกิดตำแหน่งของ restriction enzyme BamHI ใน การตัดต่อชิ้น ลำดับเบสของ Primers แสดงดัง ตารางที่ 3-1 โดยกำหนดให้ ตำแหน่งที่ปีกเด่นได้เป็น Restriction enzyme ตำแหน่ง start และ stop codon และ ให้เห็นในตัวอักษรสีแดง และตำแหน่งลำดับเบสที่กลไกพันธุ์แสดงให้เห็นเป็นตัวหนา มี stock ความเข้มข้น 100 μM

ตารางที่ 3-1 แสดงลำดับเบสของ Primer ที่ใช้ในการทำ PCR

Primer	Sequence	Restriction site
CyaA_RTX-f	M <sup>482</sup> A N S D 5'- GAT ATA <u>CAT ATG</u> GCC AAT TCG GAC -3'	NdeI
CyaA_I <sup>1602</sup> -r	stop 5'- CC GCC <u>CGG ATC CTA</u> GAT CGT -3'	BamHI

### 3.6 วิธีการทดลอง

#### 3.6.1 การสกัดพลาสมิดและวิเคราะห์โดย Agarose Gel electrophoresis

นำ Single colony ของแบคทีเรียที่มีพลาสมิดจาก Agar plate มาเลี้ยงในอาหารเลี้ยงเชื้อ LB medium 3 ml ที่มี 100 µg/ml ampicillin บ่มเชื้อที่อุณหภูมิ 37°C ตลอดคืนประมาณ 12-18 ชั่วโมง จากนั้นถ่ายใส่ลงใน microcentrifuge tube และปั่นให้หมุนที่ 5,000Xg นาน 5 นาที เก็บ pellet ทิ้ง supernatant เมื่อปั่นเก็บ pellet จนหมดแล้วเติม Solution1 ปริมาตร 250 µl ลงไปในหลอดที่มี pellet และนำไป vortex หรือ pipetting เดิม Solution2 ปริมาตร 250 µl และ inverting 4-6 ครั้ง จากนั้นตั้งทิ้งไว้ที่อุณหภูมิห้อง 5 นาที เติม buffer NB ปริมาตร 400 µl และ inverting 4-6 ครั้ง จากนั้นนำไปปั่นให้หมุนที่ 13,000Xg นาน 10 นาที ถ่าย 700 µl ของ supernatant ลงใน column และนำไปปั่นให้หมุนที่ 10,000Xg นาน 1 นาที ทิ้งของเหลวและนำไปปั่นซ้ำๆ จน supernatant หมด เติม wash buffer 700 µl และนำไปปั่นให้หมุนที่ 10,000Xg นาน 1 นาที และทิ้งของเหลว ปั่นให้หมุนที่ 10,000Xg นาน 1 นาที ถอด เอา collection tube ทิ้งไป และเปลี่ยนอาหา microcentrifuge tube มาใส่แทน เติมน้ำกลัน 30 µl ตั้งทิ้งไว้ 1 นาที จากนั้นนำไปปั่นให้หมุน 10,000Xg นาน 1 นาที

เตรียมแผ่นเจล 0.8% โดยใช้ผงวุ้น Agarose ผสมใน 1XTBE buffer ให้ได้ปริมาตร 50 ml (Agarose 0.4 g : 1XTBE buffer 50 ml) และทำให้เจลละลายโดยใช้ Microwave รอให้อุ่นและเทลงบน จานที่มีหวี (comb) วางอยู่ รอให้เจลแข็งแล้วดึง comb ออก นำเจลที่แข็งแล้ววางลงในเครื่อง gel 23 electrophoresis หยด loading dye ที่มี SYBR Gold ผสมอยู่ลงบนแผ่นพาราฟิล์ม ดูดสารละลายที่มี พลาสมิด 2 µl ลงผสาน loading dye บนพาราฟิล์มที่เตรียมไว้ หยดลงในหุ่มด้านบน agarose gel ปรับ ความต่างศักย์ของกระแสไฟฟ้าให้เป็น 110 volt นาน 60-70 นาที จากนั้นนาแผ่นเจลไปเปรียบเทียบ band ที่ได้กับตีอั้นเอมารฐาน (Marker) และถ่ายรูป

#### 3.6.2 การสร้างโปรตีนกล้ายันที่โดยใช้วิธีพื้นฐานทาง PCR-based mutagenesis

ทำการสร้างยีนเฉพาะส่วน  $\text{Ca}^{2+}$ -binding repeat region (cyaA-RTX) โดยการตัดชิ้นส่วน ของยีนทางด้าน C-terminus กระดุมมิโน่ตำแหน่งที่ 1602-1706 ออกจากพลาสมิดต้นแบบ pCyaA-RTX โดยการออกแบบ primer และ amplify gene ตามลำดับเบสในตารางที่ 3-1 ดังกล่าว และตัดต่อขึ้นเข้า กับ pET-17b vector

เตรียม sample reactions ลงใน 0.2 ml microcentrifuge tube โดยใช้ RTX template 100 ng, 10 µM primer CyaA-RTX forward และ reverse อย่างละ 1 µl, 100% DMSO 1.5 µl, 10 mM dNTPs 1 µl, 1XPhusion® GC buffer และเอนไซม์ Phusion® DNA Polymerase 0.5 µl ปริมาตรรวม ทั้งหมด 50 µl เตรียมเสร็จแล้ว ใส่ลงในเครื่อง Thermocycle เช็ตตั้งเวลาและอุณหภูมิที่ใช้ในแต่ละ

cycle โดยให้อุณหภูมิ Annealing ที่ 52°C เป็นเวลา 30 วินาที จำนวน 30 รอบ ตรวจสอบผล PCR products ที่ได้ด้วยวิธี Agarose gel electrophoresis สกัดแบบ PCR product บริเวณแคนดี้อีนเอที่ต้องการออกจากเจล และนำไปปั๊มสายดีอีนเอเข้ากับเกกเตอร์ (pET N/B) ที่ตัดด้วย *NdeI* และ *BamH* เช่นเดียวกัน ด้วยเอนไซม์ Ligase enzyme นำ recombinant DNA ที่ได้เข้าสู่เซลล์แบคทีเรียเจ้าน้านที่เตรียมให้อยู่ในรูป competent cell โดยวิธี  $\text{CaCl}_2$  (Transformation)

### 3.6.3 ตรวจสอบ Recombinant clone โดยวิธี Restriction enzyme analysis และ DNA sequencing

เมื่อสกัด recombinant DNA จากแบคทีเรียแล้ว นำมาตรวจสอบผลการโคลนนิ่ง โดยการตัดด้วยเอนไซม์ *NdeI* และ *BamHI* restriction enzymes บ่มทิ้งไว้ที่ 37 °C เป็นเวลา 2 ชั่วโมง ตรวจสอบขนาดชิ้นส่วน DNA ด้วย 0.8% agarose gel electrophoresis โดยเปรียบเทียบกับ *Lamda/HindIII* marker และ 100 bp marker

Recombinant clone ที่ผ่านการตรวจด้วยวิธี restriction enzyme analysis ว่าถูกต้องแล้ว มาตรวจสอบความถูกต้องของลำดับเบสยืน *cyaA-RTX Δ1602-1706* โดยการส่งตัวอย่างตรวจวิเคราะห์โดย 1st BASE DNA Sequencing service

### 3.6.4 การเห็นยานำให้เกิดการแสดงออกของยีนด้วย IPTG

นำเชื้อ *E. coli* BL21(DE3)pLysS ที่มีพลาสมิดที่ต้องการ มาเพาะเลี้ยงในตู้บ่อมเชื้อ 37°C ความเร็ว 200 รอบ/นาที เป็นเวลา 12-18 ชั่วโมง (Starter) และใช้เชื้อ 1 ml จาก Starter เติมลงใน 100 ml LB medium ที่มี 100  $\mu\text{g}/\text{ml}$  ampicillin ใน 250 ml sterile flask (หรือ 1% จาก Starter) เขียวเพาะเชื้อในตู้บ่อมเชื้อ 37°C นาน 2-3 ชม. หรือจนกว่า OD.600 จะถึง 0.5-0.6 แบ่งเชื้อแบบ sterile technique ออกรณาให้ได้ 1 OD. Packed cell และ label เป็น uninduced cell และเห็นยานำให้เกิดการแสดงออกของยีนโดยเติม IPTG ให้มีความเข้มข้นสุดท้าย 0.1 mM ลงใน flask เพาะเชื้อ นำไปเย่าต่อ อีก 6 ชม. วัด OD600 อีกครั้ง จดบันทึกค่า แบ่งเชื้อแบบ sterile technique ออกรณาให้ได้ 1 OD. Packed cell และ label เป็น induced cell ໄว้เตรียมสำหรับแยก蛋白质ด้วย SDS-PAGE ในขั้นตอนต่อไป

### 3.6.5 การสกัดโปรตีน และวิเคราะห์ด้วย SDS-PAGE

นำเซลล์แบคทีเรียที่มี recombinant DNA อยู่ จำนวน 50 ml มาปั่นเหวี่ยงที่ 5,000 rpm เป็นเวลา 10 นาที และเท supernatant ส่วนของ LB broth ทิ้ง เติม 20 mM Tris-HCl, pH 8.0 buffer (buffer A+ 5 mM CaCl<sub>2</sub> แซบบ์) 5 ml และ resuspend ทำการ break เซลล์ด้วยวิธีการ freezing-thawing 1 ครั้ง และนำไป sonicate ด้วยเครื่อง sonicator ที่ความแรงของคลื่นเสียงปานกลาง-สูง โดย sonicate 3 ครั้ง ครั้งละ 1 นาที และหยุดพัก 1 นาที (ในน้ำแข็ง) จากนั้นนำไปปั่นเหวี่ยงที่ 12,000×g เป็นเวลา 20-25 นาที ที่ 4°C ดูดเก็บ supernatant ใส่ tube ใหม่ Label ว่าเป็น Crude lysate นำไปแยกโปรตีนด้วย SDS-PAGE 10 μl เพื่อตรวจสอบโปรตีโน่กรัง นำเสนอanalyse โปรตีนที่ได้มาแยกโปรตีนให้บริสุทธิ์ต่อไป

เตรียม SDS-PAGE โดยใช้ separating gel 10% และ stacking gel 4% (รายละเอียดการเตรียม อยู่ในภาคผนวก) และเตรียมตัวอย่างโปรตีนโดยผสม sample กับ 4Xloading dye buffer (60 mM Tris-HCl pH 7.5, 2% SDS, 10% glycerol, 0.025% bromophenol blue, 100 mM DTT) ในอัตราส่วน 3:1 และ heat ที่ 95°C เป็นเวลา 10 นาที vortex และปั่นเหวี่ยงที่ 10,000xg เป็นเวลา 10 นาที จากนั้นนำไป load ลงในเจล โดยใช้ prestained marker เพื่อเปรียบเทียบ molecular weight และเติม running buffer (25 mM Tris-HCl pH 8.3, 192 mM glycine, 0.1% SDS) ทำการแยกโปรตีนในสภาวะกระแสไฟฟ้าคงที่ constant Amp 25 mA ต่อ 1 เจล (~200 V) จาก cathode ไปยัง anode จน dye ตกขอบล่างของแผ่นเจล นำเจลไปย้อมสี 0.1% Coomassie brilliant blue เป็นเวลา 1 ชั่วโมง และล้างสีออกด้วย destaining solution (10% ethanol and 10% glacial acetic acid) ตลอดคืนหรือจนกว่า background จะใส เพื่อศึกษาแบบโปรตีนต่างๆ

### 3.6.6 การทดสอบความสามารถในการจับตัวรับอนพิวเซลล์

นำเม็ดเลือดแดงและขาวหรือเม็ดเลือดขาวคนที่เตรียมแยกได้ ปั่นล้างสิ่งปนเปื้อนอีกรัง ด้วย 1XTBS buffer จากนั้นเตรียม sample reaction ต่างๆ ที่ใช้ในการทดสอบดังนี้: Negative control (Sterile DW 150 μl, 10x TBS 20 μl, red/white blood cells 30 μl) และ Crude lysate (10x TBS 20 μl, red/white blood cells 30 μl, Crude lysate 150 μl) โดยให้มีปริมาตรสุทธิทั้งหมด (total volume) 200 μl และนำไป incubate ที่ 37°C เป็นเวลา 4 ชั่วโมง จากนั้นนำไปปั่นแยกลำบาก ที่ความเร็วรอบ 12,000Xg นำแต่ละชั้น (fraction) ที่ได้มาแยกโปรตีนด้วย SDS-PAGE และ Western blot analysis เพื่อตรวจสอบตำแหน่งของโปรตีน RTX

### **3.6.7 Western blot analysis**

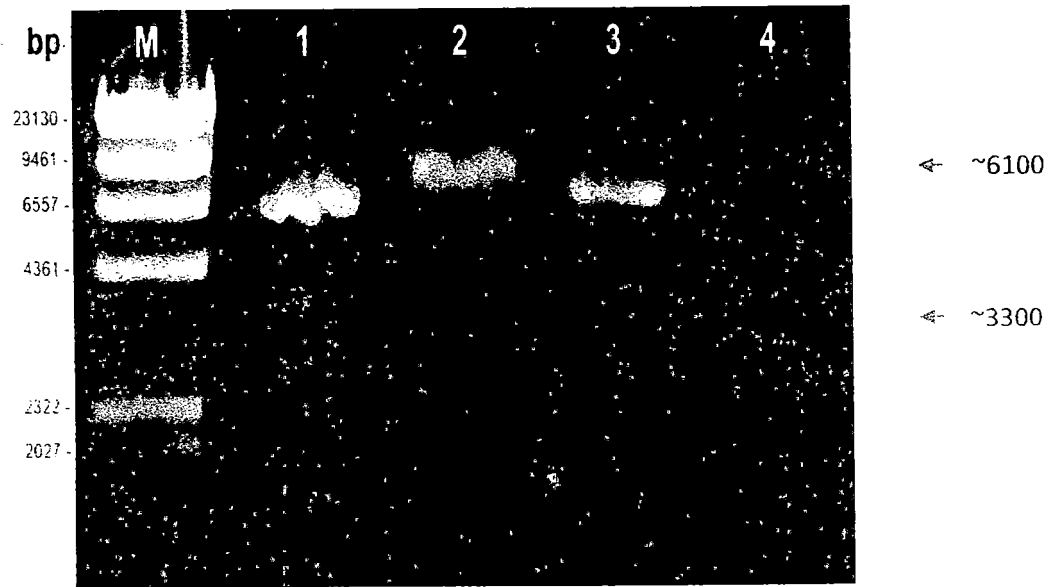
แผ่นเจลที่ได้จาก SDS-PAGE และยังไม่ได้ย้อมสี Coomassie blue นำมาเย้ายอโปรตีนลงบนแผ่น nitrocellulose membrane ด้วยวิธี semi-dry blotting โดยแซ่แผ่น nitrocellulose membrane กระดาษกรอง และแผ่นเจลใน transfer buffer (39 mM glycine, 48 mM Tris-HCl (pH 9.2), 0.0375% SDS, 5% methanol) เป็นเวลา 15-30 นาที นำ Fiber pad วางบน blotting cassette ตามด้วยกระดาษกรอง 1 แผ่น ตามด้วยแผ่น nitrocellulose membrane และแผ่นเจล โดยให้เจลอยู่ด้านข้าม cathode และแผ่น nitrocellulose membrane อยู่ด้านข้าม anode โดยไม่ให้มีฟองอากาศ จากนั้นวางกระดาษกรองอีก 1 แผ่น ทำการ transfer โปรตีนที่ constant current 350 mA เป็นเวลา 1 ชั่วโมง นำแผ่น nitrocellulose membrane ที่ได้ไปย้อมด้วยสี 0.1% Ponceaus S ใน 5% acetic acid 5-10 วินาที ล้างสี Ponceaus S ออกด้วยน้ำกลัน แล้วทำการ block nonspecific binding โดยการแซ่ใน Blotto solution (5% skim milk ใน 1xPBS buffer) 2 ชั่วโมง จากนั้นแซ่แผ่น nitrocellulose membrane ใน primary antibody (anti-RTX polyclonal antibody) ใน Blotto solution ด้วยอัตราส่วน 1: 5,000 นาน 2 ชั่วโมง ล้างด้วย PBS-T จำนวน 3 ครั้งๆ ละ 10 นาที จากนั้นแซ่ใน secondary antibody (goat-anti rabbit IgG conjugated with alkaline phosphatase) ใน Blotto solution ด้วยอัตราส่วน 1: 4,000 นาน 2 ชั่วโมง ล้างด้วย PBS-T 10 นาที และล้างด้วย PBS จำนวน 3 ครั้งๆ ละ 10 นาที หลังจากนั้นแซ่ใน carbonate buffer (100 mM NaHCO<sub>3</sub>, 1 mM MgCl<sub>2</sub>, pH 9.8) ที่ประกอบด้วย developer solution [5-bromo-4-chloro-3-indolyl phosphate/nitroblue tetrazolium (BCIP/NBT)] จนเห็นแบบ แล้วล้างด้วยน้ำกลัน ตากให้แห้งและเก็บในที่มืด

สำนักหอสมุด มหาวิทยาลัยบูรพา  
ต.แสลงสุข อ.เมือง จ.ชลบุรี 20131  
บทที่ 4

ผลการทดลอง

4.1 ผลการสกัดและวิเคราะห์พลาสมิด pCyaA-RTX และ pET17b vector

จากการสกัดพลาสมิด pCyaA-RTX และ pET17b vector จากเชื้อ *E. coli* สายพันธุ์ JM109 ด้วยชุด GF-1 plasmid extraction Kit และตรวจสอบความถูกต้องของพลาสมิดที่สกัด โดยการตัดด้วย restriction enzyme คือ *Bam*H<sub>I</sub> และ *Hind*III ที่อุณหภูมิ 37°C เป็นเวลา 2 ชั่วโมง นำไปรัน 0.8% (w/v) Agarose gel electrophoresis ผลที่ได้พบว่า พลาสมิด pCyaA-RTX ที่ได้ผ่านการตัดด้วย restriction enzyme *Bam*H<sub>I</sub> และ *Hind*III มีลักษณะ band เดียว คือ ขนาด ~6100 bp สูงกว่า RTX Plasmid ปกติ และ pET17b vector ที่ผ่านการตัดด้วย restriction enzyme *Bam*H<sub>I</sub> และ *Hind*III มีขนาด ~3300 bp (ภาพที่ 4-1)



ภาพที่ 4-1 แสดงผลการวิเคราะห์พลาสมิด pCyaA-RTX และ pET17b vector ด้วย 0.8% (w/v)

Agarose gel electrophoresis

โดย Lane M:  $\lambda$ /HindIII marker

Lane 1: pCyaA-RTX plasmids

Lane 2: pCyaA-RTX plasmids ที่ตัดด้วยเอนไซม์ *Bam*H<sub>I</sub> และ *Hind*III

Lane 3: pET17b vector

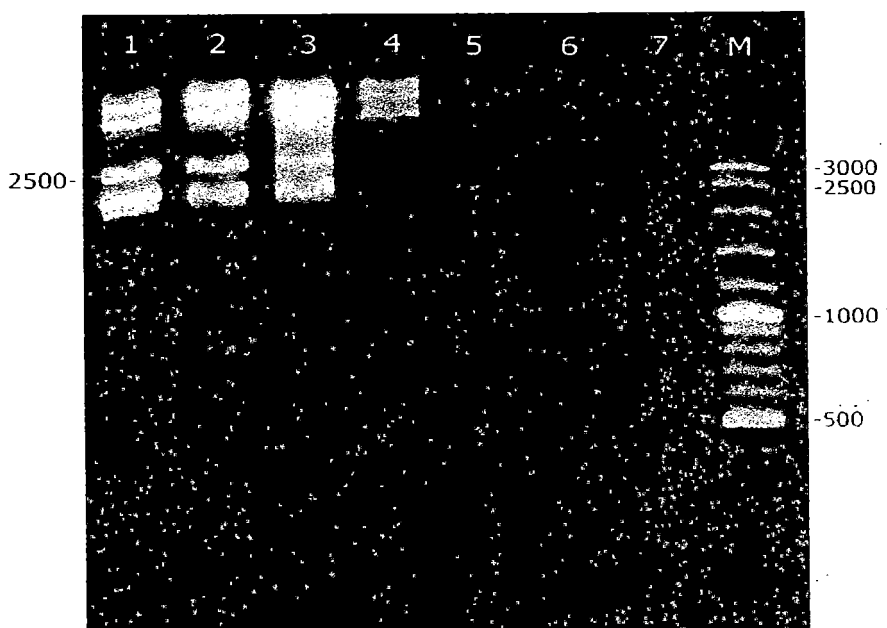
Lane 4: pET17b vector ที่ตัดด้วยเอนไซม์ *Bam*H<sub>I</sub> และ *Hind*III

616.204  
96645n 23

395615

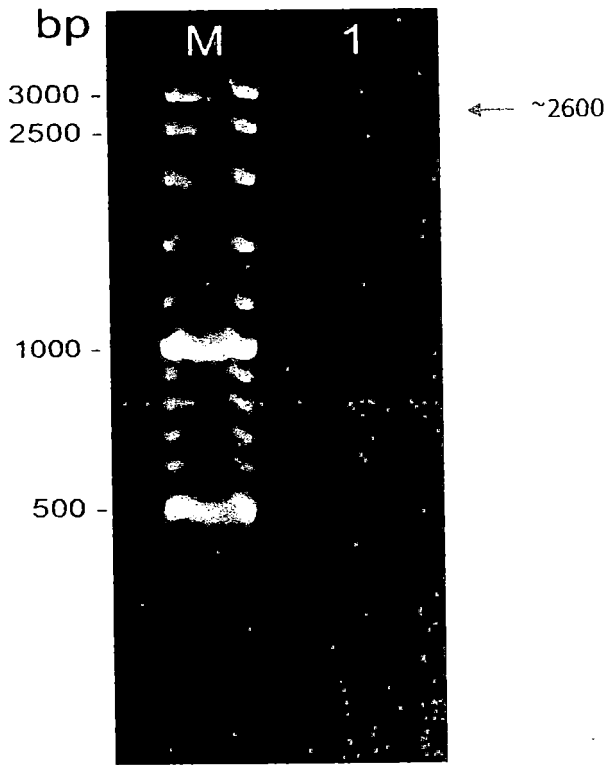
#### 4.2 ผลการสร้างยีน *cyaA-RTX* ที่ขาดส่วน C-terminal region โดยวิธี PCR

นำพลาสมิด pCyaA-RTX ที่สกัดได้ใช้เป็น DNA templateในการสังเคราะห์ยีน *cyaA-RTX* ที่ขาดส่วนของ C-terminal secretion signal (truncate gene ขนาด ~2560 bp) โดยออกแบบ forward primer: 5'-GATATACATATGGCCAATTGGAC-3' และ reverse primer: 5'-CCGCCCGGATCCT AGATCGT -3' ตามลำดับ ผ่านปฏิกิริยาลูกลูโซ่โพลิเมอเรส โดยใช้อุณหภูมิในขั้นตอน annealing (Ta) แบบ gradient ที่ 50-60°C จำนวน 30 รอบ และทำการวิเคราะห์ขนาดของ PCR products ประมาณ 2560 bp. ที่ได้ ด้วย 0.8% (w/v) Agarose gel electrophoresis ซึ่งสามารถพบแทบ PCR products ในช่วง  $T_a = 50-55^{\circ}\text{C}$  product (ภาพที่ 4-2) โดยเลือกผลของ Band PCR product ที่  $T_a = 52^{\circ}\text{C}$  และตัดเจลเฉพาะแบบที่ขนาด ~2600 bp และสกัด DNA ออกจากเจล (ภาพที่ 4-3)



ภาพที่ 4-2 ตรวจสอบ PCR products ที่ได้ เมื่อใช้  $T_a$  gradient ที่ 50-60°C ด้วย 1% (w/v) Agarose gel electrophoresis

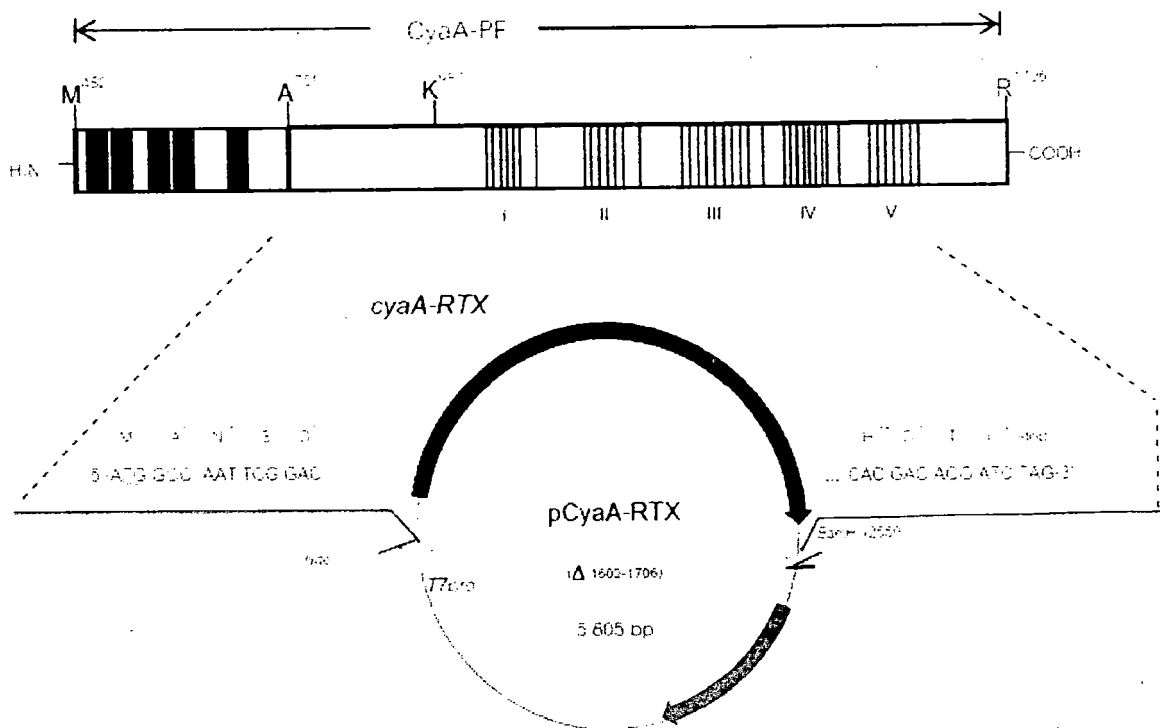
โดย	Lane M: VC 100 bp marker	Lane 4: PCR products ที่ $56.8^{\circ}\text{C}$
	Lane 1: PCR products ที่ $50.2^{\circ}\text{C}$	Lane 5: PCR products ที่ $59.1^{\circ}\text{C}$
	Lane 2: PCR products ที่ $52.0^{\circ}\text{C}$	Lane 6: PCR products ที่ $60.0^{\circ}\text{C}$
	Lane 3: PCR products ที่ $54.4^{\circ}\text{C}$	Lane 7: Negative control



ภาพที่ 4-3 แสดง Purified  $\sim$ 2600 bp PCR products ที่ได้จากปฏิกิริยาลูกโซ่โพลิเมอเรส เมื่อใช้  $T_a$  ที่  $52^\circ\text{C}$  วิเคราะห์ด้วย 0.8% (w/v) Agarose gel electrophoresis  
โดย Lane M: VC 100 bp marker  
Lane 1: Purified  $\sim$ 2600 bp PCR products ที่  $T_a = 50.2^\circ\text{C}$

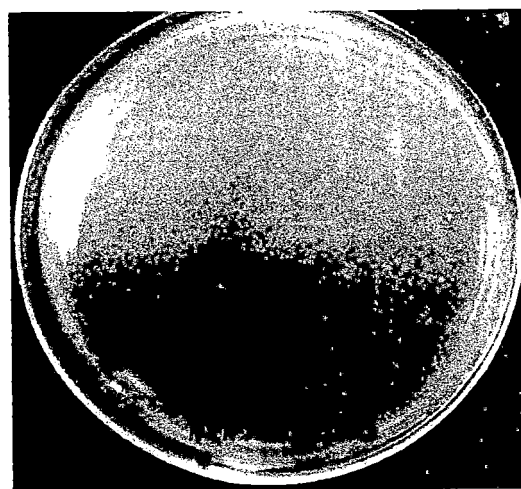
#### 4.3 ผลการสร้าง pCyaA-RTX $\Delta$ 1602-1706

ชิ้นส่วนของ PCR products ที่คาดว่าเป็นยีน cyaA-RTX  $\Delta$ 1602-1706 (Deletion gene) ที่มี ลำดับเบส 2559 bp. ที่สามารถอ่านรหัสจากกรดอะมิโนที่ตำแหน่ง A<sup>751</sup> ถึง I<sup>1601</sup> ของโปรตีนพิช CyaA เฉพาะส่วน RTX region ที่ตัดชิ้นส่วนทางท้าย C-terminal region ออก ซึ่งมีตำแหน่งที่สามารถตัดด้วย NdeI และ BamHI ที่ตำแหน่งปลาย 5' และ 3' จากการออกแบบด้วย forward และ reverse primers ตามลำดับ ทำให้สามารถตัดต่อลงใน pET17b vector ที่ตัด restriction enzymes ณ. ตำแหน่งเดียวกัน ด้วยการทำ Ligation เป็นผลทำให้สามารถสร้าง recombinant clone ของ pCyaA-RTX  $\Delta$ 1602-1706 ขนาด 5,805 bp. ได้ ดังแสดงภาพที่ 4-4



ภาพที่ 4-4 แสดงพลาสมิคกลาจายพันธุ์ pCyaA-RTX ( $\Delta$  1602-1706) ที่ตัดตัวແղ່ນ່າງທຳນັກ C-terminus

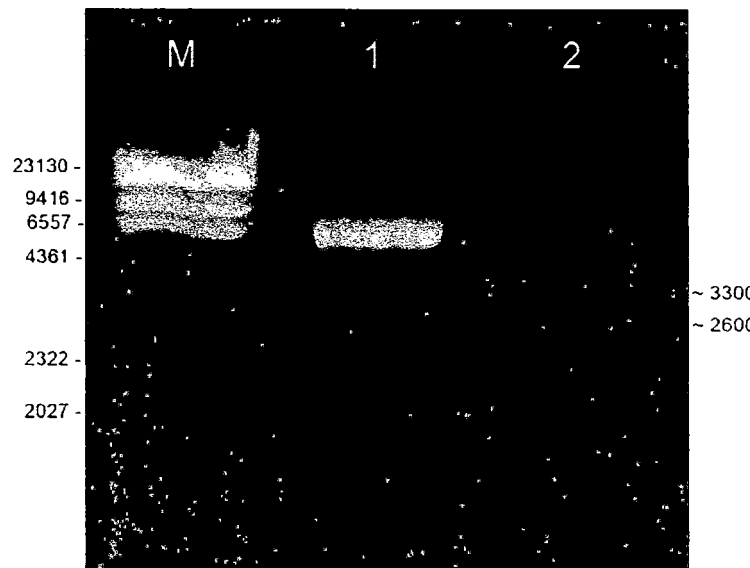
นำ Ligation ที่ได้ มา transform เข้าสู่ *E. coli*สายพันธุ์ JM109 พบໂຄໂລນີ້ສາມາດເຈົ້າຍຸບນ LA ທີ່ມີ Ampicillin 100  $\mu\text{g}/\text{ml}$  ປະມານ 10 ໂຄລນ (ภาพที่ 4-5) ทำการคັດເລືອກ Recombinant clones ທັ້ງໝົດ ແລະ ຕວບສອບຄວາມຖຸກຕ້ອງຂອງໂຄລນດ້ວຍວິທີ Restriction enzyme analysis ແລະ DNA sequencing



ภาพที่ 4-5 แสดงໂຄລນີ້ເຈົ້າຍຸບນ LA + 100  $\mu\text{g}/\text{ml}$  Amp plate ໃນການຄັດເລືອກ recombinant clones

#### 4.4 ผลการตรวจสอบ Recombinant Clones ด้วยวิธี Restriction enzyme analysis

ตรวจสอบ Recombinant DNA โดยกระบวนการ restriction enzyme *Nde*I และ *Bam*H I analysis ใน lane 2 ของภาพที่ 4-6 พบແກบ DNA 2 แบบ ของ ยีน *cyaA-RTX*  $\Delta$ 1602-1706 ขนาด ~2600 bp. และ แบบ pET17b vector ขนาด ~3300 bp. (ภาพที่ 4-6) เมื่อวิเคราะห์ขนาดของ DNA ที่ได้ด้วย 0.8% (w/v) Agarose gel electrophoresis



ภาพที่ 4-6 แสดงແກบ DNA ที่ได้จากการตรวจสอบ recombinant DNA โดยวิธี Restriction enzyme analysis เมื่อเทียบกับ *Lamda* DNA/*Hind*III Marker เมื่อวิเคราะห์ด้วย 0.8% (w/v) Agarose gel electrophoresis

โดย Lane M: *Lamda* DNA/*Hind*III Marker

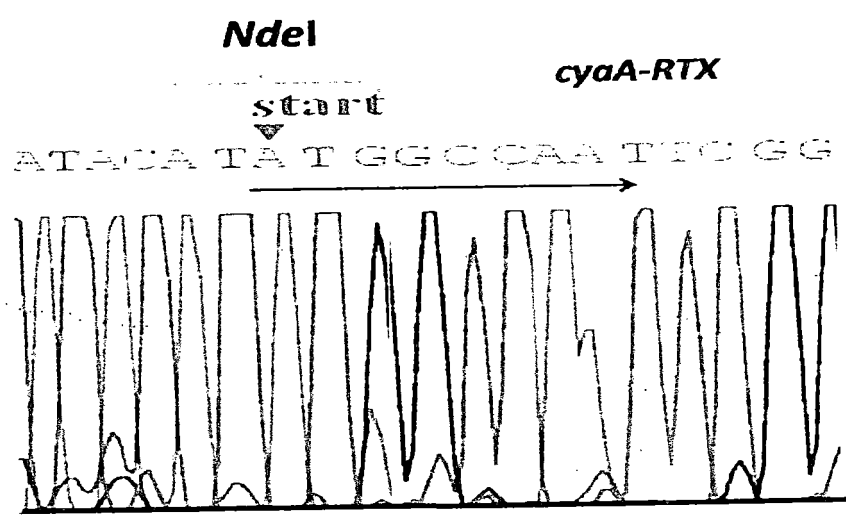
Lane 1: uncut recombinant DNA ขนาด ~5800 bp.

Lane 2: cut recombinant DNA ที่ตัดด้วยเอนไซม์ *Nde*I และ *Bam*H I

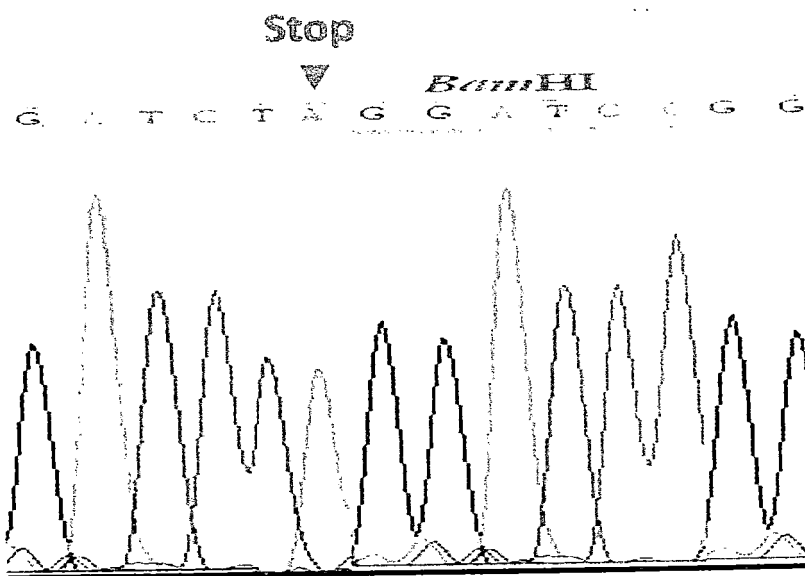
#### 4.5 ผลการตรวจสอบ Recombinant Clones โดยวิธี DNA sequencing

จากการตรวจสอบ Recombinant clone โดยวิธี DNA sequencing พบว่า ลำดับเบสของยีน *cyaA-RTX*  $\Delta$ 1602-1706 ที่ตำแหน่ง ปลาย 5' มีลำดับเบสของ restriction enzyme *NdeI* ในจุดของ Start codon และปลาย 3' มีลำดับเบสของ *BamHI* ที่ตำแหน่งหลัง Stop codon ตามการออกแบบไว้ เมื่อรีฟ์ก้านด้วย (ภาพที่ 4-7) โดยตรวจสอบลำดับเบสตั้งกล่าว จากการใช้ primer: T7 promotor (A) และ T7 terminator (B) ตามลำดับ

A)



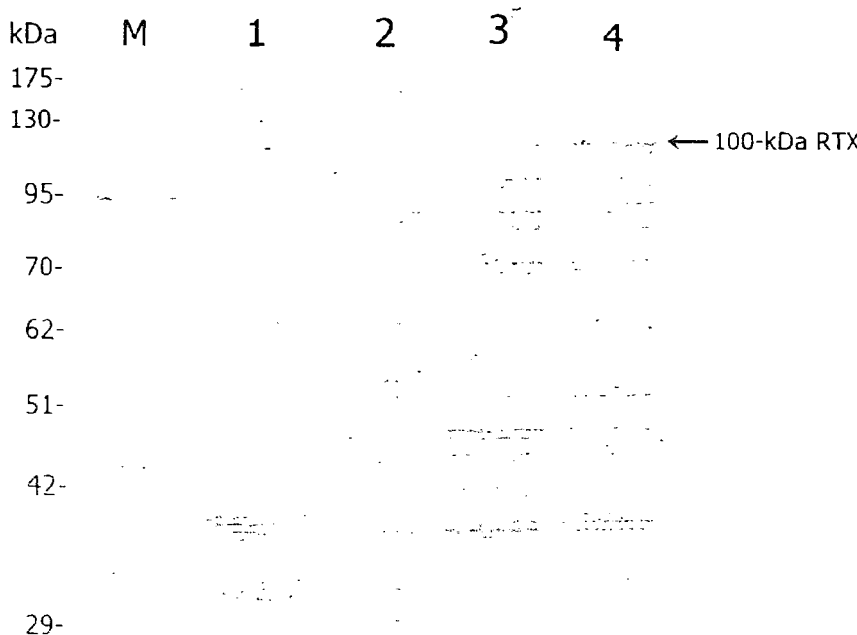
B)



ภาพที่ 4-7 แสดงการตรวจสอบลำดับเบสของยีน *cyaA-RTX*  $\Delta$ 1602-1706 โดยวิธี DNA sequencing analysis ที่มีตำแหน่งของปลาย 5' *NdeI* (A) และปลาย 3' *BamHI* (B)

#### 4.6 ผลการแสดงออกของโปรตีน truncated CyaA-RTX

นำ Recombinant clone ของ pCyaA-RTX $\Delta$ 1602-1706 หรือ truncated CyaA-RTX subdomain ที่ได้ และ pCyaA-RTX-wild type มา retransform เข้า E. coli สายพันธุ์ BL21(DE)pLySS และเห็นว่าสำหรับการแสดงออกของยีน โดยใช้ IPTG inducer ภายใต้การทำงานของ T7 promotor เมื่อเห็นว่าสำหรับการแสดงออกของยีนและนำเซลล์ที่ได้ นำ Packed 0.1 O.D<sub>600</sub> cells มาโหลดบน SDS-PAGE พบว่า โคลน pCyaA-RTX-wild type มีการแสดงออกของโปรตีน CyaA เฉพาะส่วน RTX subdomain ที่มีขนาดประมาณ 100 kDa (ภาพที่ 4-8, Lane 4) และ โคลน pCyaA-RTX $\Delta$ 1602-1706 มีการแสดงออกของโปรตีน truncated CyaA-RTX ที่มีขนาดประมาณ 90 kDa (ภาพที่ 4-8, Lane 3)



ภาพที่ 4-8 แสดง SDS-PAGE (Coomassie blue-stained 10% gel) ของโปรตีน CyaA-RTX-wild type และโปรตีน truncated CyaA-RTX

โดยที่ Lane M: prestained protein marker

Lane 1: pET17b vector

Lane 2: uninduced RTX

Lane 3: induced truncated RTX protein

Lane 4: induced RTX-wild type proteins

นอกจากนี้ ยังพบว่า น้ำหนักโมเลกุลของโปรตีนที่แสดงออกของ truncated CyaA-RTX มีความสอดคล้องกับน้ำหนักโมเลกุลที่ทำนายโดยใช้โปรแกรม Compute pI/Mw จากฐานข้อมูลทาง Bioinformatics เมื่อคิดจากตำแหน่งของกรดอะมิโน  $M^{751}$  ถึง  $I^{1602}$  รวมทั้งสิ้น 852 กรดอะมิโน ซึ่งมีค่า Theoretical pI/Mw เท่ากับ 4.24 / 88612.23 Da. แสดงดังภาพที่ 4-9

### Compute pI/Mw

Theoretical pI/Mw (average) for the user-entered sequence:

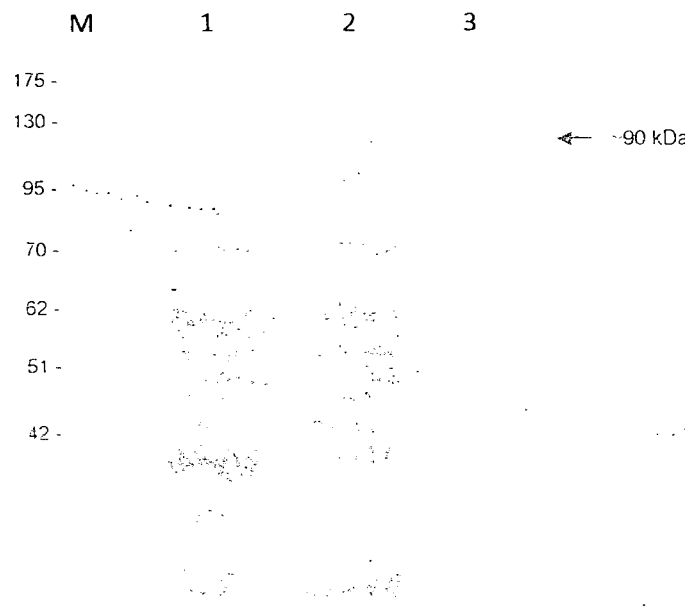
10	20	30	40	50	60
MANSDGLRKM LADLQAGWNNA SSVIGVQTTE ISKSALELAA ITGNADNLKS VDVFVDRREVQ					
70	80	90	100	110	120
GERVAGQPVV LDVAAGGIDI ASRKGERP AL TFITPLAAPG EEQRRRTKTG KSEFTTFVEI					
130	140	150	160	170	180
VGKQDRWRIR DGAADTTIDL AKVVSQQLV DA NGVLKHSIKL DVIGGDGDDV VLNASRIHY					
190	200	210	220	230	240
DGGAGTNTVS YAALGRQDSI TVEADGER FN VRKOLNNANV YREGVATOTT AYGKRTEVQ					
250	260	270	280	290	300
YRHVELARVG QLVEVDTLEH VOHIIGGA GN DSITGNAHDN FLAGGSGDDR LDGGAGNDL					
310	320	330	340	350	360
VGGEQONTVI GGAGDDVFLQ DLGVWSNQ LD GGAGVETVKY NVHOPSEERL ERMGDTGIHA					
370	380	390	400	410	420
DLQKGTVKEKW PALNLFSVDH VKNIENLHIGS RLNDRIAGDD QDNELWGHDG NDTIRGRGGD					
430	440	450	460	470	480
DILRGGLGLD TLYGEDGNDI FLODDETWS D IDGGAGLD T VDYSAMIHPG RIVAPHEYGF					
490	500	510	520	530	540
GIEADLSREW VRKASALGVD YYDNVRN WEN VIGTSMKDVL IGDAQANTLM GQGGDDTVRS					
550	560	570	580	590	600
GDGDDLLFGG DGNDMLYGEA GNDTLYGG GLD DBTLEGAGN DWFGQTQARE HDVLRGGDGV					
610	620	630	640	650	660
DTVDYSQTGA HAGIAAGRIG LGILADLGAG RVDKLGEAGS SAYDTVSGIE NVVGTTELADR					
670	680	690	700	710	720
ITGDAQANVL RGAGGADVLA GGEGDDVLLG GDGDDOLSGD AGRDRILYGEA GDDWFFQDAA					
730	740	750	760	770	780
MAGNIILDGGD GRDTVDFSGP GRGLDAGA KG VFLSLGKGFA SLMDEPETS N VLRN NIEN AVG					
790	800	810	820	830	840
SARDDVLLGD AGANVNLNGLA GNDVLSGGAG DDVLLGDEGS DLLSGDAGND DLFGGQGDDT					
850 YLFGVGYGHD TI					

Theoretical pI/Mw: 4.24 / 88612.23

ภาพที่ 4-9 แสดงผลการทำนายน้ำหนักโมเลกุลของโปรตีนพิช CyaA-RTX<sub>751-1602</sub> จากคำนั้นกรดอะมิโนด้วยโปรแกรม Compute pI/Mw

#### 4.7 ผลการแสดงรูปแบบของโปรตีนพิษ truncated CyaA-RTX

เมื่อเห็นว่าได้เกิดการแสดงออกของยีน โดยใช้ IPTG inducer และ Recombinant protein ที่ผลิตได้จะถูกตรวจสอบรูปแบบ folding หรือ form ของโปรตีนที่ผลิต โดยนำเซลล์ที่เห็นว่าได้เกิดการแสดงออกของยีนไป Sonicate ให้เซลล์แตก และนำสารละลายโปรตีนที่ได้ไปบีบี้ที่ความเร็วรอบ 10,000Xg เพื่อยับเบนโปรตีนที่พบก่อนและหลังบีบ จากผลการทดลองพบว่า โปรตีน truncated CyaA-RTX อยู่ในรูปละลายน้ำ หรือ Soluble form จากที่เห็นแบบใน fraction ของ supernatant แสดงดังภาพที่ 4-10, lane 2



ภาพที่ 4-10 แสดง SDS-PAGE (Coomassie blue-stained 10% gel) ของลักษณะรูปแบบโปรตีน truncated CyaA-RTX ที่ได้

โดย Lane M: prestained protein marker

Lane 1: Total ของ Truncated CyaA-RTX

Lane 2: Supernatant fractions ของ Truncated CyaA-RTX

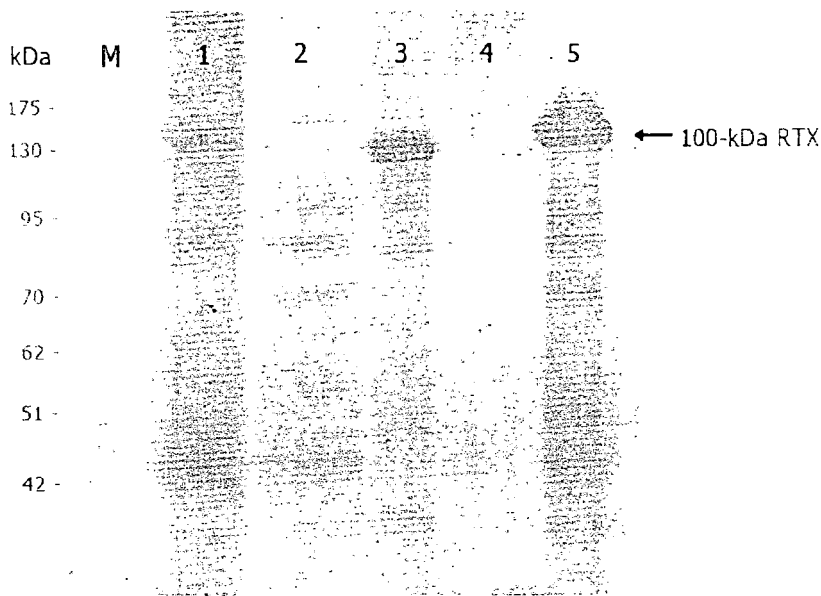
Lane 3: Pellet fractions ของ Truncated CyaA-RTX

## 4.8 ผลการทดสอบความสามารถของโปรตีนในการจับกลุ่มเซลล์เป้าหมาย

นำ Crude lysate ของ truncated CyaA-RTX / wild type ปริมาณอย่างละ 150  $\mu$ l (~1 mg) มาผสมกับเซลล์เม็ดเลือดที่ละลายใน 1XTBS buffer ทึ้งไว้ให้เกิดปฏิกิริยาที่ 37°C เป็นเวลา 4 ชั่วโมง นำไปปั่นแยก fraction ที่ความเร็วรอบ 12000Xg ซึ่งเป็นความเร็วรอบที่ทำให้เซลล์เม็ดเลือดแตกตะกอนหรืออยู่ในชั้นของ pellet หากโปรตีน RTX สามารถจับกับเซลล์เม็ดเลือด ก็จะพบแบบโปรตีนที่ชั้นของ pellet นี้พิสูจน์ตำแหน่งของแบบโปรตีน RTX ที่พบด้วย SDS-PAGE และ Western blot analysis

### 4.8.1 ความสามารถของโปรตีน WT CyaA-RTX ในการจับเซลล์เม็ดเลือดแดงแกะ

ผลของ SDS-PAGE analysis ในการจับระหว่างโปรตีน WT CyaA-RTX กับเซลล์เม็ดเลือดแดงแกะ พบรูปแบบขนาด ~100 kDa ในชั้นของ pellet (ภาพที่ 4-11A, Lane 3) ที่แสดงให้เห็นถึงการจับกับเม็ดเลือดแดงจำนวนมากในชั้นของ Pellet เมื่อเปรียบเทียบในส่วนของ Total fraction (ภาพที่ 4-11A, Lane 1) และไม่พบแบบโปรตีน ~100 kDa ดังกล่าวในชั้นของ Supernatant (ภาพที่ 4-11A, Lane 2) ซึ่งแสดงให้เห็นถึงความสามารถในการจับของโปรตีน WT CyaA-RTX กับเม็ดเลือดแดงแกะได้เป็นอย่างดี



ภาพที่ 4-11A แสดง SDS-PAGE (Coomassie blue-stained 10% gel) ต่อความสามารถของโปรตีน WT CyaA-RTX ในการจับกับเซลล์เม็ดเลือดแดงแกะ

โดย Lane M : prestained protein marker

Lane 1 : Total sRBCs reactions ของ WT CyaA-RTX

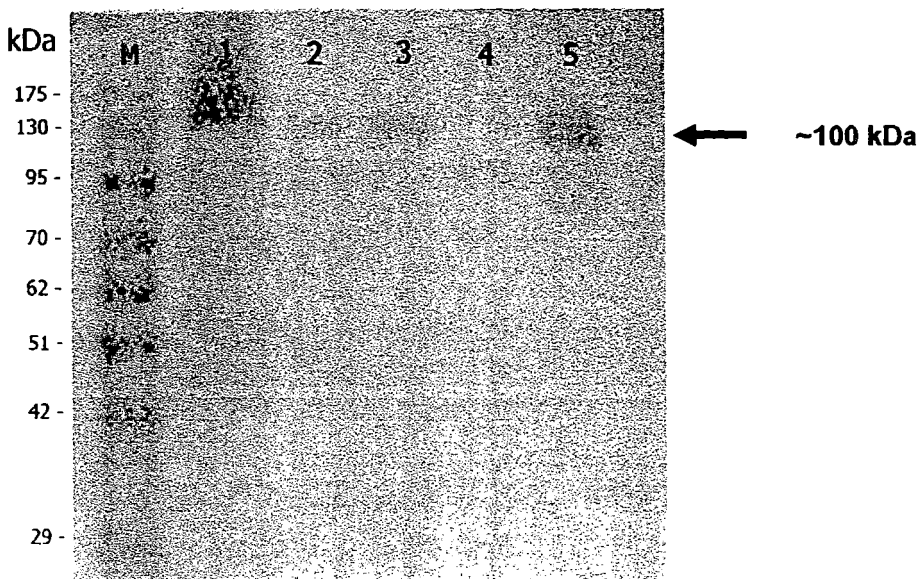
Lane 2 : Supernatant fractions ของ WT CyaA-RTX

Lane 3 : Pellet fractions ของ WT CyaA-RTX

Lane 4 : Pellet fraction ของ lysate-free sRBCs (Negative control)

Lane 5 : Crude cell lysate ของ WT CyaA-RTX

พิสูจน์ตำแหน่งของแบนโปรตีนขนาด ~100 kDa ด้วย anti-RTX polyclonal antibody ที่จำเพาะกับส่วนของ RTX epitope ของ CyaA พบว่าแบนโปรตีนที่ตำแหน่งนั้น คือ RTX toxin เนื่องจากผลของ Western blot analysis ปรากฏแบนโปรตีนที่ตำแหน่งเดียวกันกับ SDS-PAGE (ภาพที่ 4-11B)



ภาพที่ 4-11B แสดง Western blot analysis ของแบนโปรตีน WT CyaA-RTX ต่อความสามารถ ใน การจับกับเซลล์เม็ดเลือดแดงแกะ ที่ได้จาก Corresponding gel โดย

Lane M: prestained protein marker

Lane 1: Total sRBCs reactions ของ WT CyaA-RTX

Lane 2: Supernatant fractions ของ WT CyaA-RTX

Lane 3: Pellet fractions ของ WT CyaA-RTX

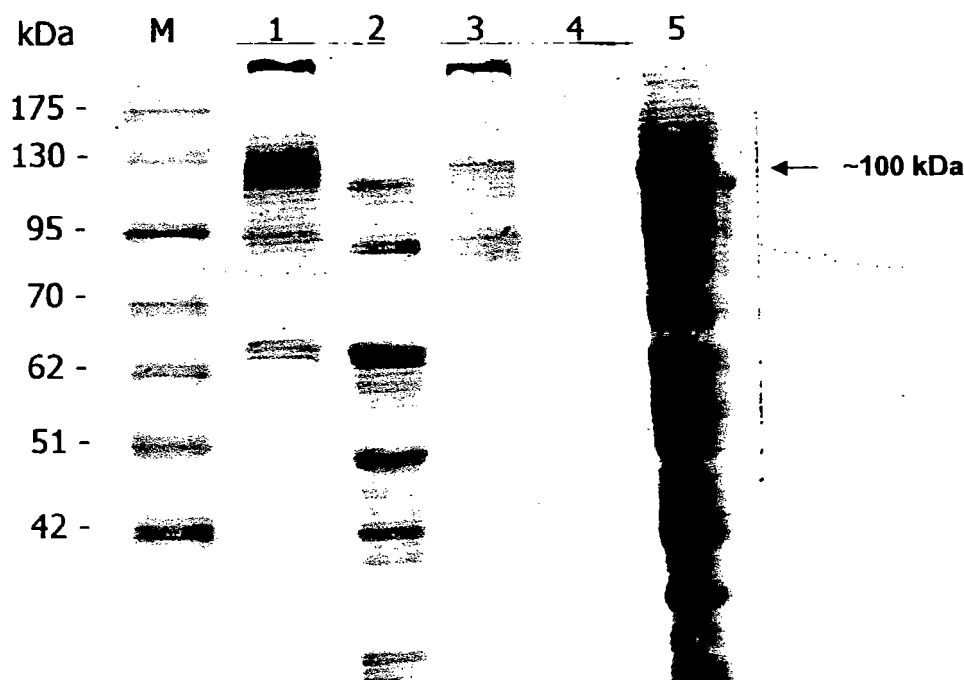
Lane 4: Pellet fraction ของ lysate-free sRBCs (Negative control)

Lane 5: Crude cell lysate ของ WT CyaA-RTX

ผลการเปรียบเทียบความสามารถของโปรตีน WT CyaA-RTX ในการจับกับตัวรับนี่พิวเซลล์เป้าหมาย พบร่วมกับ โปรตีน WT CyaA-RTX มีประสิทธิภาพในการจับกับเซลล์เม็ดเลือดแดงแกะได้เป็นอย่างดี แสดงดังภาพที่ 4-11

#### 4.8.2 ความสามารถของโปรตีน WT CyaA-RTX ในการจับกับเซลล์เม็ดเลือดขาวคน

ผลของ SDS-PAGE analysis ในการจับระหว่างโปรตีน WT CyaA-RTX กับเซลล์เม็ดเลือดขาวคน พบแบบขนาด ~100 kDa ในชั้นของ pellet (ภาพที่ 4-12A, Lane 3) ที่แสดงให้เห็นถึงการจับกับเม็ดเลือดขาวในชั้นของ Pellet เมื่อเปรียบเทียบในส่วนของ Total fraction (ภาพที่ 4-12A, Lane 1) และไม่พบแนวโปรตีน ~100 kDa ดังกล่าวในชั้นของ Supernatant (ภาพที่ 4-12A, Lane 2) ซึ่งแสดงให้เห็นถึงความสามารถในการจับของโปรตีน WT CyaA-RTX กับเม็ดเลือดขาวคนได้เป็นอย่างดี



ภาพที่ 4-12A แสดง SDS-PAGE (Coomassie blue-stained 10% gel) ต่อความสามารถของโปรตีน WT CyaA-RTX ในการจับกับเซลล์เม็ดเลือดขาวคน

โดย Lane M: prestained protein marker

Lane 1: Total hWBCs reactions ของ WT CyaA-RTX

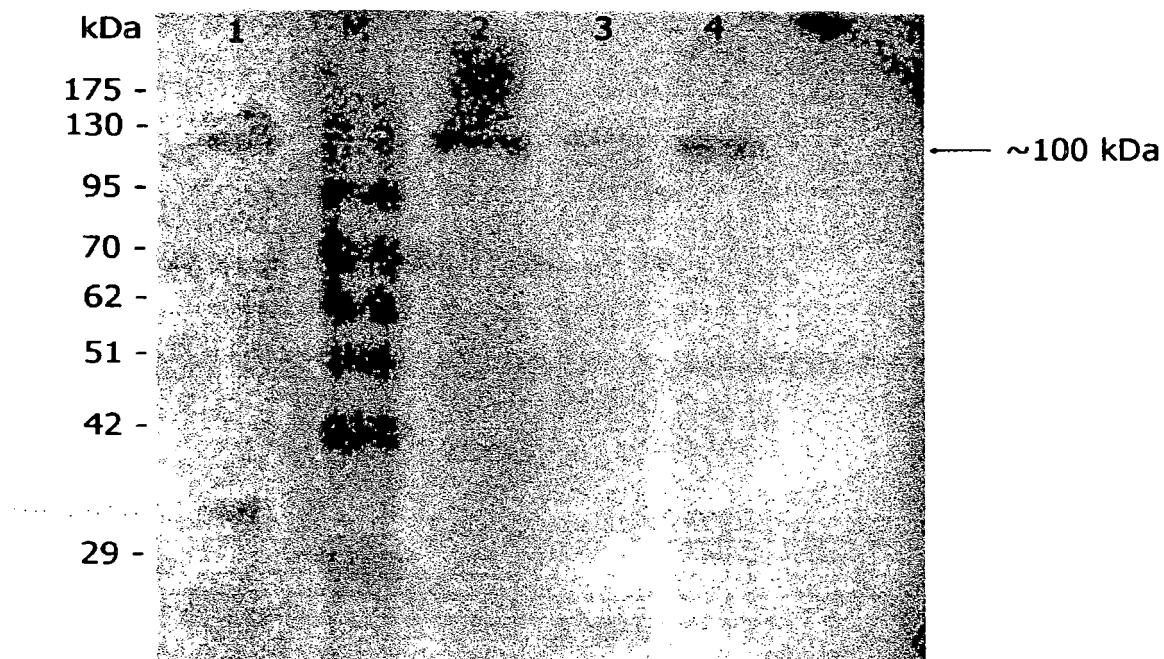
Lane 2: Supernatant fractions ของ WT CyaA-RTX

Lane 3: Pellet fractions ของ WT CyaA-RTX

Lane 4: Pellet fraction ของ lysate-free hWBCs (Negative control)

Lane 5: Crude cell lysate ของ WT CyaA-RTX

พิสูจน์ตำแหน่งของแบนโปรตีนขนาด ~100 kDa ด้วย anti-RTX polyclonal antibody ที่จำเพาะกับส่วนของ RTX epitope ของ CyaA พบว่าแบนโปรตีนที่ตำแหน่งนั้น คือ RTX toxin เนื่องจากผลของ Western blot analysis ปรากฏแบนโปรตีนที่ตำแหน่งเดียวกันกับ SDS-PAGE (ภาพที่ 4-12B)

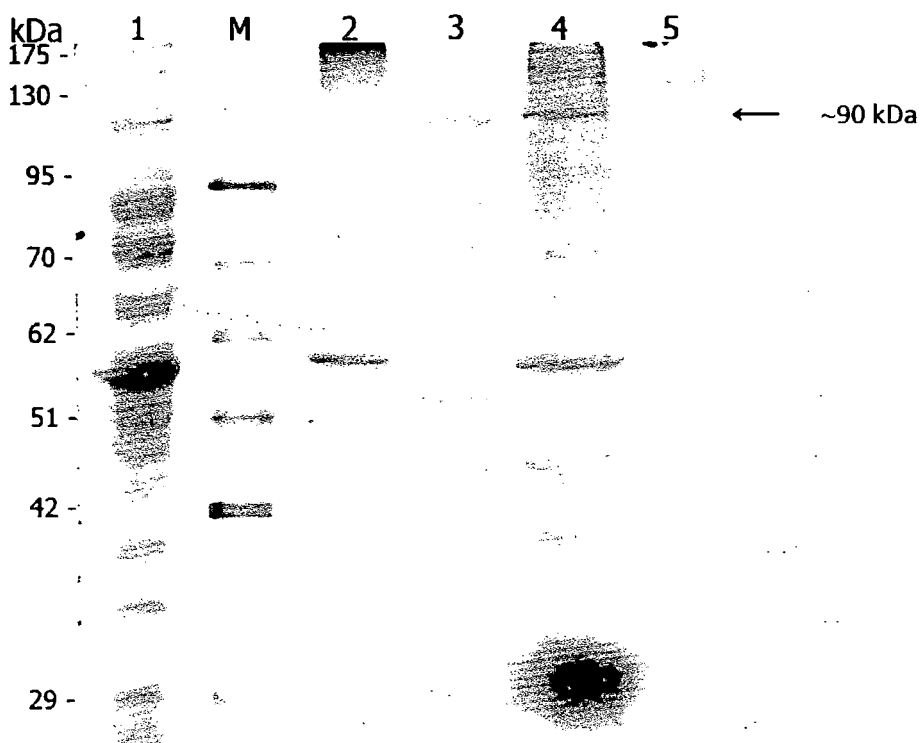


ภาพที่ 4-12B แสดง Western blot analysis ของแบนโปรตีน WT CyaA-RTX ต่อความสามารถ ใน การ จับกับเชลล์เม็ดเลือดขาวคน ที่ได้จาก Corresponding gel โดย Lane M: prestained protein marker  
 Lane 1: Crude cell lysate ของ RTX  
 Lane 2: Total hWBCs reactions ของ RTX  
 Lane 3: Supernatant fractions ของ RTX  
 Lane 4: Pellet fractions ของ RTX  
 Lane 5: Pellet fraction ของ lysate-free hWBCs (Negative control)

ผลการเปรียบเทียบความสามารถของ โปรตีน WT CyaA-RTX ในการจับตัวรับบนผิว เชลล์เป้าหมาย พบร่วม โปรตีน WT CyaA-RTX มีประสิทธิภาพในการจับกับเชลล์เม็ดเลือดขาวคนได้เป็นอย่างดี แสดงดังภาพที่ 4-12

#### 4.8.3 ความสามารถของโปรตีน Truncated CyaA-RTX ในการจับเซลล์เม็ดเลือดแดงแกะ

ผลของ SDS-PAGE analysis ในการจับระหว่างโปรตีน Truncated CyaA-RTX กับเซลล์เม็ดเลือดแดงแกะ พบว่าในชั้นของ Pellet (ภาพที่ 4-13A, Lane 2) ไม่พบแบนขนาด ~90 kDa ที่แสดงให้เห็นถึงการจับกับเซลล์เม็ดเลือดแดง เมื่อเทียบกับชั้นของ Supernatant (ภาพที่ 4-13A, Lane 3) และชั้นของ Total fractions (ภาพที่ 4-13A, Lane 4) ซึ่งแสดงให้เห็นถึงความสามารถในการจับกับตัวรับบนเม็ดเลือดแดงแกะได้ไม่ดี เมื่อทำการตัดชิ้นส่วนทางด้าน C-terminal region ของโปรตีน CyaA-RTX



ภาพที่ 4-13A แสดง SDS-PAGE (Coomassie blue-stained 10% gel) ต่อความสามารถของโปรตีน

Truncated CyaA-RTX ในการจับกับเซลล์เม็ดเลือดแดงแกะ

โดย Lane M: prestained protein marker

Lane 1: Crude cell lysate ของ Truncated CyaA-RTX

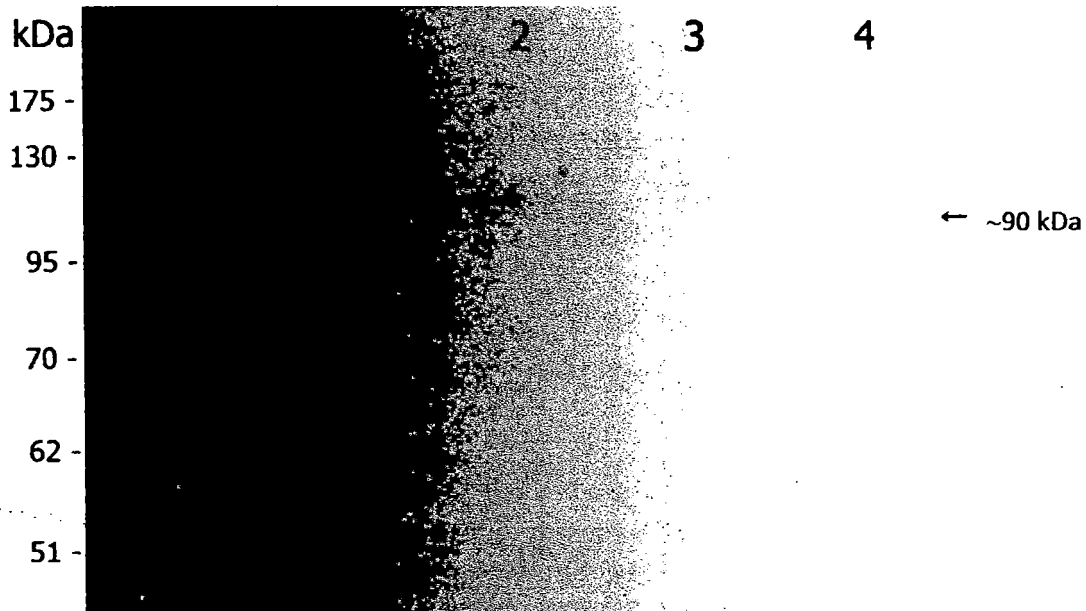
Lane 2: Pellet fractions ของ Truncated CyaA-RTX

Lane 3: Supernatant fractions ของ Truncated CyaA-RTX

Lane 4: Total sRBCs reactions ของ Truncated CyaA-RTX

Lane 5: Pellet fraction ของ lysate-free sRBCs (Negative control)

พิสูจน์ตำแหน่งของแบนโปรตีนขนาด ~90 kDa ด้วย anti-RTX polyclonal antibody ที่จำเพาะกับส่วนของ RTX epitope ของ CyaA พบว่าแบนโปรตีนที่ตำแหน่งนั้น คือ RTX toxin เนื่องจากผลของ Western blot analysis ปรากฏแบนโปรตีนที่ตำแหน่งเดียวกันกับ SDS-PAGE (ภาพที่ 4-13B)



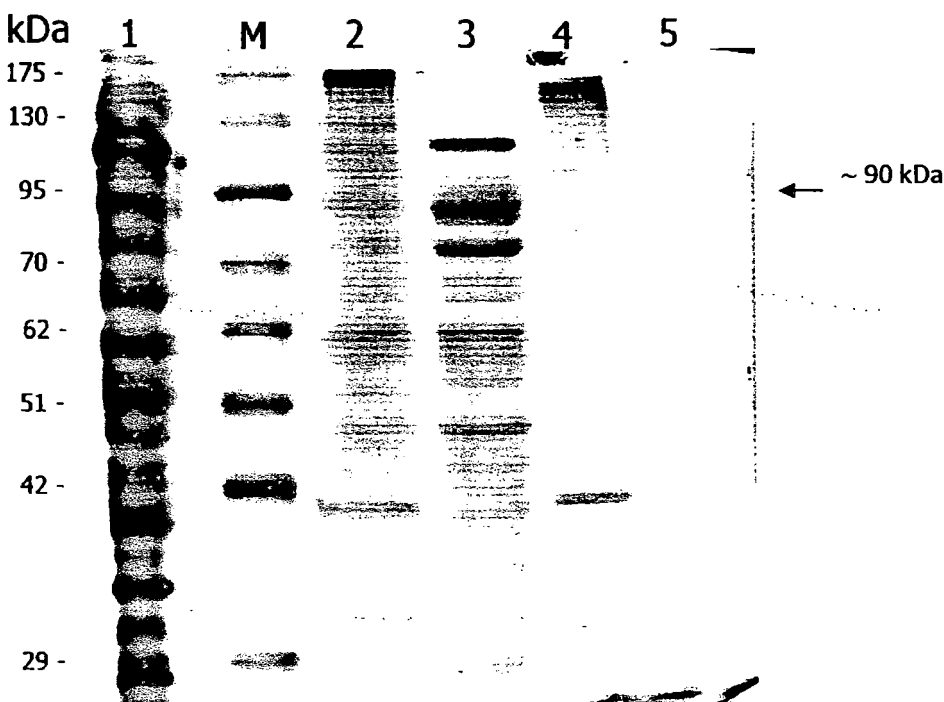
ภาพที่ 4-13B แสดง Western blot analysis ของแบนโปรตีน Truncated CyaA-RTX ต่อความสามารถในการจับกับเซลล์เม็ดเลือดแดงแกะ ที่ได้จาก Corresponding gel โดย

- Lane M: prestained protein marker
- Lane 1: Total sRBCs reactions ของ Truncated CyaA-RTX
- Lane 2: Supernatant fractions ของ Truncated CyaA-RTX
- Lane 3: Pellet fractions ของ Truncated CyaA-RTX
- Lane 4: Crude cell lysate ของ Truncated CyaA-RTX

ผลการเปรียบเทียบความสามารถของโปรตีน Truncated CyaA-RTX ในการจับตัวรับบนผิวเซลล์เป้าหมาย พบว่า เมื่อขาดชิ้นส่วนของ C-terminal region (aa 1602-1706) ทำให้สูญเสียประสิทธิภาพในการจับกับเซลล์เม็ดเลือดแดงแกะ (ภาพที่ 4-13)

#### 4.8.4 ความสามารถของโปรตีน Truncated CyaA-RTX ในการจับเซลล์เม็ดเลือดขาวคน

ผลของ SDS-PAGE analysis ในการจับระหว่างโปรตีน Truncated CyaA-RTX กับเซลล์เม็ดเลือดขาวคน พนบวainชั้นของ Pellet (ภาพที่ 4-14A, Lane 4) ไม่พบแบนขนาด ~90 kDa ที่แสดงให้เห็นถึงการจับกับเซลล์เม็ดเลือดขาวคน เมื่อเทียบกับชั้นของ Supernatant (ภาพที่ 4-14A, Lane 3) และชั้นของ Total fractions (ภาพที่ 4-14A, Lane 2) ซึ่งแสดงให้เห็นถึงความสามารถในการจับกับตัวรับบนเม็ดเลือดแดงขาวคนได้ไม่ดี เมื่อทำการตัดชิ้นส่วนทางด้าน C-terminal region ของโปรตีน CyaA-RTX



ภาพที่ 4-14A แสดง SDS-PAGE (Coomassie blue-stained 10% gel) การทดสอบความสามารถของ Truncate CyaA-RTX ในการจับต่อมเม็ดเลือดขาวคน

โดย Lane M: prestained protein marker

Lane 1: Crude cell lysate ของ Truncated CyaA-RTX

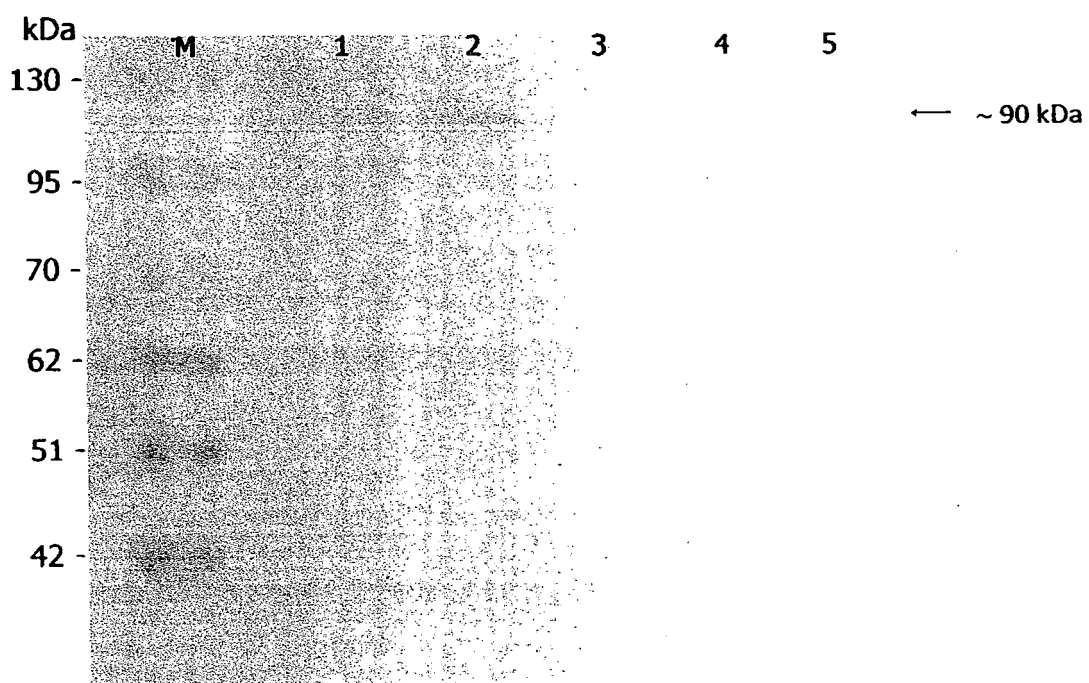
Lane 2: Total hWBCs reactions ของ Truncated CyaA-RTX

Lane 3: Supernatant fractions ของ Truncated CyaA-RTX

Lane 4: Pellet fractions ของ Truncated CyaA-RTX

Lane 5: Pellet fraction ของ lysate-free hWBCs (Negative control)

พิสูจน์ตำแหน่งของแบนโปรตีนขนาด ~90 kDa ด้วย anti-RTX polyclonal antibody ที่จำเพาะกับส่วนของ RTX epitope ของ CyaA พนว่าแบนโปรตีนที่ตำแหน่งนั้น คือ RTX toxin เนื่องจากผลของ Western blot analysis ปรากฏแบนโปรตีนที่ตำแหน่งเดียวกันกับ SDS-PAGE (ภาพที่ 4-14B)



ภาพที่ 4-14B แสดง Western blot analysis ของแบนโปรตีน Truncated CyaA-RTX ต่อความสามารถ

ในการจับกับเชลล์เม็ดเลือดขาวคน ที่ได้จาก Corresponding gel

โดย Lane M : prestained protein marker

Lane 1 : Total hWBCs reactions ของ Truncated CyaA-RTX

Lane 2 : Supernatant fractions ของ Truncated CyaA-RTX

Lane 3 : Pellet fractions ของ Truncated CyaA-RTX

Lane 4 : Pellet fraction ของ lysate-free hWBCs (Negative control)

Lane 5 : Crude cell lysate ของ Truncated CyaA-RTX

ผลการเปรียบเทียบความสามารถของโปรตีน Truncated CyaA-RTX ใน การจับตัวรับบนผิวเชลล์เป้าหมาย พนว่า เมื่อขนาดชิ้นส่วนของ C-terminal region (aa 1602-1706) ทำให้สูญเสียประสิทธิภาพในการจับกับเชลล์เม็ดเลือดขาวคน (ภาพที่ 4-14)

## บทที่ 5 อภิรายผล

ในการวิจัยนี้ มีวัตถุประสงค์เพื่อตัดชิ้นส่วนของยีนทางด้าน C-terminal region จากพลาสมิดต้นแบบ pCyaA-RTX ให้ได้โปรตีน CyaA เฉพาะส่วนของ Gly-Asp repetitive blocks เพื่อศึกษาคุณลักษณะการทำงานของกรดอะมิโนทางด้าน C-terminus ของ RTX subdomain ต่อการจับกับเซลล์เป้าหมาย คือ เม็ดเลือดแดงแกะ และเม็ดเลือดขาวคน โดยเบรียบเทียบประสิทธิภาพในการจับกับเซลล์เป้าหมาย ระหว่างโปรตีน WT CyaA-RTX กับ Truncated CyaA-RTX

### 5.1 การสร้าง Recombinant clone ของโปรตีนพิช pCyaA-RTX $\Delta$ 1602-1706

จากการสักด้วยวิเคราะห์พลาสมิด pCyaA-RTX และ pET17b vector จาก *E. coli* สายพันธุ์ JM109 ที่ได้จาก ดร.พิชญา พจนโพธิฯ คณะแพทย์ศาสตร์ ศิริราช ด้วยชุด GenElute™ Plasmid Miniprep Kit และวิเคราะห์ด้วย 0.8% (w/v) Agarose gel electrophoresis พบว่า แคน DNA ของ pCyaA-RTX และ pET17b vector ที่สักด้วย primers ของ DNA อยู่ในช่วง 50 – 100 ng เมื่อเทียบกับ *Lamda DNA/HindIII* Marker (38)

จากการสร้างยีน pCyaA-RTX เฉพาะส่วน Gly-Asp repetitive blocks ที่ขาดส่วนของ C-terminal secretion signal โดยวิธี Polymerase Chain Reaction (PCR) จากการออกแบบ primer และ amplify gene (37) ผลของ PCR product เกิดขึ้นได้ เมื่อใช้อุณหภูมิในขั้นตอน annealing (Ta) ที่ 52°C ได้แคน DNA ลักษณะ linear form ขนาดประมาณ 2600 bp. และ เกิด non-specific band ขึ้น เมื่อเทียบกับ 100 bp Ladder DNA Marker จึงทำการ purify PCR band ที่ต้องการให้บริสุทธิ์มากยิ่งขึ้น ด้วยวิธีการตัดแบบ และ elute DNA ออกจากเจล ซึ่ง DNA ที่ได้ในตอนแรกยังมีลักษณะเป็น blunt end หรือ DNA ปลายทุ่ง ซึ่งไม่สามารถเชื่อมต่อเข้ากับ vector ได้ จึงต้องนำ DNA insert และ vector มาตัดด้วย *NdeI* และ *BamHI* ซึ่งเป็น restriction enzyme ทำให้ได้ DNA insert และ vector ที่มีลักษณะเป็น sticky end ที่สามารถเชื่อมต่อกันได้ด้วย DNA ligase ได้เป็น Recombinant plasmid ขนาด ~ 5.8 kbp. โดยวิธี DNA cloning (38)

Recombinant plasmid ที่ได้ เมื่อนำเข้าสู่ *E. coli* สายพันธุ์ JM109 จะได้โคลนแบคทีเรียที่ประกอบกับ vector ที่มียีนดีออย่า Ampicillin (antibiotic resistant gene: Amp<sup>R</sup>) ทำให้สามารถคัดเลือก host cell ที่มี vector นี้ได้ด้วย LB agar plate ที่มี 100 μg/ml Ampicillin (38, 40) จึงทำการคัดเลือกโคลน จำนวน 10 โคลน ที่เป็น isolated colony มาสักด้วย rDNA plasmid ด้วยชุด GF-1 plasmid

extraction Kit และนำไปตรวจสอบ โดยวิธี restriction enzyme analysis ด้วยเอนไซม์ *Nde*I และ *Bam*H I เพื่อเป็นการตรวจสอบเมืองตัน ซึ่งได้ Recombinant plasmid เพียง 3 โคลนจาก 10 โคลน สามารถบอกได้ว่าขั้นตอนการ ligation อาจใช้สัดส่วนระหว่าง insert และ vector ในปริมาณที่ไม่เหมาะสม (38)

## 5.2 คุณลักษณะของโปรตีน Truncated CyaA-RTX

จากนั้นนำ recombinant plasmid ที่ได้มาถ่ายโอน (transform) ลงใน *E. coli* สายพันธุ์ BL21(DE3)pLysS ซึ่งเป็นสายพันธุ์ที่มีประสิทธิภาพทำให้เกิดการแสดงออกของยีน (expression) สูง โดยมีคุณสมบัติของ λ-DE3 ที่เป็นส่วนของยีน T7 bacteriophage I ทำให้ถอดรหัส T7 RNA polymerase ภายใต้การควบคุมของ lac UV5 promoter และมี pLysS plasmid ที่สร้างเอนไซม์ T7 lysozyme ออกมาอย่างต่อเนื่อง T7 RNA polymerase ทำให้ในสภาวะที่ไม่ถูกกระตุ้นด้วย IPTG ก็ไม่มีการสังเคราะห์โปรตีนออกมา โปรตีนจะถูกสังเคราะห์ก็ต่อเมื่อมีการกระตุ้นด้วย IPTG เท่านั้น (43)

ในการทดลองครั้งนี้กระตุ้นการแสดงออกของยีน *cyaA-RTX* ด้วย IPTG ที่ความเข้มข้น 0.1 mM อุณหภูมิ 37°C เป็นเวลา 6 ชั่วโมง ซึ่งเป็นสภาวะที่ใช้ในการแสดงของโปรตีนพิช CyaA-PF ตามงานวิจัยของ Powthongchin และ Angsuthanasombat, 2008 (44) และ Pichaya Pojanapotha et al., 2011 (7) ผลการแสดงออกของยีนเมื่อตรวจสอบด้วย SDS-PAGE เทียบกับ Chromatin Prestained protein ladder, pET17b vector, uninduced/ induced CyaA-RTX พบร่วม ในช่วงการกระตุ้นการแสดงออก (induce) มีแถบโปรตีนของ 100-kDa ของ CyaA-RTX ซึ่งทราบนำหนักไม่เท่ากันที่แน่นอนอยู่แล้ว ภายใต้สภาวะระบบของ Protein expression นี้ (7)

ส่วน pCyaA-RTXΔ1602-1706 ในช่วงที่มีการเหนี่ยวนำ (induce) พบร่องโปรตีน truncated CyaA-RTX ขนาดประมาณ 90 kDa เช่นกัน เมื่อเทียบกับโปรตีนมาตรฐาน และไม่พบแถบโปรตีนขนาดดังกล่าว ในช่วงที่ไม่มีการเหนี่ยวนำหรือกระตุ้น (uninduce) ซึ่งนำหนักไม่เท่ากันของโปรตีนที่ได้นี้ ใกล้เคียงกับค่าน้ำหนักไม่เท่ากันที่ได้จากการคำนวณโดยใช้โปรแกรม Compute pi/Mw จากฐานข้อมูลทาง Bioinformatics ([http://web.expasy.org/cgi-bin/compute\\_pi/pi\\_tool](http://web.expasy.org/cgi-bin/compute_pi/pi_tool)) จากตำแหน่งกรดอะมิโน  $M^{751} - I^{1602}$  จำนวนกรดอะมิโน 852 ตัว คำนวนค่า Theoretical pi / Mw ได้เท่ากับ 4.24 / 88612.23 Da. อย่างไรก็ตาม ปริมาณของโปรตีน truncated CyaA-RTX ที่แสดงออก ยังคงมีปริมาณน้อยกว่า WT CyaA-RTX ซึ่งอาจเกิดจากคุณภาพของ rDNA ที่ได้ยังไม่ดีเท่าที่ควร แต่โปรตีนที่แสดงออกอยู่ในรูปของ Soluble form ที่ละลายนำได้ เช่นเดียวกับ WT CyaA-RTX ที่เป็นตัวแทนของ native folding และให้เห็นถึงความถูกต้องของการเรียงตัวโปรตีน หรือ folding เช่นเดียวกับโปรตีนด้านบน (6, 42, 44)

### 5.3 การทดสอบความสามารถในการจับ (Toxin binding) ของโปรตีน WT CyaA-RTX กับ Truncated CyaA-RTX ต่อเซลล์เม็ดเลือดแดงแกะและเม็ดเลือดขาวคน

จากการทดสอบความสามารถในการจับ (Toxin binding) ระหว่างโปรตีน WT CyaA-RTX กับ Truncated CyaA-RTX ต่อเซลล์เม็ดเลือดแดงแกะและเม็ดเลือดขาวคน ทำการวิเคราะห์ด้วยวิธี SDS-PAGE และ Western blot analysis พบว่า ประสิทธิภาพในการจับกับตัวรับอนผิวเซลล์ทั้งสองชนิดของ Truncated CyaA-RTX ลดลงอย่างเห็นได้ชัด เมื่อเปรียบเทียบกับ WT CyaA-RTX ดังแสดงให้เห็นดังภาพที่ 4-14 ที่ไม่พบแบน 90-kDa ในชั้นของ hWBCs และ sRBCs pellet fraction เมื่อรันบน SDS-PAGE และ Western blot analysis

ผลการศึกษานี้ชี้ให้เห็นว่า C-terminal region ของ CyaA toxin ในช่วงเปปไทด์ 1602-1706 มีความสำคัญต่อการจับกับกลุ่มเซลล์เป้าหมายทั้งเม็ดเลือดแดงแกะและเม็ดเลือดขาวคน ซึ่งความสำคัญของโปรตีนพิช CyaA ทางด้าน C-terminus นี้่าจะเกี่ยวข้องกับการที่ Calcium เมื่อจับกับตำแหน่งของ repeat region จะเห็นว่าในไก่การเรียงตัว (Folding) แบบ Beta-roll structures ทางด้าน C-terminus ทำงานเดียวกับงานวิจัยของ Bleuner M. et al., 2010 (8) และงานวิจัยของ Bauche C. et al., 2006 ที่ชี้ให้เห็นว่า ตำแหน่งของ RTX Block V สามารถตอบสนองต่อแคลเซียมในการเรียงตัวได้ ในขณะที่ถ้าขาดทั้ง Block V และ C-terminal signal จะไม่สามารถก่อให้เกิดความเป็นพิษต่อเซลล์ทั้ง cytotoxicity และ hemolysis ได้ (9)

จากการเปรียบเทียบ Sequence alignment ของโปรตีนพิชชนิดต่างๆ ในกลุ่มของ RTX family ของงานวิจัย Aitziber L. et al., 2003 (11) แสดงให้เห็นถึงความสำคัญของ CyaA ในช่วงตำแหน่งกรดอะมิโนที่ 1621-1627 บริเวณของโปรตีนส่วนที่อยู่ระหว่าง repeat domain และ C-terminus ที่น่าจะเกี่ยวข้องกับการจับกับตัวรับอนเซลล์เป้าหมาย ดังเช่นโปรตีนพิชชนิดอื่นๆ ที่พบความสำคัญของช่วง เปปไทด์ที่คล้ายคลึงกัน ตัวอย่างเช่น ลำดับกรดอะมิโนที่ 814-872 ของโปรตีนพิช Leukotoxin จากเชื้อ แบคทีเรีย *P. hemolytica* เกี่ยวข้องในการจับกับ  $\beta_2$ -integrin receptor ในเซลล์เป้าหมาย (10) และช่วง ลำดับกรดอะมิโนที่ 914-936 ของโปรตีนพิช HlyA จากเชื้อแบคทีเรีย *E. coli* ที่เกี่ยวข้องในการจับกับ Glycophorin receptor บนผิวเม็ดเลือดแดงของสัตว์เลี้ยงสูกด้วยนม (11) ซึ่งบ่งบอกให้เห็นถึง ความสำคัญของช่วงลำดับเปปไทด์ดังกล่าว

## บทที่ 6

### สรุปผลการทดลอง และข้อเสนอแนะ

#### 6.1 สรุปผลการทดลอง

จากการทดลองสรุปได้ว่า สามารถสร้างโคลนยืน pCyaA-RTXΔ1602-1706 ที่ผลิตโปรตีนพิษ CyaA เฉพาะส่วน Gly-Asp repetitive blocks (Truncated CyaA-RTX) ขนาด ~90 kDa โดยใช้เทคนิคทาง PCR ในการ amplify ยืน ขนาด ~2600 bp. เชื่อมต่อสายดีเอ็นเอเข้ากับ pET17b vector และวิเคราะห์ในสูตรแบคทีเรีย E. coli ได้ recombinant DNA (rDNA) และเมื่อนำ rDNA ที่ได้มาระดับการแสดงออกด้วย 0.1mM IPTG ที่อุณหภูมิ 37°C พบรูปแบบ Truncated CyaA-RTX ที่ขาดชิ้นส่วนในด้าน C-terminal region ตามแนวดกรดอะมิโนที่ 1602-1706 ขนาดประมาณ ~90 kDa ในรูปแบบที่ละลายน้ำ และผลของการทดสอบความสามารถในการจับ (Toxin binding) เปรียบเทียบกับโปรตีน CyaA-RTX ต้นแบบ พบรูปแบบ Truncated CyaA-RTX ลดประสิทธิภาพในการจับกับผิวเซลล์เป้าหมายทั้งเซลล์เม็ดเลือดแดงและเม็ดเลือดขาวคน ได้อย่างเห็นได้ชัดเจน

จากการทดลองทั้งหมด สรุปให้เห็นว่า ลำดับกรดอะมิโนที่ 1602 – 1706 ของ CyaA toxin ในส่วนของ Secretion signal ทางด้าน C-terminal region ที่สำคัญเกี่ยวข้องในการจับกับ receptor ที่อยู่บนผิวเซลล์เม็ดเลือดแดงและผิวเซลล์เม็ดเลือดขาวคนอย่างจำเพาะเจาะจง ซึ่งการออกแบบเปปไทด์ในช่วงลำดับเบสดังกล่าวอาจสามารถนำไปใช้ในการผลิต peptide vaccine เพื่อประโยชน์ต่อการป้องกันรักษาโรคไอกรนจาก B. pertussis ที่มี CyaA toxin เป็นปัจจัยหลักในการก่อโรคในอนาคต และสามารถนำความรู้ที่ได้มาไปศึกษาลำดับกรดอะมิโนที่คล้ายคลึงกับโปรตีนพิษชนิดอื่นๆในกลุ่มของ RTX toxin

#### 6.2 ข้อเสนอแนะ

1. ควรศึกษาถึงการจับเซลล์ของโปรตีน CyaA-RTX ที่ผ่านการทำให้บริสุทธิ์แล้ว เพื่อง่ายต่อการควบคุมในเชิงปริมาณของโปรตีนที่ใช้ และลดปัญหาจากการปนเปื้อนของโปรตีนชนิดอื่น
2. ควรทดสอบ peptide blocking โดยการออกแบบ peptide สายสั้นๆทางด้าน C-terminal region มาทดสอบความสามารถในการยับยั้งหรือทำลายประสิทธิภาพในการจับระหว่างโปรตีนพิษ CyaA-RTX wild type กับตัวรับบนผิวเซลล์เป้าหมาย (Protection against binding by peptide)
3. หากทราบตำแหน่งของ peptide ของโปรตีนพิษ CyaA ที่สามารถยับยั้งความสามารถเป็นพิษต่อเซลล์ ก็สามารถพัฒนาเปปไทด์ที่ทดสอบในรูปแบบของ peptide synthetic vaccine เพื่อใช้ในการบำบัดรักษาโรคต่อไปในอนาคต

## บทที่ 7

### ผลลัพธ์

#### ผลงานที่เผยแพร่/ตีพิมพ์ในวารสารทางวิชาการทั้งในระดับชาติและนานาชาติ

1. Thamwiriyasati N., Angsuthanasombat C. Receptor-Binding Region in the RTX subdomain of Adenylate cyclase-Hemolysin Toxin against Sheep erythrocytes and human white blood cell. *Protein Expression and Purification*, 2013. (Manuscript in preparation)
2. Yentongchai M., Angsuthanasombat C., Thamwiriyasati N, Generation of the *Bordetella pertussis* CyaA toxin fragment containing the hydrophobic region with an acylation site for structure-folding studies. Proceeding in Burapha University International Conference, Burapha University, Thailand: July 4<sup>th</sup> -5<sup>th</sup>, 2013. HSP342-9: page 706-712.
3. นิรบุล ธรรมวิริยสติ. โรคไอกรน: หนทางวิจัยสู่แนวทางการผลิตวัคซีน. จุลสารการวิจัยคณะสหเวชศาสตร์: โครงการเปิดบ้านสหเวชศาสตร์ วันที่ 16 สิงหาคม 2556.
4. นิรบุล ธรรมวิริยสติ. การวิเคราะห์หาตำแหน่งนริเวณจำเพาะของ RTX ที่ใช้จับกับตัวตอบรับบนผิวเซลล์เป้าหมายของโปรตีนพิช Adenylate cyclase-Hemolysin เพื่อใช้บัดกรagnaโรคไอกรนที่เกิดจากเชื้อ *Bordetella pertussis*. ประชุมโครงการส่งเสริมการวิจัยในอุดมศึกษารังสี 1 (HERP CONGRESS I) วันที่ 21-23 มกราคม 2556.

## บรรณานุกรม

1. Crowcroft NS, Pebody RG. (2006). Recent developments in pertussis. *Lancet*, 367, 1926-1936.
2. Olin P, Gustafsson L, Barreto L, et al. (2003). Declining pertussis incidence in Sweden following the introduction of acellular pertussis vaccine. *Vaccine*, 21, 2015-2021.
3. Packard ER, Parton R, Coote JG, et al. (2004). Sequence variation and conservation in virulence-related genes of *Bordetella pertussis* isolates from the UK. *Journal of medical microbiology*, 53, 355-365.
4. Wood N, McIntyre P. (2008). Pertussis: review of epidemiology, diagnosis, management and prevention. *Paediatric respiratory reviews*, 9, 201-211.
5. Mooi FR. (1988). Virulence factors of *Bordetella pertussis*. *Antonie van Leeuwenhoek*, 54, 465-474.
6. El-Azami-El-Idrissi M, Bauche C, Loucka J, et al. (2003). Interaction of *Bordetella pertussis* adenylate cyclase with CD11b/CD18: Role of toxin acylation and identification of the main integrin interaction domain. *The Journal of biological chemistry*, 278, 38514-38521.
7. Pojanapotha P, Thamwiriyasati N, Powthongchin B, et al. (2011). *Bordetella pertussis* CyaA-RTX subdomain requires calcium ions for structural stability against proteolytic degradation. *Protein expression and purification*, 75, 127-132.
8. Blenner MA, Shur O, Szilvay GR, et al. (2010). Calcium-induced folding of a beta roll motif requires C-terminal entropic stabilization. *Journal of molecular biology*, 400, 244-256.
9. Bauche C, Chenal A, Knapp O, et al. (2006). Structural and functional characterization of an essential RTX subdomain of *Bordetella pertussis* adenylate cyclase toxin. *The Journal of biological chemistry*, 281, 16914-16926.
10. Lainson FA, Murray J, Davies RC, et al. (1996). Characterization of epitopes involved in the neutralization of *Pasteurella haemolytica* serotype A1 leukotoxin. *Microbiology*, 142, 2499-2507.

11. Aitziber LC, Félix MG, Helena Ostolaza. (2003). A Receptor-binding Region in *Escherichia coli*  $\alpha$ -Hemolysin. *The Journal of Biological Chemistry*, 278(21), 19159-19163.
12. Deen JL, Mink CA, Cherry JD, et al. (1995). Household contact study of *Bordetella pertussis* infections. *Clinical infectious diseases : an official publication of the Infectious Diseases Society of America*, 21, 1211-1219.
13. ก้าวชัย กีรติสิน. (2552). ตำราวิทยาแบคทีเรียการแพทย์. คณะแพทยศาสตร์ศิริราชพยาบาล มหาวิทยาลัยมหิดล: กรุงเทพมหานคร.
14. อิสยา จันทร์วิทยานุชิต และ วัชรินทร์ วงศ์ภาณุรัตน์. (2551). แบคทีเรียทางการแพทย์. สำนักพิมพ์แห่งจุฬาลงกรณ์มหาวิทยาลัย: กรุงเทพมหานคร.
15. Smith AM, Guzman CA, Walker MJ. (2001). The virulence factors of *Bordetella pertussis*: a matter of control. *FEMS Microbiol Rev*, 25, 309-333.
16. Rappioli R. (1994). Pathogenicity mechanisms of *Bordetella*. *Curr Top Microbiol Immunol*, 192, 319-336.
17. Arico B, Nuti S, Scarlato V, et al. (1993). Adhesion of *Bordetella pertussis* to eukaryotic cells requires a time-dependent export and maturation of filamentous hemagglutinin. *Proceedings of the National Academy of Sciences of the United States of America*, 90, 9204-9208.
18. Locht C, Bertin P, Menozzi FD, et al. (1993). The filamentous haemagglutinin, a multifaceted adhesion produced by virulent *Bordetella* spp. *Molecular microbiology*, 9, 653-660.
19. Ladant D, Ullmann A. (1999). *Bordetella pertussis* adenylate cyclase: a toxin with multiple talents. *Trends in microbiology*, 7, 172-176.
20. Confer DL, Eaton JW. (1982). Phagocyte impotence caused by an invasive bacterial adenylate cyclase. *Science*, 217, 948-950.
21. Goldman WE, Herwaldt LA. (1985). *Bordetella pertussis* tracheal cytotoxin. *Dev Biol Stand*, 61, 103-111.
22. Herwaldt L. (1991). Pertussis in adults: what physicians need to know. *Arch intern Med* 151, 1510-1512.

23. Hewlett E. (2000). *Principles and Practice of Infectious Diseases*. ed. t, editor. Philadelphia, Pennsylvania: Churchill Livingstone.
24. Halperin S, Bortolussi R, Wort A. ( 1989). Evaluation of culture, immunofluorescence and serology for the diagnosis of pertussis. *J Clin Microbiol*, 27, 752-757.
25. McNicol P, Giercke S, Gray M, et al. (1995). Evaluation and validation of a monoclonal immunofluorescent reagent for direct detection of *Bordetella pertussis*. *J Clin Microbiol*, 33, 2868-2871.
26. Koneman E, Allen S, Janda W, et al. (2005). *Color atlas and textbook of diagnostic microbiology*. ed. t, editor. Philadelphia, Pennsylvania: Lippincott: Williams & Williams.
27. Cherry JD, Gornbein J, Heininger U, et al. (1998). A search for serologic correlates of immunity to *Bordetella pertussis* cough illnesses. *Vaccine*, 16, 1901-1906.
28. Fine PE, Clarkson JA. (1987). Reflections on the efficacy of pertussis vaccines. *Reviews of infectious diseases*, 9, 866-883.
29. Gueirard P, Druilhe A, Pretolani M, et al. (1998). Role of adenylate cyclase-hemolysin in alveolar macrophage apoptosis during *Bordetella pertussis* infection in vivo. *Infect Immun*, 66, 1718-1725.
30. Rose T, Sebo P, Bellalou J, et al. (1995). Interaction of calcium with *Bordetella pertussis* adenylate cyclase toxin. Characterization of multiple calcium-binding sites and calcium-induced conformational changes. *The Journal of biological chemistry*, 270, 26370-26376.
31. Barry EM, Weiss AA, Ehrmann IE, et al. (1991). *Bordetella pertussis* adenylate cyclase toxin and hemolytic activities require a second gene, cyaC, for activation. *Journal of bacteriology*, 173, 720-726.
32. Thamwiriyasati N, Powthongchin B, Kittiworakarn J, et al. (2010). Esterase activity of *Bordetella pertussis* CyaC-acyltransferase against synthetic substrates: implications for catalytic mechanism in vivo. *FEMS microbiology letters*, 304, 183-190.
33. Guermonprez P, Khelef N, Blouin E, et al. (2001). The adenylate cyclase toxin of *Bordetella pertussis* binds to target cells via the alpha(M)beta(2) integrin (CD11b/CD18). *The Journal of experimental medicine*, 193, 1035-1044.

34. Basar T, Havlicek V, Bezouskova S, et al. (2001). Acylation of lysine 983 is sufficient for toxin activity of *Bordetella pertussis* adenylate cyclase. Substitutions of alanine 140 modulate acylation site selectivity of the toxin acyltransferase CyaC. *The Journal of biological chemistry*, 276, 348-354.
35. Lally ET, Hill RB, Kieba IR, Korostoff J. (1999). The interaction between RTX toxins and target cells. *Trends Microbiol*, 7, 356-361.
36. Stanley P, Koronakis V, Hughes C. (1998). Acylation of *Escherichia coli* hemolysin: a unique protein lipidation mechanism underlying toxin function. *Microbiology and molecular biology reviews*, 62, 309-333.
37. moomsci.com (2010). เทคนิค Polymerase Chain Reaction (PCR) [online]. แหล่งที่มา <http://www.moomsci.com/msdata/index.php/2011-06-01-11-03-11/2011-06-01-11-15-6/9/polymerase-chain-reaction-pcr> [สืบค้นเมื่อวันที่ 5 เมษายน 2555]
38. Sambrook J, Fritsch EF, Maniatis T. (1989). *Molecular Cloning: A Laboratory Manual*. Cold Spring Harbor Laboratory Press, Cold Spring Harbor, NY.
39. สมาคมพันธุศาสตร์แห่งประเทศไทยและสถาบันส่งเสริมการสอนวิทยาศาสตร์และเทคโนโลยี. สาระน่ารู้อุปกรณ์พันธุศาสตร์. เท็กซ์ แอนด์ เจอร์นัล พับลิเคชั่น: กรุงเทพมหานคร; 2548.
40. การแสดงออกของโปรตีน (Protein expression) ในแบบที่เรีย [Online]. [http://www.gibthai.com/services/technical\\_detail.php?ID=16](http://www.gibthai.com/services/technical_detail.php?ID=16) 2013 [สืบค้นเมื่อวันที่ 10 มกราคม 2556].
41. สายพิพิธ ชาป่าวี. (2555) เทคนิคオリเจกโทรไฟรีซสกับงานวิจัยด้านวัสดุศึกษา. วารสารเพื่อการวิจัยและพัฒนาองค์การเกษตรกรรม. 19 (2), 19-20.
42. Mierendorf RC, Morris BB, Hammer B, Novy RE. (1998). Expression and Purification of Recombinant Proteins Using the pET System. *Methods Mol Med*. 13, 257-292.
43. Grodberg, J. and Dunn, J. J. (1988) *ompT* encodes the *Escherichia coli* outer membrane protease that cleaves T7 RNA polymerase during purification. *J Bacteriol*, 170(3): 1245-1253
44. Powthongchin, B. & Angsuthanasombat, C. (2008). High level of soluble expression in *Escherichia coli* and characterisation of the CyaA poreforming fragment from a *Bordetella pertussis* Thai clinical isolate. *Arch Microbiol*, 189, 169-174

**ภาคผนวก ก**  
**การเตรียมสาร**

**1. การเตรียม LB broth**

Bacto-peptone	10 g
Bacto-yeast extract	5 g
NaCl	10 g
DW	(เติมให้ครบ 1000 ml)

นำไปปั่นอบฆ่าเชื้อที่ 121°C เวลา 45 นาที ตั้งทิ้งให้เย็น และเก็บที่ 4°C

**2. การเตรียม LA plate**

Bacto-peptone	10	g
Bacto-yeast extract	5	g
NaCl	10	g
European Bacteriological Agar	15	g
DW	(เติมให้ครบ 1000 ml)	

นำไปปั่นอบฆ่าเชื้อที่ 121°C เวลา 45 นาที ตั้งทิ้งให้อุ่น และเทใส่ sterile plate ประมาณ plate ละ 3 ml ตั้งทิ้งไว้ปล่อยให้แข็ง และเก็บที่ 4°C

**3. การเตรียม Ampicillin 100 mg/ml**

Ampicillin	0.1	g
DW	1.0	ml เก็บที่ -20°C

หมายเหตุ Ampicillin จะถูกเก็บใน 4°C เวลาที่ใช้ต้องทำอุณหภูมิใกล้เคียงกับอุณหภูมิห้อง ก่อน เพราะถ้าเปิดใช้แล้วอาจทำให้ Ampicillin เหนียวและเสียสภาพได้

**4. การเตรียม 10X TBE buffer**

Tris-base	108	g
Boric acid	55	g
EDTA	8.3	g
DW	(เติมให้ครบ 1000 ml)	

นำไปปั่นอบฆ่าเชื้อที่ 121°C เวลา 15 นาที ตั้งทิ้งให้เย็น และเก็บที่อุณหภูมิห้อง  
หมายเหตุ เวลาใช้ต้องทำการเจือจางความเข้มข้นให้เป็น 1X

## 5. การเตรียม 0.8% (w/v) agarose gel

Agarose	0.8	g
1XTBE buffer	100	ml

แล้วทำให้ผงเจลละลายเป็นสารละลาย ปราศจากฟอง ด้วยตู้อบในโคลเวฟ จากนั้นนำสารละลายที่ได้เทลงในถาดเจล (Cast gel)

## 6. การเตรียม 6X loading dye

6X loading dye	1.0	ml
SYBR Green	5.0	μl

เก็บที่ -20°C

## 7. การเตรียม $\lambda$ HindIII marker

$\lambda$ HindIII marker	5	μl
Dye	95	μl

นำไปปั่นที่อุณหภูมิ 65°C เวลา 5 นาที และแขวน้ำแข็ง 3 นาที นำไปเก็บที่ -20°C

## 8. การเตรียม 1.5 M Tris-HCl pH 8.8

Tris (hydroxymethyl) aminomethane	36.3	g
DW	100	ml

ปรับ pH ด้วย HCl ให้ได้ค่า pH เท่ากับ 8.8 จากนั้นจึงปรับปริมาตรเป็น 200 ml ด้วย DW และเก็บที่อุณหภูมิห้อง

## 9. การเตรียม 0.5 M Tris-HCl pH 6.8

Tris (hydroxymethyl) aminomethane	3.0	g
DW	40	ml

ปรับ pH ด้วย HCl ให้ได้ค่า pH เท่ากับ 6.8 จากนั้นจึงปรับปริมาตรเป็น 50 ml ด้วย DW และเก็บที่อุณหภูมิห้อง

## 10. การเตรียม 10% SDS

Sodiumdodecyl	10	g
DW	(เติมให้ครบ 100 ml)	

## 11. การเตรียม 10% APS

APS	1.0	g
DW	10	ml

เก็บที่ -20°C

## 12. การเตรียมสารละลายนในการทำ SDS-PAGE

### 12.1 Separating gel 10%

DW	4.1	ml
1.5 M Tris-HCl pH 8.8	2.5	ml
30% Acrylamide	3.3	ml
10% SDS	100	μl
10% APS	50	μl
TEMED	10	μl

### 12.2 Stacking gel 4%

DW	1.8	ml
30% Acrylamide	0.4	ml
0.5 M Tris-HCl pH 6.8	0.75	ml
10% SDS	30	μl
10% APS	50	μl
TEMED	10	μl

## 13. การเตรียม Running buffer pH 8.3

Tris (hydroxymethyl) aminomethane	3.02	g
Glycine	14.4	g
SDS	1.0	g
DW	900	ml

ปรับ pH ด้วย NaOH ให้ได้ค่า pH เท่ากับ 8.3 จากนั้นจึงปรับปริมาตรเป็น 1000 ml ด้วย DW

## 14. การเตรียม Staining solution

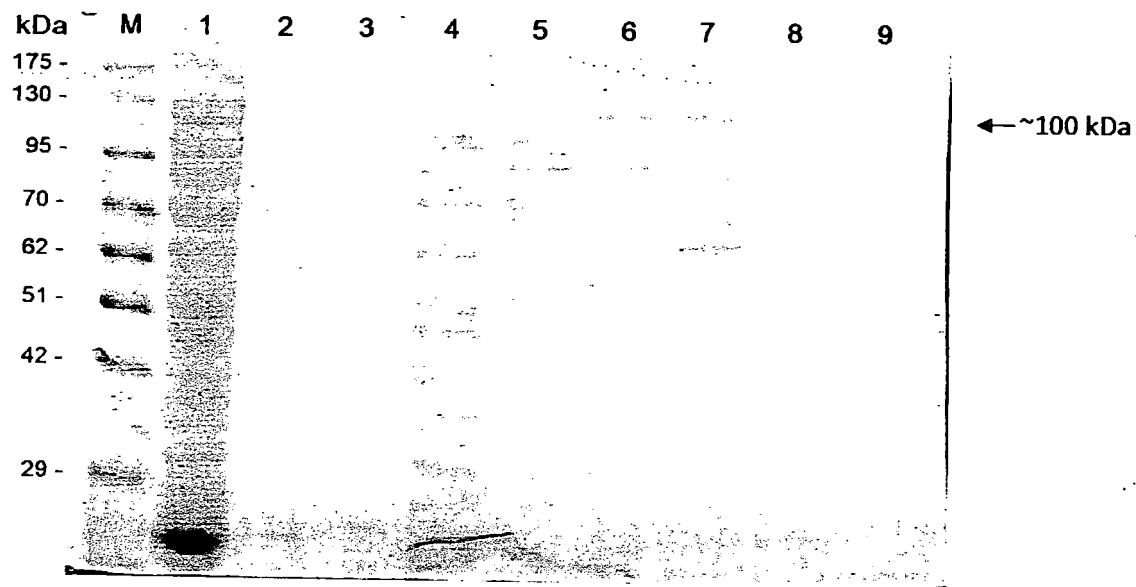
Coomassie Brilliant Blue R250	0.25	g
50% Methanol	400	ml
10% Acetic acid	70	ml
DW	(เติมให้ครบ 1000 ml)	เก็บที่อุณหภูมิห้อง

## 15. การเตรียม Destaining solution

50% Methanol	400	ml
10% Acetic acid	100	ml
DW	(เติมให้ครบ 1000 ml)	เก็บที่อุณหภูมิห้อง

**ภาคผนวก ข**  
**ผลการทำให้โปรตีน RTX บริสุทธิ์**

นำ crude cell lysate ที่สกัดออกจากเซลล์แบคทีเรีย มาผ่านกระบวนการ Purification โดยเริ่มจาก Equilibrate column ด้วย Filter sterile MiliQ water 5 column volume จากนั้น Equilibrate column ด้วย Buffer A 5 column volume โหลดโปรตีนตัวอย่าง 1 ml เก็บ fraction เป็น Flow through ล้างส่วน unbound protein ด้วย Buffer A 3 column volume เก็บ fraction เป็น washing Elution โปรตีนแบบ stepwise gradient Buffer (30, 40, 50, 60 และ 100% NaCl) เก็บ fraction เป็น E1, E2 และ E3 ตามลำดับจากนั้น ล้าง column ด้วย Buffer B Re-Equilibrate column ด้วย Filter sterile MiliQ water 5 column volume เก็บ column ด้วย 20% Ethanol ที่ -20°C จากนั้นนำไปตรวจสอบผลด้วย SDS-PAGE ซึ่งผลที่ได้คือ พบร่องรอยในช่วง fraction ที่ 40-50%NaCl ตามลำดับ



ภาพ แสดงผลการทำโปรตีน RTX ให้บริสุทธิ์ เมื่อรันบน 10% SDS-gel ที่ย้อมด้วยสี Coomassie Blue

Lane M	:	prestained marker
Lane 1	:	crude
Lane 2	:	Flow through
Lane 3	:	wash1
Lane 4	:	Elute30% B <sub>2</sub>
Lane 5	:	Elute40% B <sub>1</sub>
Lane 6	:	Elute40% B <sub>2</sub>
Lane 7	:	Elute50% B <sub>1</sub>
Lane 8	:	Elute60% B <sub>1</sub>
Lane 9	:	Elute100% B <sub>1</sub>

**ผลงานที่เผยแพร่/ตีพิมพ์ในวารสารทางวิชาการ  
ทั้งในระดับชาติและนานาชาติ**

# Generation of the *Bordetella pertussis* CyaA toxin fragment containing the hydrophobic region with an acylation site for structure-folding studies

Mattayaus Yentongchait<sup>a</sup>, Chanan Angsuthanasombat<sup>b</sup>, and Niramon Phamwiriyasati

## Introduction

Adenylate cyclase - haemolysin toxin (CyaA) is a large protoxin (~177 kDa) which is a bifunctional toxin composed of two functional domains, a 400-residue N-terminal adenylate cyclase (AC) domain and a 1,306-residue C-terminal haemolysin or pore-forming (PF) domain [1]. The PF domain comprises four important parts; a hydrophobic region (residues 500–700), an acylation region (residues 800–1,000), a glycine–aspartic acid repeat region (residues 1,000–1,600) containing the nonapeptide repeats (Gly-Gly-X-Gly-X-Asp-Asp-X-Leu), and a C-terminal secretion signal. Toxin activation of CyaA via palmitoylation at Lys<sup>983</sup> and calcium binding to the nonapeptide repeats are required for delivery of the AC domain into the target cell interior as well as for formation of lytic pores [2].

Previously, the CyaA pore-forming (CyaA-PF) domain expressed in *Escherichia coli* was shown to retain its hemolytic activity [3]. The preliminary results from hydropathy plot based on hydrophobicity analysis of an amino acid, together with mutagenesis studies, suggested that the transmembrane domain of CyaA is the hydrophobic region between residues 500 to 700 and contains a five putative  $\alpha$ -helical bundle, but its structure of pore formation still remain to be investigated. To pave the way for studying mechanisms of membrane insertion and lytic pore-formation of the *B. pertussis* CyaA toxin.

## Experimental Design

### Plasmid DNA extraction by alkaline lysis method

### Construction of recombinant plasmids by partial digestion (*TaiI*) & complete digestion (*Adel*)

### Synthesized the blunt of recombinant plasmids by Klewnow fragment of DNA polymerase I

### Total expression

## Results & Discussion

Figure 1. Schematic diagrams of the recombinant plasmids (pCyaAC-PF6His Δ1091-1652) encoding the CyaA protein fragment.

### Construction of recombinant plasmids containing the *cyaA-PF* fragment gene

The gene segment encoding the hydrophobic region with an acylation site (deleting aa 1091 to 1652) and 6His-tagged C-terminal end of CyaA was subcloned by restriction enzyme analysis. The pCyaAC-PF6His template was digested with one cut at the 1,824-bp *cyaA* site by *TaiI* restriction enzyme (7.5-kb band) and 3,514-bp *cyaA* by *Adel* restriction enzyme (5.9-kb band) (see Figure 2). To create blunt ends of double-stranded DNA, filling in recessed 3' ends of DNA fragments and digesting away protruding 3' overhangs were made by Klewnow fragment of DNA

polymerase I. The digested plasmid was facilitated the self-ligation later on. The resulting 5,880-bp recombinant plasmid was named as pCyaA-PF6HisΔ1091-1652 (see Figure 1). The correct construct was verified by restriction analysis and DNA sequencing.

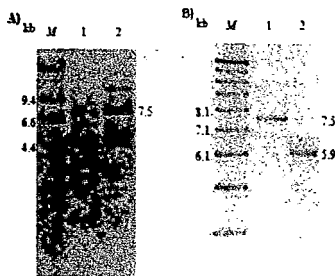


Figure 2. Restriction enzyme digestion for subcloning of pCyaAC-PF6His template.

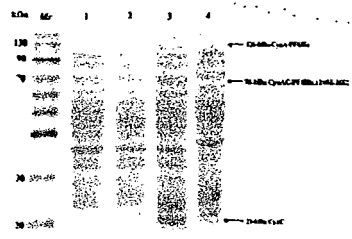


Figure 3. Expressed protein profiles of pCyaAC-PF6His and pCyaAC-PF6His Δ1091-1652.

### Expression of the CyaA truncated toxin

The recombinant plasmid was transformed into *E. coli* BL21(DE3)pLysS for expression the gene product. The ~70-kDa CyaA fragment with C-terminal 6His tag (calculated molecular mass = 68392.20 Da) was highly produced almost exclusively as a soluble protein compared with the wild type (Fig 3). The 21-kDa CyaC-acyltransferase was also expressed in this condition.

## Conclusion

In conclusion, this present report provides evidence that the gene segment encoding the hydrophobic region with an acylation site of CyaA toxin was successfully subcloned. The 70-kDa truncated CyaA toxin with 6His-tagged C-terminal end was well highly-expressed as a soluble protein in *E. coli* in order to further study its functionality.

## ACKNOWLEDGEMENTS

This work was generously supported by the Thailand Research Fund in cooperation with the Office of the Higher Education Commission (to N.T., MRG5480261).

## REFERENCES

1. Leiberman, D., and Ulmer, A. 1991. Bordetella pertussis adenylate cyclase: a toxin with multiple talents. *Trends Microbiol* 7: 172-176.
2. Knapp, O., Moller, E., Pfefferleiter, C., Mada, J., Sche, P., and Blaese, R. 2002. Channel formation in model membranes by the adenylate cyclase toxin of *Bordetella pertussis*: Effect of calcium. *Biochemistry* 42: 4877-4884.
3. Puekpongchai, R., and Angsuthanasombat, C. 2000. High level of soluble expression in *Escherichia coli* and characterization of the CyaA pore-forming fragment from a *Bordetella pertussis* Thai clinical isolate. *Arch Microbiol* 179(2): 169-174.

HSP342-9

## **Generation of the *Bordetella pertussis* CyaA toxin fragment containing the hydrophobic region with an acylation site for structure-folding studies**

**Mattayaus Yentongchai<sup>a</sup>, Chanan Angsuthanasombat<sup>b</sup>, and Niramon Thamwiriyasati<sup>a,\*</sup>**

<sup>a</sup> Department of Medical Technology, Faculty of Allied Health Sciences, Burapha University, Chonburi 20131, Thailand

<sup>b</sup> Laboratory of Molecular Biophysics and Structural Biochemistry, Bacterial Protein Toxin Research cluster, Institute of Molecular Biosciences, Mahidol University, Salaya Campus, Nakornpathom 73170, Thailand

\* Tel: +66-82-685457; E-mail: [niramont@buu.ac.th](mailto:niramont@buu.ac.th)

### **ABSTRACT**

Adenylate cyclase-haemolysin toxin (CyaA) is one of the major virulence factors secreted from *Bordetella pertussis*, the etiologic agent of whooping cough. CyaA is a bifunctional toxin composed of two major domains, the adenylate cyclase domain and the pore-forming domain. Previously, the CyaA pore-forming (CyaA-PF) domain expressed in *Escherichia coli* was shown to retain its hemolytic activity. The preliminary results from hydropathy plot based on hydrophobicity analysis of an amino acid, together with mutagenesis studies, suggested that the transmembrane domain of CyaA is the hydrophobic region between residues 500 to 700 and contains a five putative  $\alpha$ -helical bundle. It is planned to generate the CyaA protein fragment which is responsible for membrane insertion and pore formation in defining relationships between sequence, structure and function. In this study, the recombinant plasmids encoding the CyaA hydrophobic region with an acylation site (CyaA-PFΔ1091-1652) have been subcloned by restriction enzyme digestion and over-expressed in *Escherichia coli* as a ~70-kDa soluble protein. The particular gene of interest will be further investigated its functionality.

**Keywords:** Adenylate cyclase - haemolysin toxin, *Bordetella pertussis*, Hydrophobic region, Partial digestion, Pore-formation

## INTRODUCTION

Adenylate cyclase - haemolysin toxin (CyaA) is one of the major virulence factors of *Bordetella pertussis*, a gram-negative pathogen causing whooping cough in humans (Carbonetti et al., 2005). CyaA belongs to the same RTX (Repeat-in-ToXin) family as the *Escherichia coli* haemolysin, HlyA. CyaA is synthesised as an inactive precursor, which is post-translationally modified by fatty-acylation at the conserved Lys<sup>983</sup> into active CyaA in the process catalysed by CyaC-acyltransferase (Barry et al., 1991; Hackett et al., 1994). CyaA is a large protoxin (~177 kDa) which is a bifunctional toxin composed of two functional domains, a 400-residue N-terminal adenylate cyclase (AC) domain and a 1,306-residue C-terminal haemolysin or pore-forming (PF) domain (Ladant and Ullmann, 1999). The PF domain comprises four important parts; a hydrophobic region (residues 500-700), an acylation region (residues 800-1,000), a glycine-aspartic acid repeat region (residues 1,000-1,600) containing the nonapeptide repeats (Gly-Gly-X-Gly-X-Asp-Asp-X-Leu), and a C-terminal secretion signal (Ladant and Ullmann, 1999; Welch, 2001). Toxin activation of CyaA via palmitoylation at Lys<sup>983</sup> and calcium binding to the nonapeptide repeats are required for delivery of the AC domain into the target cell interior as well as for formation of lytic pores (Knapp et al., 2003; Rose et al., 1995).

CyaA can intoxicate host immune cells by translocating catalytic AC domain into the cytoplasm. Upon binding to the intracellular calmodulin, CyaA catalyses the production of supraphysiological level of cAMP and subsequently inhibits normal functions of phagocytes, leading to cell death by apoptosis (Gueirard et al., 1998). Unlike cytotoxic activity via AC translocation that involves the entire toxin, pore-forming (haemolytic) activities of CyaA mediated by the PF domain do not require the AC domain (Ehrmann et al., 1992; Sakamoto et al., 1992). It has been shown that myeloid phagocytic cells expressing  $\alpha_M\beta_2$ -integrin receptor (CD11b/CD18) such as neutrophils and macrophages were considered as primary target cells of the *Bordetella* CyaA toxin. Nevertheless, CyaA is also toxic against sheep erythrocytes, which lack the  $\alpha_M\beta_2$ -integrin receptor, suggesting a different mechanism of cell invasion (Osickova et al., 1999). Additionally, it has been demonstrated that the pore-forming activity of CyaA could be acylated at Lys<sup>983</sup> by CyaC-acyltransferase in promoting lysis of the target cells (Basar et al., 2001). However, detailed understanding of the molecular mechanism of action of the CyaA toxin is still not completely described, particularly the steps of toxin insertion and pore-formation in target cell membrane.

Previously, the CyaA pore-forming (CyaA-PF) domain expressed in *Escherichia coli* was shown to retain its hemolytic activity (Powthongchin and Angsuthanasombat, 2008). The preliminary results from hydropathy plot based on hydrophobicity analysis of an amino acid, together with mutagenesis studies, suggested that the transmembrane domain of CyaA is the hydrophobic region between residues 500 to 700 and contains a five putative  $\alpha$ -helical bundle, but its structure of pore formation still remain to be investigated. To pave the way for studying mechanisms of membrane insertion and lytic pore-formation of the *B. pertussis* CyaA toxin, we decided to construct the recombinant clone of hydrophobic region together with an acylation site within the PF domain (*cyaA*-P $\Delta$ 1091-1652) co-expressing with *cyaC* gene, the accessory protein required for toxin activation. The recombinant CyaA subdomain have been successfully generated by genetic approach and over-expressed as a soluble native fold. The 70-kDa CyaA-PF truncate toxin will be further investigated to define the functional motifs responsible for membrane insertion and pore-formation.

## MATERIALS AND METHODS

### ***Plasmid DNA extraction by alkaline lysis method***

A single colony of recombinant *E. coli* was incubated into LB broth containing 100 µg/ml ampicillin and incubated overnight at 37°C with shaking at 200 rpm. Cell collected by centrifugation, resuspend in ice-cold Solution I, lysis cell by adding Solution II and Solution III used to neutralize. After 10-min incubation on ice, the precipitated chromosomal DNA was separated by centrifugation. Plasmid DNA was conserved from supernatant by adding two volumes of isopropanol and centrifugation. Then the pellet was washed with 70% ethanol, air dried and resuspend in 20 µl of sterile water.

### ***Construction of recombinant plasmids***

The pCyaAC-PF6His plasmid encoding both the ~126-kDa CyaA-PF fragment with 6His tag and the ~21-kDa CyaC acyltransferase under control of the T7-promoter (Powthongchin and Angsuthanasombat, 2008) was used as a template. The recombinant plasmid encoding *cyaA* deleted gene (aa 1091-1652) co-express with *cyaC* was digested with *TaiI* (partial digestion) and *Adel* (complete digestion), and subsequently synthesized the blunt end by Klewnow fragment of DNA polymerase I to facilitate self-ligation later on. Selected clones with the required recombinant DNA were first identified by restriction endonuclease digestion of the plasmids and then verified by DNA sequencing, using 1<sup>st</sup> BASE DNA Sequencing service

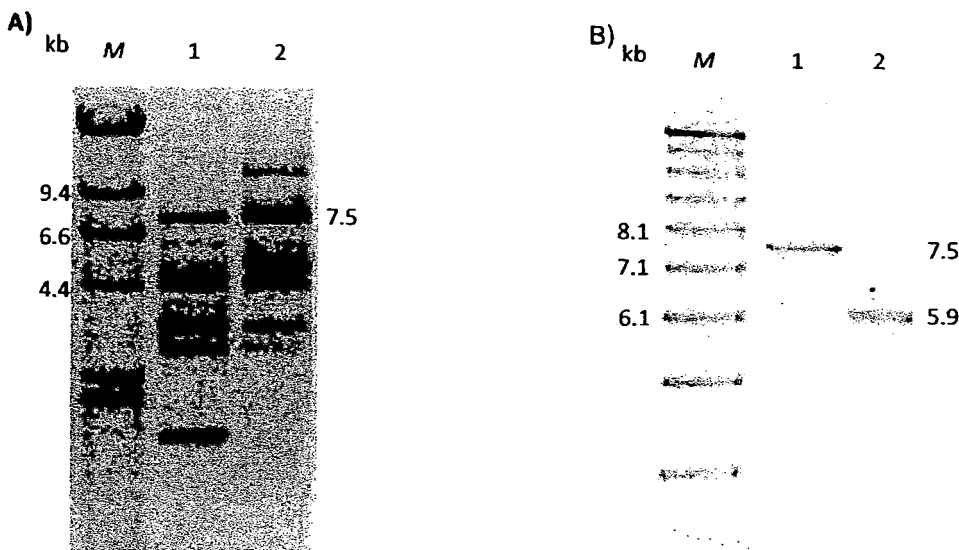
### ***Toxin expression***

The recombinant plasmids were re-transformed into *E. coli* strain BL21(DE3)pLysS for protein expression. An overnight culture of each selected clone was grown at 30 °C in Luria–Bertani medium containing 100 mg/ml ampicillin. When the cell culture at OD<sub>600</sub> reached ~0.6, toxin expression was induced with IPTG (isopropyl-β-D-thiogalactopyranoside) at a final concentration of 0.1 mM, and incubation was continued for another 6 h. *E. coli* cells were harvested and re-suspended in 50 mM Tris–HCl (pH 8.0) containing 5 mM CaCl<sub>2</sub> and 1 mM PMSF (phenylmethylsulfonylfluoride), and subsequently disrupted in a French Pressure Cell at 10,000 psi. After centrifugation at 12,000g for 20 min at 4°C, total proteins in soluble crude lysates were analysed by SDS-PAGE (sodium dodecyl sulphate-polyacrylamide gel electrophoresis)

## RESULTS AND DISCUSSION

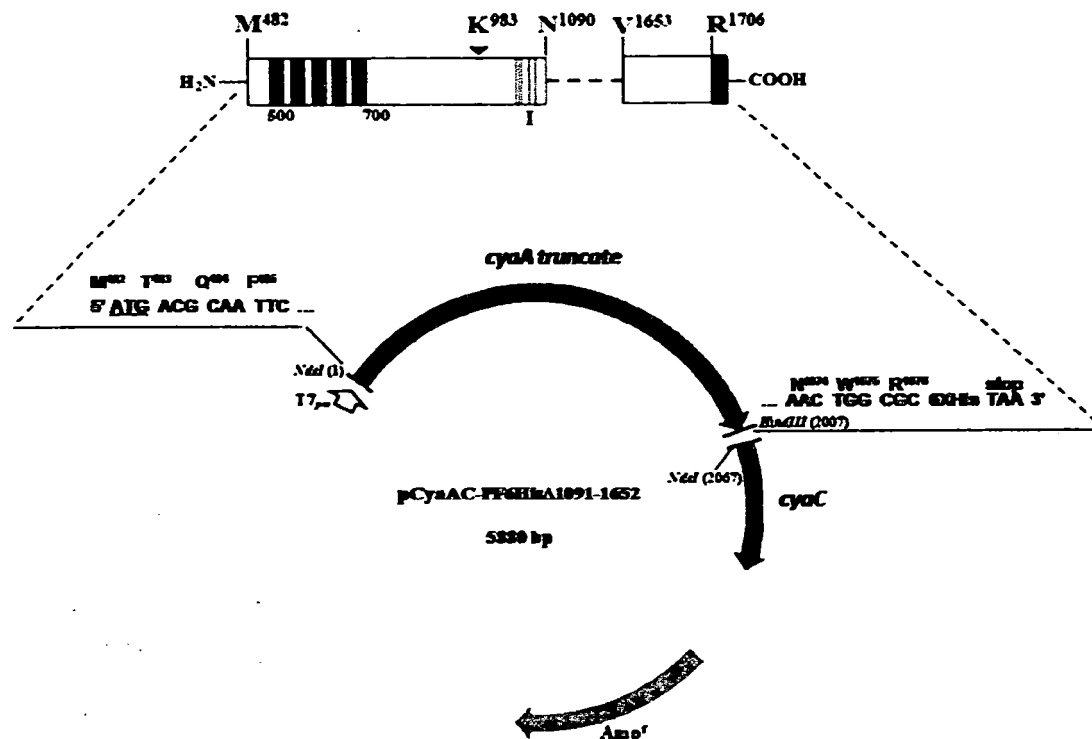
### ***Construction of recombinant plasmids containing the cyaA-PF fragment gene***

The gene segment encoding the hydrophobic region with an acylation site (deleting aa 1091 to 1652) and 6His-tagged C-terminal end of CyaA was subcloned by restriction enzyme analysis. The pCyaAC-PF6His template was digested with one cut at the 1,824-bp *cyaA* site by *TaiI* restriction enzyme (7.5-kb band) and 3,514-bp *cyaA* by *Adel* restriction enzyme (5.9-kb band) (see Figure 1). To create blunt ends of double-stranded DNA, filling in recessed 3' ends of DNA fragments and digesting away protruding 3' overhangs were made by Klewnow fragment of DNA polymerase I. The digested plasmid was facilitated the self-ligation later on. The resulting 5,880-bp recombinant plasmid was named as pCyaA-PF6HisΔ1091-1652 (see Figure 2). The correct construct was verified by restriction analysis and DNA sequencing.



**Figure 1** Restriction enzyme digestion for subcloning of pCyaAC-PF6His template

- A) Agarose gel electrophoresis (Ethidium bromide 0.8%) analysis of partial digestion by *TatI*. The partial digest of pCyaAC-PF6His with one cut were used by *TatI* 1U (lane 1) and 0.5U/120 ng DNA (Lanes 2). *M* represents λ/*Hind*III digested DNA markers
- B) Agarose gel electrophoresis (Ethidium bromide 0.8%) analysis of complete digestion by *AdeI*. The purified 7.5-kb products of *TatI* partial digests were used as a template (lane 1), and subsequently digested by *AdeI* (Lanes 2). *M* represents λ/*Bst*EII digested DNA markers

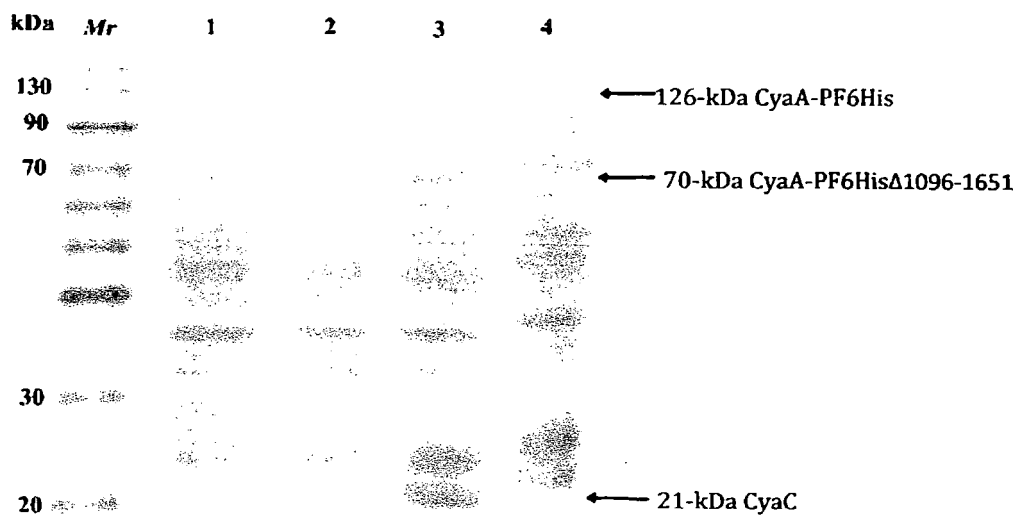


**Figure 2. Schematic diagrams of the recombinant plasmids (pCyaAC-PF6His $\Delta$ 1091-1652) encoding the CyaA protein fragment.**

Transcription of the corresponding genes is under control of the T7 promoter (*T7pro*) of the pET-17b expression vector (thin line). The arrows indicate the transcriptional direction of the corresponding promoter and genes. The nucleotide and deduced amino acid sequences at the 5'- and 3'-ends of the structural gene segment of *cyaA-PF6His*(2,067 bp) and *cyaC* (558 bp) are shown, respectively, with the underlined nucleotides representing the start codon. *Amp'* indicates the ampicillin resistance gene. For clarity, only the restriction endonuclease sites mentioned in the text are shown. The expressing CyaA-PF6His deletion fragment is shown at the top.

#### Expression of the CyaA truncated toxin

The recombinant plasmid was transformed into *E. coli* BL21(DE3)pLysS for expression the gene product. The ~70-kDa CyaA fragment with C-terminal 6His tag (calculated molecular mass = 68392.20 Da) was highly produced almost exclusively as a soluble protein compared with the wild type (Fig 3). The 21-kDa CyaC-acyltransferase was also expressed in this condition.



**Figure 3. Expressed protein profiles of pCyaAC-PF6His and pCyaAC-PF6His $\Delta$ 1091-1652**

SDS-PAGE (Coomassie blue-stained 10% gel) of *E. coli* lysates expressing the 126-kDa CyaA-PF protein from pCyaAC-PF6His and the 70-kDa CyaA-PF6His truncate fragment from pCyaAC-PF6His $\Delta$ 1091-1652.  $Mr$  represents standard protein markers. *E. coli* cells harbouring the pET-17b vector were used as a negative control (lane 1). Lanes 2, 3 and 4 are lysates extracted from *E. coli* cells harbouring uninduced, induced pCyaAC-PF6His $\Delta$ 1091-1652, and pCyaAC-PF6His, respectively.

In conclusion, this present report provides evidence that the gene segment encoding the hydrophobic region with an acylation site of CyaA toxin was successfully subcloned. The 70-kDa truncated CyaA toxin with 6His-tagged C-terminal end was well highly-expressed as a soluble protein in *E. coli* in order to further study its functionality.

#### ACKNOWLEDGEMENTS

This work was generously supported by the Thailand Research Fund in cooperation with the Office of the Higher Education Commission (to N.T., MRG5480261)

## REFERENCES

- Basar, T., Havlicek, V., Bezouskova, S., Hackett, M., and Sebo P. 2001. Acylation of Lys 983 is sufficient for toxin activity of *Bordetella pertussis* adenylate cyclase: substitutions of alanine 140 modulate acylation site selectivity of the toxin acyltransferase CyaC. *J Biol Chem* 276(1): 348-354.
- Barry, E.M., Weiss, A.A., Ehrmann, I.E., Gray, M.C., Hewlett, E.L., and Goodwin, M.S. 1991. *Bordetella pertussis* adenylate cyclase toxin and hemolytic activities require a second gene, *cyaC*, for activation. *J Bacteriol* 173: 720-726.
- Carbonett, N.H., Artamonava, G.V., Andreasen, C., and Bushar, N. 2005. Pertussis toxin and adenylate cyclase toxin provide a one-two punch for establishment of *Bordetella pertussis* infection of the respiratory tract. *Infect Immun* 73: 2698-2703.
- Ehrmann, I.E., Weiss, A.A., Goodwin, M.S., Gray, M.C., Barry, E., and Hewlett, E.L. 1992. Enzymatic activity of adenylate cyclase toxin from *Bordetella pertussis* is not required for hemolysis. *FEBS Lett* 304: 51-56.
- Gueirard, P., Druilhe, A., Pretolani, M., and Guiso, N. 1998. Role of adenylate cyclase-hemolysin in alveolar macrophage apoptosis during *Bordetella pertussis* infection *in vivo*. *Infect Immun* 66: 1718-1725.
- Hackett, M., Guo, L., Shabanowitz, J., Hunt, D.F., and Hewlett, E.L. 1994. Internal lysine palmitoylation in adenylate cyclase toxin from *Bordetella pertussis*. *Science* 266: 433-435.
- Knapp, O., Maier, E., Polleichtner, G., Masin, J., Sebo, P., and Benz, R. 2003. Channel formation in model membranes by the adenylate cyclase toxin of *Bordetella pertussis*: Effect of calcium. *Biochemistry* 42: 8077-8084.
- Ladant, D., and Ullmann, A. 1999. *Bordetella pertussis* adenylate cyclase: a toxin with multiple talents. *Trends Microbiol* 7: 172-176.
- Osickova, A., Osicka, R., Maier, E., Benz, R., and Sebo, P. 1999. An amphipathic  $\alpha$ -helix including glutamates 509 and 516 is crucial for membrane translocation of adenylate cyclase toxin and modulates formation and cation selectivity of its membrane channels. *J Biol Chem* 274:37644-37650.
- Powthongchin, B., and Angsuthanasombat, C. 2008. High level of soluble expression in *Escherichia coli* and characterisation of the CyaA pore-forming fragment from a *Bordetella pertussis* Thai clinical isolate. *Arch Microbiol* 189(2): 169-174.
- Rose, T., Sebo, P., Bellalou, J., and Ladant, D. 1995. Interaction of calcium with *Bordetella pertussis* adenylate cyclase toxin: characterization of multiple calcium-binding sites and calcium-induced conformational changes. *J Biol Chem* 270: 26370-26376.
- Sakamoto, H., Bellalou, J., Sebo, P., and Ladant, D. 1992. *Bordetella pertussis* adenylate cyclase toxin. Structural and functional independence of the catalytic and hemolytic activities. *J Biol Chem* 267: 13598-13602.

# Identification of a Specific Receptor-Binding Region in the RTX subdomain of Adenylate cyclase-Hemolysin Toxin for Therapeutic Application of Whooping Cough caused by *Bordetella pertussis*

Niramon Thamwiriyasati<sup>1</sup>, Sanita Singsanan<sup>1</sup>, Suticha Chunta<sup>1</sup>, Chanan Angsuthanasombat<sup>2</sup>

<sup>1</sup> Faculty of Allied Health Sciences, Burapha University, Chonburi 20131, Thailand

<sup>2</sup> Laboratory of Molecular Biophysics and Structural Biochemistry, Bacterial Protein Toxin Research Unit, Institute of Molecular Biosciences, Mahidol University, Salaya Campus, Nakornpathom 73170, Thailand

## Abstract

*Bordetella pertussis* adenylate cyclase-hemolysin toxin (CyaA) represents a unique RTX (Repeat-in-ToXin) pore-forming toxin that can permeabilize the target membrane by forming lytic pores. It has been shown that the repetitive blocks in the CyaA-RTX subdomain supports calcium-bound protein folds into a parallel  $\beta$ -roll structure and interacts with the specific target cells. Data in our results present that the coexpressed recombinant protein, a 100-kDa RTX (A<sup>751</sup> - R<sup>1706</sup>) together with a 21-kDa CyaC-acyltransferase, can bind highly enough to human white blood cells and sheep red blood cells rather than the RTX alone. Further attempts were made to investigate the rtx region for binding the target cells. A mutant RTX lacking the peptide (RTX  $\Delta$ 1600-1706) is prepared and tested for binding those target cells. Single alanine substitution (D1169A) in the predicted beta roll which is not identical to tandem repeated nonapeptides is compared its activity with the RTX-C wild-type. Identification of a specific receptor-binding region of RTX toxin is still in progress.

## Introduction

CyaA is a virulence factor secreted from *Bordetella pertussis*, a causative agent of whooping cough [1]. It is classified into the RTX (Repeat-in-ToXin) family due to its tandem repeated nonapeptides, Gly-Gly-X-Gly-X-Asp-XU-X, which are the putative calcium-binding sites [2].

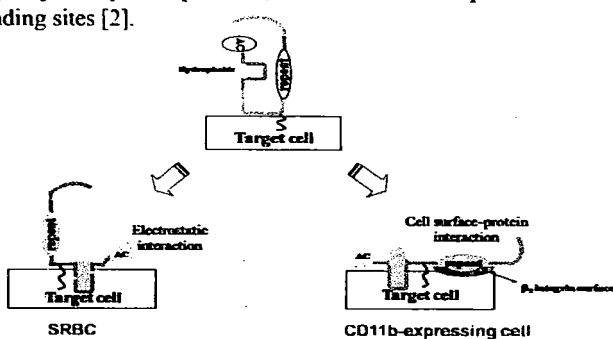
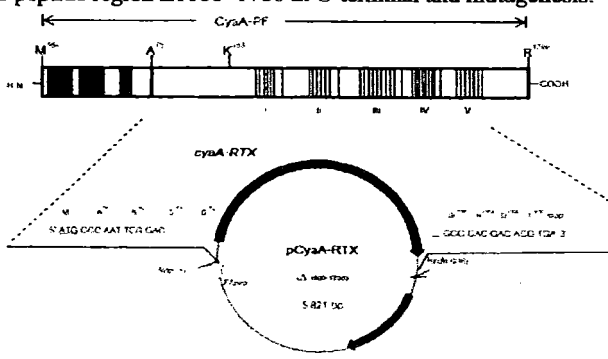


Fig 1. The interaction of RTX toxin between the target cells

## Objective & Methods

To identify a specific receptor binding region of RTX by eliminating the peptide region  $\Delta$ 1600-1706 at C-terminal and mutagenesis.



## Cloning & Expression

Both *cyaA*-RTX and *cyaC* were cloned into the same plasmid vector. The 6.1-kb bands of pCyaA-RTX and 700-bp *cyaC* gene digested with *Nde*I and *Bam*H I was verified as shown in Fig 3. This recombinant clone was able to express as a 100-kDa soluble RTX toxin and a 21-kDa CyaC enzyme as shown in Fig 4.

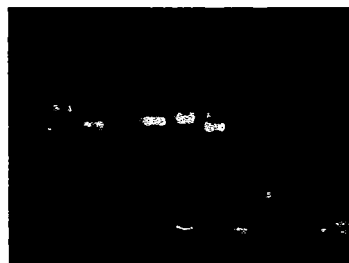


Fig 3. Restriction enzyme digestion using *Nde*I and *Bam*H I of pRTX, pCyaAC-PP and pRTX-C, respectively.

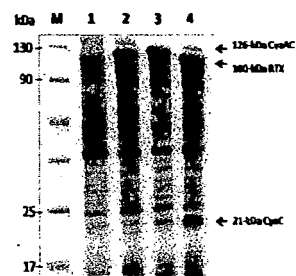


Fig 4. Expressed protein profiles of pRTX, pRTX-C and pCyaAC.

## Toxin binding to target cells

RTX coexpressed with CyaC, but not RTX alone, could bind either sheep erythrocytes or human white blood cells. The antibody was able to recognize the RTX toxin in the fraction of pellets representing the protein binding with the cells as shown in Fig 5.

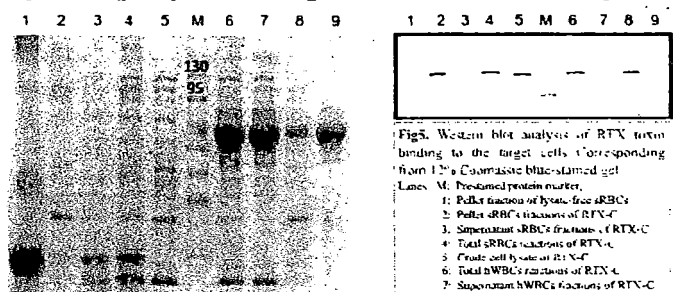


Fig 5. Western blot analysis of RTX toxin binding to the target cells. Corresponding from 1-9: Coomassie blue-stained gel lanes. M: Prestained protein marker; 1: Pellet fraction of lysate-free SRBCs; 2: Pellet SRBC fractions of RTX-C; 3: Supernatant SRBC fractions of RTX-C; 4: Total SRBC fractions of RTX-C; 5: Crude cell lysate of RTX-C; 6: Total hWBC fractions of RTX-C; 7: Supernatant hWBC fractions of RTX-C; 8: Pellet hWBC fractions of RTX-C; 9: Pellet fraction of lysate-free hWBCs.

## Conclusions and applications

The finding of major determinant in the specific binding of RTX to erythrocytes and white blood cells may suggest a therapeutic application of this peptide in Pertussis infections in which CyaA has a pathogenic role. Moreover, the results in this study can probably be extended to other toxins as well.

## Acknowledgement



มูลนิธิทุนวิจัยแห่งประเทศไทย  
The Thailand Research Fund



## References

- Barry EM, Weiss AA, Ehrmann JE, Gray MC, Hewlett EL, Goodwin MS (1991) *Bordetella pertussis* adenylate cyclase toxin and hemolytic activities require a second gene, *cyaC*, for activation. *J Bacteriol* 173:720-726
- Bauche C, Chenal A, Knapp O, Bodenreider C, Benz R, ChaVenc A, Ladant D (2006) Structural and functional characterization of an essential RTX subdomain of *Bordetella pertussis* adenylate cyclase toxin. *Biol Chem* 281:16914-16926

